

Радиоаматор

Издается с января 1993 г.

№ 12 (229)

декабрь 2012

Ежемесячный научно-популярный журнал
Зарегистрирован Госкоминформполитики,
телевидения и радиовещания Украины
сер. KB, №507, 17.03.94 г.
Киев, Издательство «Радиоаматор»

Редакционная коллегия:

Главный редактор
И.Б. Безверхний

В.Г. Бондаренко
С.Г. Бунин, UR5UN
М.П. Власюк
А.М. Зиновьев
А.А. Перевертайло, UT4UM
С.М. Рюмик
Э.А. Салахов
А.Ю. Саулов (аудио-видео)
Е.Т. Скорик
Е.Л. Яковлев

Адрес редакции:
Киев, ул. Краковская, 13А
Для писем:
а/я 50, 03110, Киев-110, Украина
тел. (044) 291-00-29
ra@sea.com.ua
http://www.ra-publish.com.ua

Издатель: Издательство «Радиоаматор»
В.В. Моторный, директор,
тел.: 291-00-31, ra@sea.com.ua,
А.М. Зиновьев, лит. ред., az@sea.com.ua
Ю.В. Сухоруков, верстка
С.В. Латыш, реклама,
тел. 291-00-30, lat@sea.com.ua
С.А. Ковалевская, подписка и реализация,
тел.: 291-00-29, svetlana@sea.com.ua

Подписано в печать: 06.12.2012 г.
Дата выхода номера: 16.12.2012 г.
Формат 60x84/8. Усл. печ. лист. 7,54
Учетн. изд. лист. 9,35.
Подписной индекс через
ДП «Пресса» – 74435, 01567
Общий тираж по странам СНГ –
12 000 экз.
Цена договорная

Отпечатано с компьютерного макета
в типографии «Аврора Принт»
г. Киев, ул. Причальная, 5,
тел.: (044) 550-52-44

Реферируется ВИНИТИ (Москва):
Журнал «Радиоаматор», Киев.
Издательство «Радиоаматор»,
Украина, г. Киев, ул. Краковская, 13А

При перепечатке ссылки на «Радиоаматор»
обязательны. За содержание рекламы и
 объявлений ответственность несет
рекламодатель. При переписке вместе с
письмом вкладывайте конверт с обратным
адресом для гарантированного
получения ответа.



аудио - видео

- | | |
|---|--------------|
| 2 Стереоусилитель на микросхеме TA7376Р | A. Бутов |
| 4 Устройство, диагностика неисправностей и ремонт цифровых СТВ
ресиверов BIG SAT BS-S 501 Xtra и GLOBO 4100C | В. Фёдоров |
| 32 Принципиальная схема спутникового ресивера «BIG SAT BS-S501 Xtra» | |
| 8 Выходной каскад С. Шпака | A. Петров |
| 11 Модулятор ТВ сигнала – блок питания | A. Бутов |
| 14 Применение шумомера в быту | A. Кашкаров |
| 16 Особенности гарнитур с совмещенным штыревым разъемом 3,5 мм | Н. Петренко |
| 17 Приемник-детектор ВЧ излучений | В. Мельничук |
| 18 Конвертер команд пульта ДУ DRE
для управления ресивером «Openbox-Sx» | A. Данилин |



электроника и компьютер

- | | |
|---|-------------------------|
| 20 Система автоматического полива огорода за полчаса | A. Тузов |
| 22 Современная бюджетная измерительная лаборатория на базе
USB-модулей MP732, MP731 и MP730 от «МАСТЕР КИТ») | А. Каменский |
| 26 Устройство контроля трех аккумуляторов | А. Корабельников |
| 28 Ремонтные станции Weller | Э. Руденко |
| 30 Контроллер двигателя от STMicroelectronics | |
| 31 Принципиальная схема цифрового мультиметра MASTECH MY65 | |
| 35 Стоит ли приобретать энергосберегающие устройства? | И. Безверхний |
| 37 Электронная «Снежинка» | В. Хмара |
| 39 Розрахунок лінійних компенсаційних джерел живлення
для вимірювальних систем | В. Ефіменко |
| 43 Маломощный бестрансформаторный
регулируемый блок питания | А. Алексенцев, Р. Проць |
| 45 Свисток для владельцев собак | Е. Яковлев |
| 46 Микроконтроллеры STM32. Барьер 9 | С. Рюмик |



кв + укв

- | | |
|--|----------------------------|
| 51 Настройка и работа с программой EasyPal | Л. Вербицкий, М. Вербицкий |
| 55 Бюллетень КВ + УКВ | А. Перевертайло |



новости, информация, комментарии

- | | |
|---|--|
| 59 Отвечаем на вопросы и письма наших читателей | |
| 60 Визитные карточки | |
| 62 Электронные наборы и приборы почтой | |
| 64 Содержание журнала за 2012 год | |



Дорогие друзья!

У вас в руках последний в этом году номер нашего журнала. В этом номере вы найдете много интересного (см. оглавление). У нас опять несколько статей новых авторов, но я хочу обратить внимание читателей на статью А. Корабельникова, в которой автор нашел интересное решение контроля состояния трех аккумуляторов на катере. Это устройство может использоваться и в других применениях, где используются несколько аккумуляторов.

Несмотря на очередной кризис и предсказания конца света, мы с оптимизмом смотрим в будущее и гарантируем своевременный выход журналов в новом году.

Заканчивается подписка на газеты и журналы на следующий год. Мы уже писали, что в этом году изменились статус нашего журнала и его полное название. Теперь он называется **«Радиоаматор. Международный Радиолюбительский Журнал»**, но его подписной индекс через ГП «Пресса» остался прежний – **74435, 01567** по «Каталогу изданий Украины». Подписаться на журнал, даже по окончании годовой подписки, можно с очередного месяца в любом почтовом отделении или онлайн через сайт Государственного предприятия (ГП) «Пресса»: <http://www.presa.ua/online/>.

Заблаговременно поздравляем всех наших читателей с наступающим Новым годом и Рождеством!

Желаем здоровья, успехов во всех начинаниях, и чтобы все невзгоды обошли Вас стороной.

Любые предложения читателей по улучшению нашего журнала и статьи принимаются. Присылайте их на адрес редакции: а/я 50, 03110, Киев-110, Украина, или на электронный адрес: ra@sea.com.ua.

Главный редактор журнала «Радиоаматор» Игорь Безверхний



Стереоусилитель на микросхеме TA7376Р

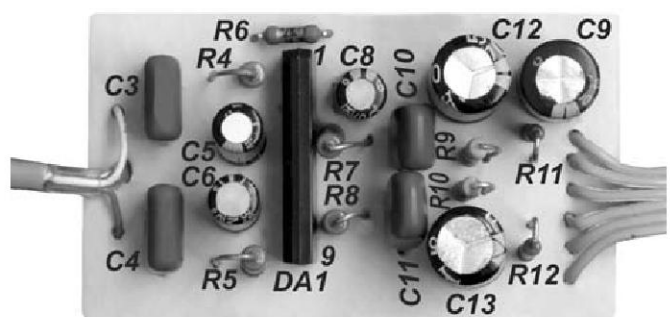
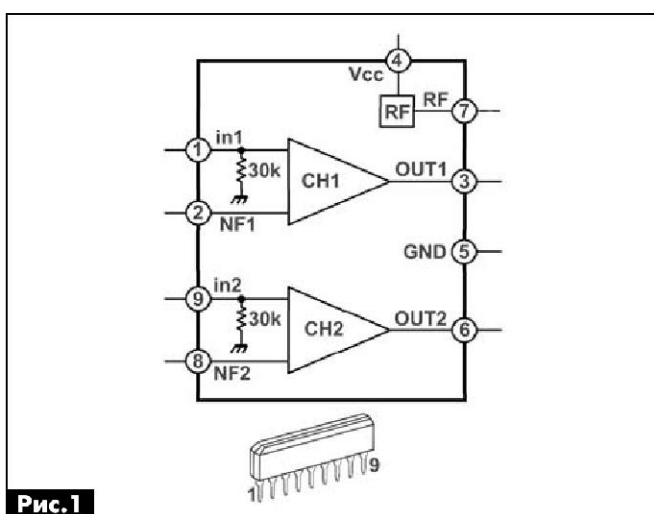
Андрей Бутов, с. Курба, Ярославской обл.

аудио-видео

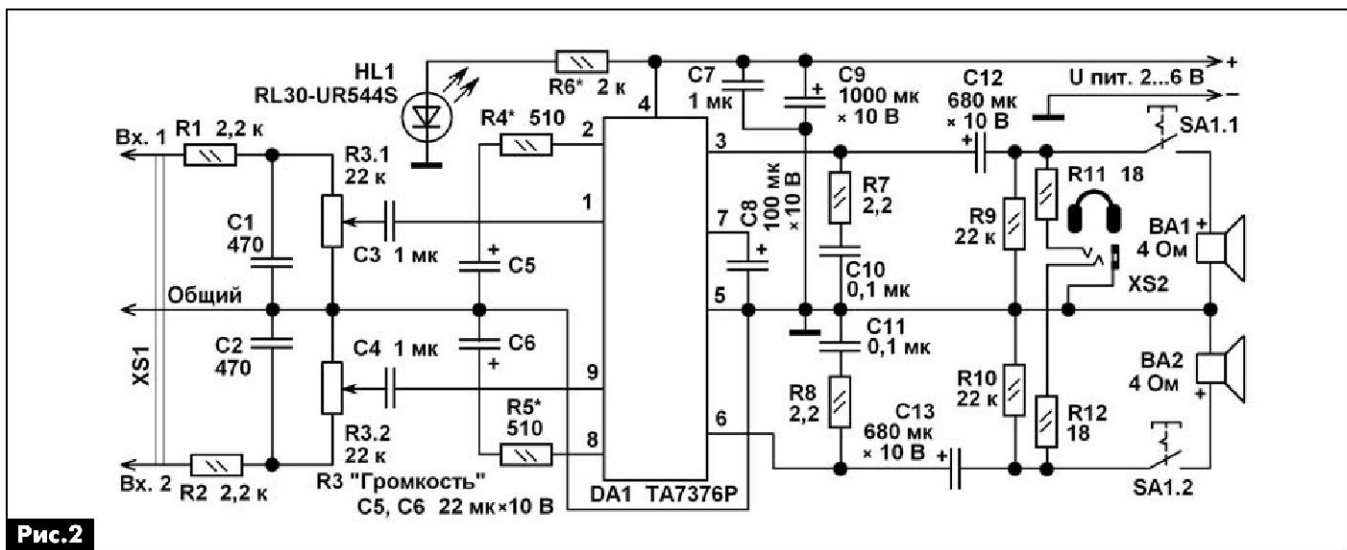
КОНСТРУКЦИИ

Для модернизации различной звуковоспроизводящей и электронной аппаратуры, например мультимедийных видеопроигрывателей, DVD-плееров, компьютерных мониторов, можно изготовить несложный компактный двухканальный усилитель мощности звуковой частоты.

Интегральная микросхема TA7376Р производства фирмы Toshiba представляет собой двухканальный УМЗЧ с однополярным питанием. Рабочее напряжение питания микросхемы 1,8...6 В (номинальное 4,5 В), ток покоя 4,5 мА при напряжении питания 4,5 В. Максимальная выходная мощность в каждом канале 0,3 Вт на нагрузке сопротивлением 4 Ом при напряжении питания 4,5 В или 0,4 Вт при напряжении питания 6 В на нагрузке сопротивлением 8 Ом. Типовой коэффициент нелинейных искажений 0,11% при выходной мощности 0,1 Вт. Максимальная рассеиваемая мощность 0,95 Вт. Микросхема выпускается в корпусе SIP9-P-A, функциональная схема ИМС показана на рис.1.



Принципиальная схема усилителя показана на рис.2. Напряжение звуковой частоты поступает на входы микросхемы DA1, выводы 1 и 9, через разделительные конденсаторы C3 и C4 с подвижных контактов сдвоенного переменного резистора R3, которым регулируют громкость. RC-фильтры R1C1 и R2C2 препятствуют проникновению на вход микросхемы радиочастот. Коэффициент усиления по напряжению DA1 зависит от соотношения сопротивлений резисторов R4 для первого канала и R5 для второго канала к сопротивлению встроенных в микросхему резисторов ООС сопротивлением 51 кОм. RC-цепи R7C10, R8C11 – демпфирующие, предотвращают самовозбуждение микросхемы на ультразвуковых частотах. Усиленный микросхемой стереосигнал через разделительные конденсаторы C12, C13 и замкнутые контакты выключателя SA1 поступает на динамические головки BA1, BA2, которые могут быть отключены при прослушивании фонограмм при подключении к гнезду XS2 стереотелефонов. Резисторы R9, R10 препятствуют появлению щелчка в динамических головках при замыкании контактов SA1.1, SA1.2, если питание на усилитель было подано ранее. Конденсаторы C7–C9 блокировочные по цепям питания. Светодиод HL1 светит при наличии напряжения питания.





Конструкция и детали

Устройство было смонтировано на плате размерами 55х31 мм (см. **фото**), на которой размещены все детали, кроме регулятора громкости, светодиода и элементов R1, R2, C1, C2, SA1, BA1, BA2. Резисторы R1, R2 и конденсаторы R1, C2 припаяны к выводам переменного резистора R3.

Постоянные резисторы могут быть любые малогабаритные, например, типов МЛТ, С1-4, С1-14. Переменный резистор для регулятора громкости сдвоенный типа СПЗ-33-23 или аналогичный импортный. Металлический экран переменного резистора соединяют с общим проводом.

Неполярные конденсаторы малогабаритные плёночные или керамические, например, К10-17, К10-50. Конденсатор С1 припаивают непосредственно к выводам питания микросхемы DA1, предпочтительнее, чтобы это был керамический конденсатор. Остальные конденсаторы – К50-35, К50-68, К53-19 или импортные аналоги.

Кнопка SA1 типа П2К, ПКН или аналогичная с двумя группами контактов.

Вместо светодиода повышенной яркости красного цвета свечения RL30-UR544S подойдут любые аналогичные, желательно с возможно меньшим рабочим напряжением, например, RL50-UR543, RL513-SR113, КИПД28Д-К, КИПД66 Е-К.

Динамические головки BA1, BA2 любые с сопротивлением 4 Ом и более при напряжении питания устройства до 4,5 В или с сопротивлением от 8 Ом при большем напряжении питания. Поскольку мощность этого УМЗЧ небольшая, желательно использовать его совместно с динамическими головками с высоким КПД и относительно мягким подвесом мембранны. Из малогабаритных отечественных хорошо работают динамические головки типа 0,5ГД-37, 1ГДШ-6. Из импортных можно попробовать динамики типа Funai-S08F05, имеющие диаметр корпуса около 8 см. Лучший КПД и качество звучания будут у отечественных динамических головок ЗГДШ-7 или ЗГДШ-8, но такие динамики относительно крупногабаритные. Для миниатюрного исполнения готового устрой-

ства можно применить динамические головки от мобильных телефонных аппаратов и телефонных радиоудлинителей.

На **рис.3** показан график зависимости коэффициента нелинейных искажений от выходной мощности, на **рис.4** – график зависимости максимальной выходной мощности от напряжения питания. Изготовленное из исправных деталей устройство начинает работать сразу и не требует налаживания. При необходимости, можно уменьшить или увеличить усиление DA1, для чего соответственно устанавливают резисторы R4 и R5 большего или меньшего сопротивления. Устройство можно модернизировать, дополнив его функцией регулировки стереобаланса, если вместо этих резисторов установить переменный резистор сопротивлением 1...3,3 кОм. С другими миниатюрными усилителями мощности звуковой частоты можно ознакомиться в [1–3].

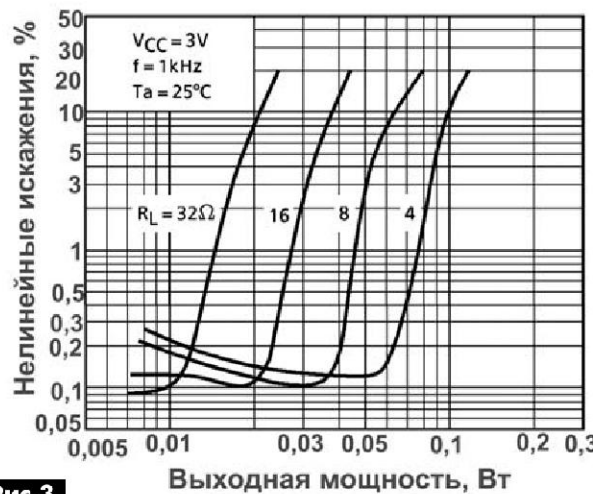


Рис.3

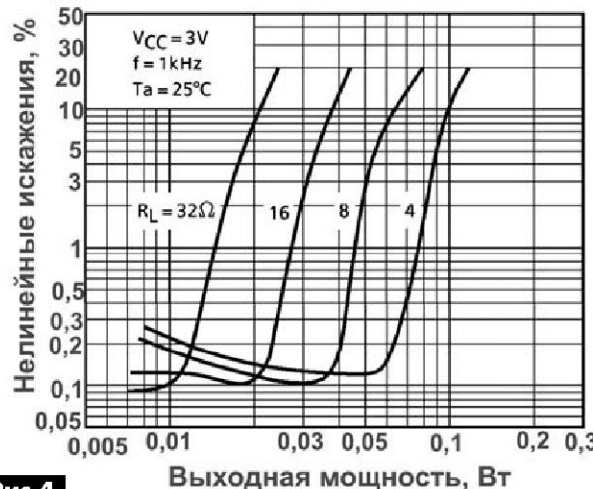


Рис.4

Литература

- Бутов А.Л. Активная АС в мыльнице // Радиоаматор. – 2008. – №8. – С.9–10.
- Бутов А.Л. Миниатюрный стереоусилитель // Радиоаматор. – 2009. – №12. – С.6–7.
- Бутов А.Л. Миниатюрный мостовой УМЗЧ на ТА7331Р // Радиоаматор. – 2011. – №10. – С.9–11.





Устройство, диагностика неисправностей и ремонт цифровых СТВ ресиверов BIG SAT BS-S 501 Xtra и GLOBO 4100C

Василий Фёдоров, г. Липецк

Цифровые СТВ ресиверы, выпускаемые под брендами BIG SAT BS-S501 Xtra и GLOBO 4100C, являются практически одинаковыми устройствами для приёма FTA программ. Они отличаются только незначительными различиями интерфейсов передней панели.

Фактически фирмы BIG SAT и GLOBO не являются производителями указанных марок ресиверов, а данная продукция выпускается на китайских заводах. Высокие эксплуатационные характеристики, заявленные, якобы, европейскими (немецкими) фирмами, на практике оказались далеко не идеальными. Кроме того, качество принимаемого изображения ТВ программ оказалось далеко не на лучшем уровне. Ключевую роль в приобретении описываемых ресиверов потребителями и установщиками СТВ комплектов, конечно же, сыграла далеко не европейская стоимость ресиверов, типичная для китайского товара массового потребления.

Посему российский, украинский и белорусский рынок электронной техники существенно насытился данными моделями. А поскольку их эксплуатационные характеристики оказались на невысоком уровне, существует потребность в ремонте этих ресиверов. В статье приведена полная принципиальная схема ресивера, которая поможет в вопросах диагностики неисправностей, причин, приведших к ним, и методов их устранения. Описание будет относиться к ресиверу BIG SAT BS-S 501 Xtra (далее – BS-S 501) с дополнением изменениями, характерными для GLOBO 4100C (далее – 4100C).

Основные характеристики

Ранее на страницах нашего журнала были описаны ресиверы, собранные на однокристальном декодере STi5518 фирмы STMicroelectronics. BS-S 501 и 4100C собраны на ИМС ALi M3329C тайваньской корпорации ALi. Данная ИМС, помимо традиционных для однокристальных декодеров цифровых абонентских терминалов, демультиплексора транспортного потока TS, MPEG-2 декодера, цифрового DENC кодера имеет в своём составе QPSK демодулятор. Это позволило, используя максимальную интеграцию функциональных узлов на кристалле, получить дешёвое решение организации конечного устройства на минимальной занимаемой площади. Подобные системы получили название System On Crystal



Рис.1

(SoC), или система на кристалле. В результате ресиверы имеют габариты более чем 2 раза меньшие, чем у традиционных аппаратов стандарта DVB-S.

Основные характеристики BS-S 501 и 4100C (рис.1) следующие: система приёма – DVB-S (MPEG-2), возможно запоминание настройки на 4000 каналов спутникового телевидения и радиовещания. Имеется семидневное русифицированное навигационное меню EPG. Для управления внешними устройствами, коммутирующими конвертерами используется поддержка протоколов DiSEqC 1.0, DiSEqC 1.1 (для управления позиционером используется протокол DiSEqC 1.2 или USALS). Программное обеспечение (ПО) ресиверов возможно обновлять с помощью компьютера через последовательный интерфейс RS-232. Ресиверы имеют выходы RCA и SCART (у последнего имеется функция вывода сигналов RGB для организации просмотра программ в студийном качестве). Размеры BS-S 501 220x150x45 мм.

Ресиверы BS-S 501 и 4100C не предназначены для просмотра кодированных каналов, несмотря на то, что в составе ИМС имеется DVB-CSA дескремблер и интерфейс картридера ISO-7816. Существует ПО ресиверов, обеспечивающее просмотр программ скремблированных в широко используемой российскими государственными спутниковыми вещательными системами BISS. Для её просмотра необходимо установить, используя нижеприведённый метод обновления, требуемое ПО. Однако следует помнить, что ни один веща-



тель не рекомендовал описываемое оборудование для приёма своих программ. А посему не гарантируется устойчивая работа требуемых для просмотра программ на описываемом оборудовании.

Эксплуатационные характеристики и функциональная схема

Функциональная схема ресиверов BS-S 501 и 4100С показана на **рис.2**. На их вход подаётся DVB-S сигнал от понижающего конвертора в диапазоне 950...2150 МГц. Режим приёма возможен по схемам MCPC (множество программ на одной несущей) и SCPC (одна программа на одной несущей). Входной HALF-NIM модуль S7VZ0502, выпускаемый фирмой SHARP, производит настройку ресивера на несущую требуемого канала. Помимо этого он осуществляет преобразование входного сигнала на нулевую промежуточную частоту, а также выделяет из него I и Q составляющие. Поляризация принимаемого сигнала изменяется по стандартной схеме путём инжекции в кабель снижения постоянного напряжения 13,5 или 18 В. Управление напряжением осуществляется схема, выполненная на дискретных элементах. Поддиапазоны Ку-диапазона переключаются путём подачи в кабель снижения синусоидального немодулированного сигнала частотой 22 кГц и амплитудой 0,6 В. Внешние дополнительные устройства (поворотные механизмы, переключатели конверторов) управляются путём инжектирования в кабель снижения команд, сформированных на основе протоколов DiSEqC 1.0–1.2 и USALS (DiSEqC 1.3).

С выхода NIM модуля сигналы I и Q составляющих поступают на QPSK демодулятор, входящий в состав однокристального декодера SoC ALi M3329C, который осуществляет их стандартную демодуляцию. Демодулятор, по заявлению корпорацией ALi данным обрабатывает QPSK сигналы со скоростями потока 1...45 Мбит/с. (Однако из практики эксплуатации ресиверов было замечено, что у них возникают проблемы при приёме сигналов на скоростях, близких к максимальным.) Коррекция ошибок декодера свёрточного кода Вит-

терби может принимать весь ряд стандартных допустимых значений: 1/2, 2/3, 3/4, 5/6, 7/8 (при длине кодового ограничения K=7). Кроме того, демодулятор осуществляет декодирование кодов Рида-Соломона с коррекцией ошибок, дерандомизацию сигнала и нормализацию TS.

Сигнал TS обрабатывается DES дескремблером (в FTA моделях роутер потока TS в составе ИМС ALi M3329C передаёт сигнал непосредственно на TS демультиплексор, минуя DES дескремблер). Мощный процессор помимо декодирования сигнала TS в сигналы изображения и звукового сопровождения, принимаемого ТВ канала, осуществляет сервисные функции управления и контроля ресивера. С выхода роутера сигнал TS демультиплексируется (из него выделяется требуемый ТВ или РВ канал, либо сигналы данных сервисной информации) и декодируется в MPEG-декодере (MPEG-2 MP@ML ISO/IEC 13818), имеющим мощный аппаратный акселератор.

С выхода декодера видеосигнал в форматах 4:3 или 16:9 (720 пикселей на 576 строк при частоте полей 50 Гц), преобразованный DENC кодером, с стерео- или монозвуковым сопровождением поступают на буферные выходные усилители видеоглавы и звукового сигналов, выполненные на дискретных элементах. Отличительной особенностью ИМС ALi M3329C является наличие на кристалле двухканального ЦАП, позволяющего минимизировать количество используемых внешних элементов.

На выходе ресиверов можно получить как композитный видеосигнал ПЦТВ на выходах RCA-CINCH и SCART, так и компонентный RGB (SCART). Использование компонентного выхода более предпочтительно, поскольку позволяет получить на экране ТВ приёмника изображение более высокого качества, с отсутствием артефактов, возникающих в результате перекрёстных искажений между яркостной и цветовой составляющей композитного сигнала. Преимущество подобного способа подключения ярко проявляется при использовании ресиверов совместно с широкоэкранными ТВ приёмниками с большой диагональю. Сигналы звукового сопровождения также выводятся как на RCA, так и на SCART разъёмы.

Помимо ТВ и РВ программы ресиверы позволяют принимать сервисную информацию: телетекст, субтитры. Память ресивера сохраняет настройки 4000 принимаемых каналов. Для облегчения управления, настройки и параметров приёма используется меню удобной экранной графики OSD.

Практически, при механической доработке корпуса ресиверов возможна установка в них картридера, осуществляющего обмен данных со смарткартами, соответствующими стандарту ISO 7816, и использование программного дескремблера системы условного доступа с соответствующей модификацией ПО с хост-компьютера через последовательный интерфейс RS-232.

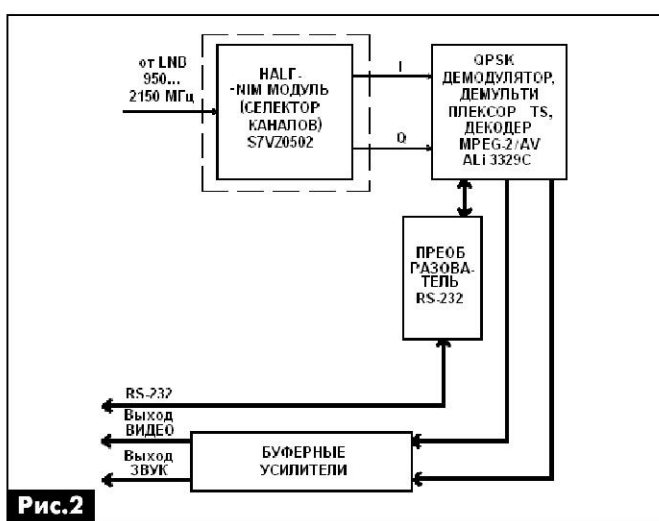
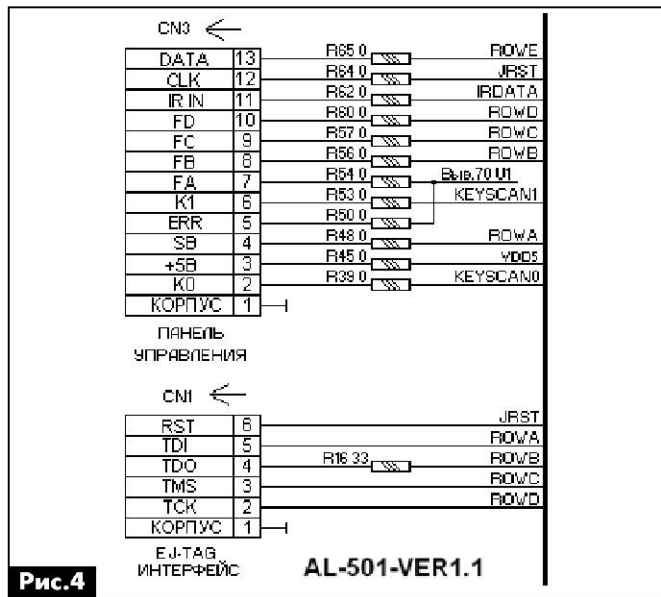


Рис.2

Принципиальная схема и конструкция

Ресиверы BS-S 501 и 4100С сконструированы по классической схеме компоновки на трёх печатных платах. В BS-S 501 используется основная плата AL-502-VER1.1 (см. **рис.3** на стр.32-33). В 4100С применяется AL-501-VER1.1, которая практически идентична AL-502 за исключением разводки разъёма CN3, связанного с использованием в 4100С четырёхразрядного семисегментного индикатора.

Отличия AL-501-VER1.1 от AL-502-VER1.1 показаны на **рис.4**.



В BS-S 501 используется плата панели управления DV22-2100PNL-VER1.1 (**рис.5**), а в 4100С – DV16-2363-VER2.5 (см. **рис.6** на стр.31). (Вторая панель также применяется в DVB-S ресивере STAR TRACK 560D SUPERPLUS, поэтому её можно использовать в ресивере 4100С без каких-либо доработок.)

Плата источника питания SMPS-888-VER1.1 (обеспечивающего преобразование сетевого переменного напряжения в постоянные напряжения

для питания узлов ресивера) одинакова для обеих моделей.

HALF-NIM модуль TUN2 носит такое наименование, поскольку в его составе содержится только РЧ преобразователь, а QPSK демодулятор (в отличие от полноценных NIM модулей) у него отсутствует. Он имеет стандартный вход первой ПЧ (950...2150 МГц) и выход LOOP для подключения второго (ведомого) ресивера. Схема построена таким образом, что при отключении ресивера, управление поляризацией наружного конвертора и переключение поддиапазонов производится ведомым ресивером. (Недостатком является то, что при включенном ресивере его работа и функционирование ведомого ресивера будет корректна только при установке одинаковой поляризации и наличии сигнала 22 кГц.)

Управление РЧ преобразователем модуля осуществляется по шине I²C от основного контроллера в составе U1. Напряжение питания внешнего конвертора и соответственно поляризация приёма формируется ИМС U2. Ключ на QL6, QL7 управляет включением/выключением инжекции напряжения в кабель снижения. Если на базу QL6 с U1 подаётся лог. «1», разрешается подача питания на конвертор. Ключ на QL3 управляет напряжением стабилизации U2 (переключение поляризации), а QL1, QL5 инжектирует сигнал 22 кГц и сигналы протокола DiSEqC. Самовосстанавливающийся предохранитель PT1 защищает силовые цепи ресивера от короткого замыкания в кабеле снижения.

С выхода модуля TUN2 сигналы I и Q поступают непосредственно на U1, где оценивается их уровень и формируется управляющее напряжение APY, действующее на вход регулировки усиления входного сигнала модуля TUN2.

В отличие от широко распространённых ИМС серии STi, требующих внешний задающий генератор, управляемый напряжением, U1 имеет встроенный ГУН со стабилизацией внешним кристалловым генератором Y1 частотой 27 МГц. Из образцовой

частоты внутренние схемы U1 формируют частоты для работы процессорного ядра, внутренних узлов, внешней FLASH и SDRAM памяти. Сброс ресивера при включении осуществляется цепь R11CR1D1. Аппаратный сброс при ремонте можно активизировать, кратковременно замкнув CR1.

Удаление перемычки переводит U1 в отладочный DEBUG режим, что необходимо при программировании FLASH памяти через EJTAG интерфейс CN1, о чём будет рассказано ниже. В рабочем состоянии перемычка установлена в схему. Управление ресивером осуществляется ИМС U1. Её интерфейс поддерживает использование как параллельной,

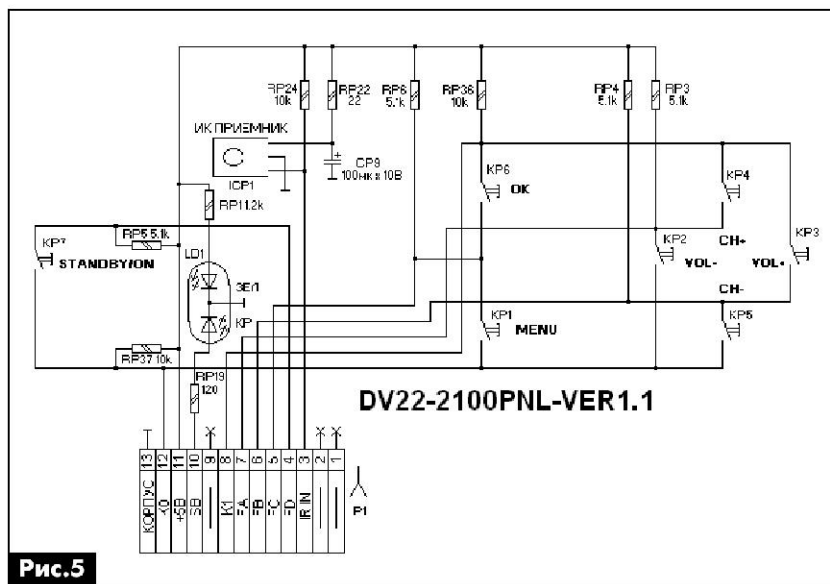


Рис.5



так и последовательной (SPI) FLASH памяти. Управляющая программа записывается в 16 Мбит SPI FLASH память U4 (AT26DF161 фирмы ATMEL). Её использование позволило сократить площадь, занимаемую компонентами на основной плате. Программу можно модифицировать с помощью интерфейса RS-232 без модификации загрузчика (BOOT секторов). Для сопряжения уровней интерфейса RS-232 с уровнями, необходимыми для работы U1, используют дискретные элементы QS3, QS4.

EJTAG интерфейс CN1 установлен на плате и позволяет без труда осуществить полное перепрограммирование U4. К 16-битному SDRAM интерфейсу U1 подключена 64 Мбит ИМС динамического ОЗУ U3 (IS42S16400B-7TL фирмы ISSI), используемая MPEG-2 декодером, управляющим процессором и цифровым кодером (DENC).

Аналоговые сигналы видео и звука поступают на активные буферные элементы Q2–Q6, U6 (выполняет функции аналогового ФНЧ второго порядка). ПЦС с сигналами звука поступают на RCA1 и с сигналами RGB – на SCART1. РЧ модулятор, подключаемый к CN4, переносит сигналы изображения и звукового сопровождения на любой DMB канал. Он расположен отдельно от основной платы (прикреплён к задней панели ресивера) и управляется по сепараторной шине I²C.

Платы панели управления предназначены для вывода основной информации о работе ресиверов, а также для управления их основными функциями без ПДУ. Работа платы ресивера BS-S 501, выполненной по элементарной схеме, пояснений не требует. В плате управления ресивера 4100C добавлен индикатор LED1, работающий в динамическом режиме. Им управляет (совместно с контролем ввода информации о состоянии клавиатуры) центральный процессор в составе U1, который по последовательной шине посылает соответствующую комбинацию импульсов на ИМС дешифратора IC1. При этом одновременно сканируется состояние управляющих кнопок KP4, KP5, KP7.

Источник питания

Он собран по классической схеме импульсного обратноходового преобразователя напряжений (см. **рис. 7** на стр.31). Отметим, что источник питания ресивера Star Track 560D SUPERPLUS выполнен по несколько иной схеме. Поскольку он формирует те же напряжения при тех же токах потребления, имеет аналогичную разводку разъёма J1 и одинаковые размеры с отверстиями для крепления, то его можно применять в описываемых ресиверах без каких-либо изменений.

Входное сетевое напряжение через предохранитель F1, помехоподавляющий фильтр C2–C5, LF1, препятствующий проникновению помех от ИП в сеть, поступает на диодный мост D1–D4 и выпрямительную ёмкость C1. Токоограничивающий резистор NTC1, необходимый для ограничения

пускового тока через диодный мост в момент зарядки PC3 при включении тюнера в сеть, к сожалению, практически во всех встречающихся моделях отсутствует и заменён перемычкой J2. Варистор MOV1 защищает источник питания от перенапряжения. Если питающее напряжение выше нормы, сопротивление варистора уменьшается, ток, протекающий через него, увеличивается, и F1 сгорает.

Выпрямленное напряжение подаётся на первичную обмотку трансформатора TR2. При этом оно коммутируется мощным ключевым транзистором U1. Накопленная в трансформаторе энергия передаётся во вторичные обмотки и выпрямляется диодами Шотки D7, D8, D10, D11.

Ключевой транзистор управляется схемой контроллера ШИМ в составе U1. Запуск при включении источника питания в сеть осуществляется выпрямленным сетевым напряжением, прикладываемом к выводу 5 U1. После запуска источника питания появляется напряжение во вторичных обмотках и U1 питается от трансформатора TR2 напряжением, выпрямленным D6.

Для стабилизации выходных напряжений используются элементы U2 (оптопара, гальванически связывающая первичные и вторичные цепи источника питания) и U3 (ИМС стабилизатора напряжения). Выходные напряжения устанавливаются резистивным делителем R17R9. Увеличение выходных напряжений открывает транзистор, в составе U2. При этом ШИМ в составе U1 уменьшает длительность импульса управления выходного транзистора. Энергия, передаваемая во вторичные цепи, уменьшается, и, соответственно, уменьшаются выходные напряжения источника питания.

Поиск неисправностей и их устранение

Ремонт ресиверов BS-S 501 и 4100C рекомендуется производить по следующей методике поиска неисправностей и их устранения. Вначале производят визуальный осмотр компонентов. Для этого обеспечивают доступ к платам, предварительно разобрав ресивер. Прежде всего, проверяют качество соединительных разъёмов и демонтируют платы из корпуса. Следует убедиться в целостности плат, отсутствии на них сколов и изгибов. При наличии посторонних предметов, их удаляют, попавшие в ресивер жидкости удаляют, а места их попадания протирают спиртом. При этом обязательно убеждаются в отсутствии повреждения от них печатного монтажа.

Литература

1. <http://connectiv.narod.ru>
2. Фёдоров В.К. Ремонт спутниковых ресиверов. – М.: СОЛОН, 2010.
3. <http://www.cunextra.com>

(Продолжение следует)



Выходной каскад С. Шпака

Александр Петров, г. Минск

аудио-видео

ВЫСОКОКАЧЕСТВЕННОЕ ЗВУКОВОСПРОИЗВОДСТВО

В предыдущей статье (см. РА 10/2012) были рассмотрены недостатки драйвера, предложенного С. Шпаком. В этой статье выясним, есть ли достоинства у УМЗЧ, предложенного С. Шпаком.

Скоро 60 лет как конструкторы и радиолюбители всего мира в трудятся поисках структуры идеального транзисторного усилителя звуковой частоты. За это время наработано множество решений, как отдельных узлов усилителей, так и структур УМЗЧ в целом, подано множество заявок на изобретения и получено множество патентов, порой самых нелепых. Некоторые авторы настолько уверены в своей правоте, что, размахивая подобными патентами, объявляют на весь мир, утверждая, что структуры только их усилителей являются абсолютными и безупречными.

В [1] предпринята попытка беглого обзора наиболее часто встречающихся простых решений отдельных узлов УМЗЧ, которые под силу повторить даже начинающим радиолюбителям. В статье [1] не ставилась задача рассмотрения схемотехники усилителей всех существующих классов.

К требованиям к УМЗЧ, которые там изложены, хотелось бы добавить следующее:

- УМЗЧ должен иметь минимум настроек (а лучше вообще без них);
- должен иметь высокую температурную стабильность режимов (отсюда выше будет и его надежность);
- быстро выходить на оптимальный режим;
- не иметь переходных процессов при включении;
- быть неприхотливым к элементной базе и к разбросу параметров транзисторов;
- схема УМЗЧ должна быть легко читаема и понятна, тогда повышается и ремонтопригодность изделия.

Не на последнем месте стоит доступность и стоимость элементной базы.

Сегодня, когда наработано много удачных схемотехнических решений, конечный результат часто определяется конкретным исполнением, а именно:

- разводкой печатной платы;
- подбором транзисторов, как по типу, так и по коэффициенту передачи тока базы в противоположных плечах каскадов (это не каждый производитель массовой продукции может себе позволить);
- монтажом;
- качеством источника питания;
- строгим выполнением инструкций по настройке;
- типом конденсаторов, резисторов;
- другими мелочами.

Автором одного из признанных во всем мире безупречных УМЗЧ является Дуглас Селф [2]. Его схема чрезвычайно популярна во всем мире, особенно у австралийских радиолюбителей. Только в дайджесте журнала «Радиохобби» в разных модификациях она повторялась четыре раза, не считая её упрощенной модификации.

Структура этого УМЗЧ предельно прозрачна и легко читаема, сам усилитель легко повторяем и имеет достаточно высокие технические характеристики. Схема неприхотлива к разбросу параметров транзисторов и пригодна для массового производства. Благодаря нагрузке дифференциального каскада (ДК) в виде токового зеркала ДК автоматически находится в оптимальном сбалансированном режиме. В последней модификации использована двухполюсная коррекция, о которой в своих книгах (а их более 5) неоднократно упоминал Дуглас Селф, что дополнительно снизило искажения в верхней части звукового диапазона. Большую роль для обеспечения хороших характеристик играют примененные высокостабильные генераторы тока (ток ГСТ мало зависит от изменения напряжения питания, а значит, и от пульсаций питания) – один задает режим ДК, а второй является нагрузкой УН.

Единственное слабое место в этой структуре, на мой взгляд, – это выходной каскад в виде «двойки» (Дарлингтона или Шиклаи). Хотя с современными выходными транзисторами для нагрузки в виде АС с сопротивлением 8 Ом это не такой уж и большой недостаток.

Популярная структура Холтона (Хафлера) с нагрузкой усилителя напряжения (УН) в виде отражателя тока с разными модификациями выходного каскада постепенно сдает позиции и уступает место симметричным структурам УМЗЧ типа Ланзар, хотя и среди них есть немало достаточно музыкальных модификаций, в том числе и первый вариант усилителя фирмы TOSHIBA со спаренными транзисторами типа Lateral.

Некоторые разработчики в погоне за глубокой ООС предпочитают композитные структуры УМЗЧ. Одна из первых таких структур была предложена М. Александром в начале 1980-х [3]. Похожей, упрощенной схемотехнике выполнен и усилитель «Stonecold» Грэма Шмидта (Германия).

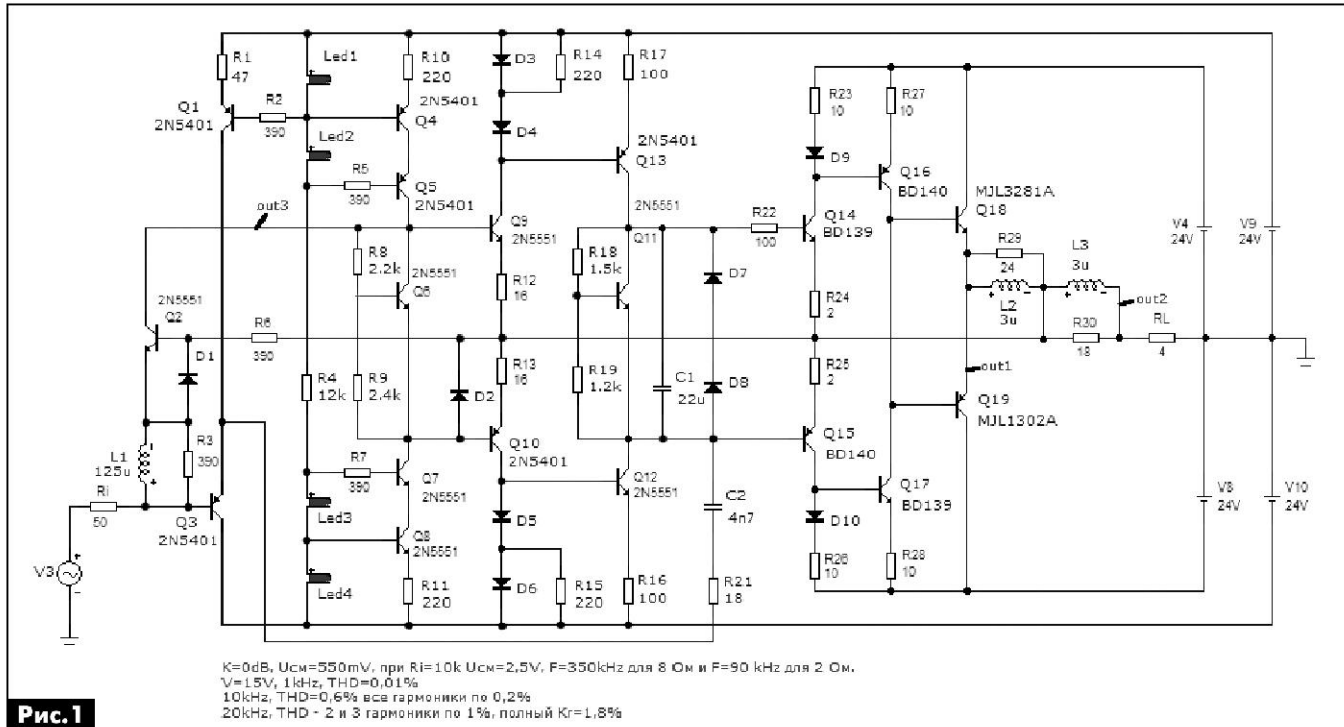
Аналогичными структурами занимался и Е. Гумеля [4]. У меня есть друг «легкий на подъем», который поверил в эту схемотехнику и сразу же по выходу статьи [4] переделал свой УМЗЧ. Этот факт мне запомнился тем, что звучание его аудиосистемы вдруг стало каким-то другим – «сухим», «колючим», что потом нарекли «транзисторным



звуканием». Я поинтересовался, в чем дело? Он с удовольствием поделился новостью о том, что сделал «апгрейд» своей аудиосистеме. Не хочу сказать ничего плохого об этой схемотехнике, возможно, в том случае просто была неудачная реализация, но для себя это направление я еще тогда закрыл навсегда.

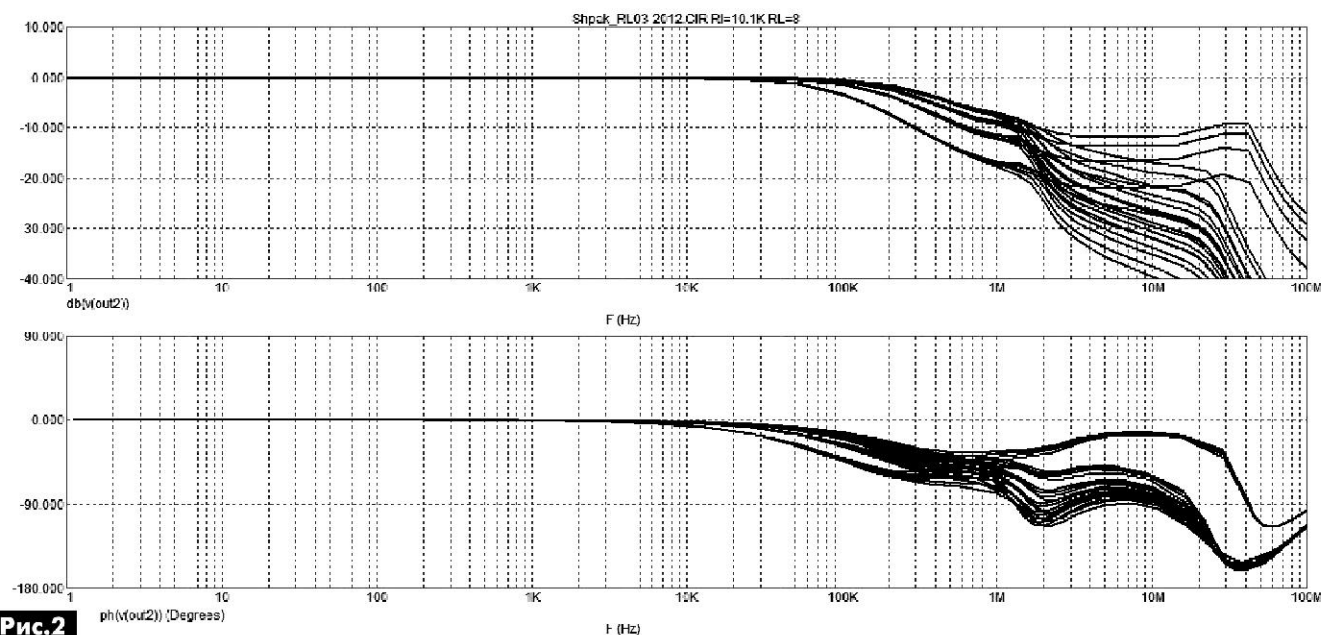
С применением ОУ в составе УМЗЧ есть другие удачные разработки, например усилитель С. Агеева, модификации усилителя Н. Сухова, усилитель «Натали» и его модификации и ряд других разработок.

Казалось бы, все решения исчерпаны, тем не менее, иногда появляются амбициозные «революционные» решения, например выходной каскад [5] (**рис.1**, позиционные обозначения сохранены из оригинала). Я не буду описывать принцип его работы, так как он изложен в [5].



Отметим, что при нулевом потенциале на входе и при низком сопротивлении источника сигнала постоянное напряжение на выходе составляет 554 мВ (близкое к напряжению отпирания базо-эмиттерного перехода биполярного транзистора), что обусловлено каскадом с общей базой на входе (транзистор Q2). Если сопротивление источника сигнала увеличить до 10 кОм (что может быть при использовании его в УМЗЧ без ООС), то смещение на выходе возрастает до 2,5 В. При дальнейшем росте сопротивления источника сигнала, смещение на выходе стремится к величине положительного напряжения питания.

Диаграмма Боде при изменении источника сигнала от 100 Ом до 10 кОм с шагом 2 кОм и изменении сопротивления нагрузки от 2 до 8 Ом показана на **рис.2**.



ВК имеет узкую полосу пропускания на уровне -3 дБ, которая, несмотря на глубокую ООС, пляшет от 90 кГц при нагрузке 2 Ом и до 350 кГц при нагрузке 8 Ом, в то время как коэффициент передачи до 20 кГц достаточно стабилен. Девиация фазы на частоте 20 кГц более 13 град. Причудливые формы АЧХ и ФЧХ связаны с использованием параллельного ВЧ канала усиления.

Подадим на вход УМЗЧ сигнал частотой 20 кГц и посмотрим, как он усиливается (рис.3). На рис.3 отчетливо видны искажения входного сигнала.

При сопротивлении источника сигнала 10 кОм растет смещение сигнала на его выходе, и резко возрастают искажения (рис.4). Верхняя осцилло-

грамма на рис.3 и рис.4 – это сигнал на выходе УМЗЧ, нижняя – на нагрузке. Как видим, даже индуктивности на выходе не спасают от коммутационных искажений. Да это и не удивительно, выходные транзисторы работают с глубокой отсечкой в классе В.

Исследование на нелинейные искажения показывает, что на частоте 1 кГц усилитель имеет искажения всего $0,01\%$, в то время как на частоте 10 кГц – $0,6\%$ (частокол гармоник по $0,2\%$), а на частоте 20 кГц – ближайшая вторая гармоника имеет $1,4\%$ (рис.5). В какой-то степени искажения смягчают транзисторы Q14, Q15, работающие на нагрузку через резисторы номиналом 2 Ом.

Если учсть сложность этого ВК, смещение на выходе около $0,6$ В, а также крайне низкую частоту среза ($90\dots350$ кГц), что потребует серьезной ВЧ коррекции для обеспечения устойчивости УМЗЧ в целом, то использовать в ваших разработках такие «ноу-хау» я бы не советовал.

Литература

- Петров А. Эволюция транзисторных УМЗЧ // Радиомир. – 2011. – №4–6.
- Селф Дуглас. Проектирование усилителей мощности звуковой частоты. – М., 2009.
- Mark Alexander. A Current Feedback Audio Power Amplifier, 88th Convention of the Audio Eng. Soc., reprint #2902, March 1990.
- Гумеля Е. Качество и схемотехника УМЗЧ // Радио. – 1985. – №9.
- Шпак С. Архитектура абсолютного УМЗЧ // Радиолюбитель. – 2012. – №1–4.

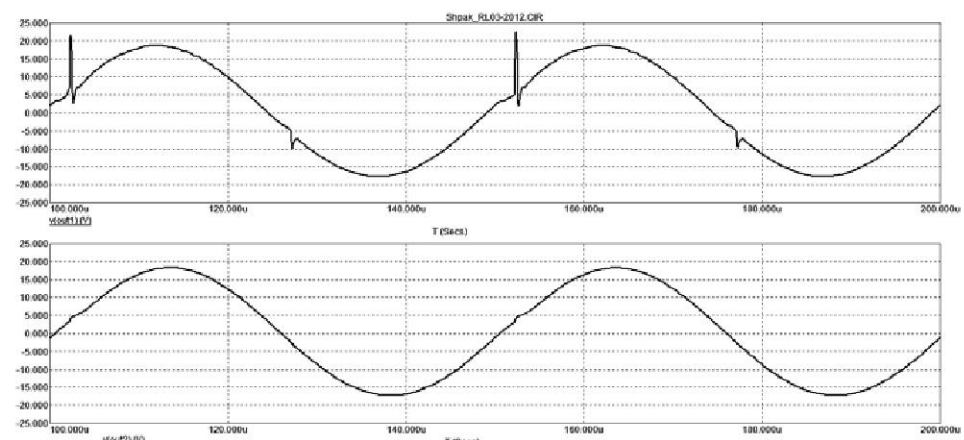


Рис.3

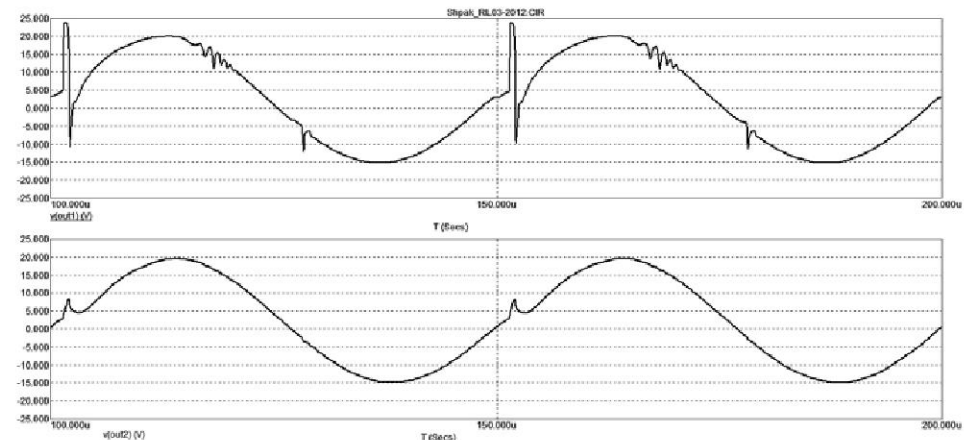


Рис.4

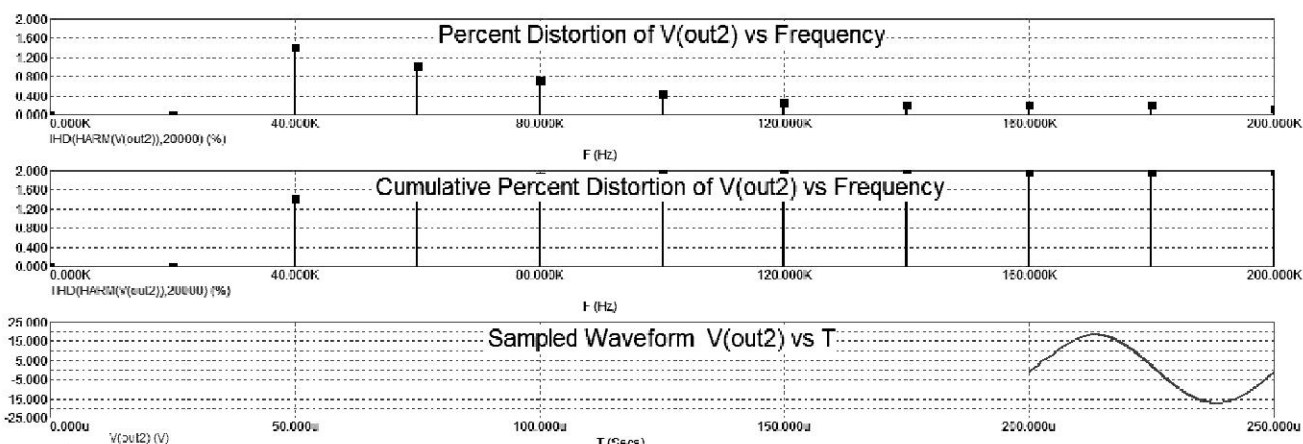


Рис.5



Модулятор ТВ сигнала – блок питания

Андрей Бутов, с. Курба, Ярославской обл.

Иногда требуется передать по проводам композитный видео- и аудиосигналы на относительно большое расстояние, что может привести к затуханию ВЧ составляющих видеосигнала, проявляющееся в снижении контрастности и чёткости картинки на экране телевизора.

Если длина кабеля составляет десятки метров, то целесообразнее передавать по проводной линии не НЧ композитный видеосигнал и отдельно аудиосигналы, а модулировать всех их на один из ВЧ телевизионных каналов. Также при ремонте, настройке и тестировании различной телевизионной аппаратуры может потребоваться подключать её к источникам сигнала не через НЧ видео- и аудиовходы, а через антенный высокочастотный вход. Кроме того, иногда встречаются телевизоры, особенно компактные, которые не имеют никаких других входов, кроме антенного. Для этих целей можно изготовить несложное устройство, которое позволит подключать различные источники аудио- и видеосигналов к входному антенному гнезду телевизора.

Чтобы не изготавливать модулятор ТВ сигнала самостоятельно, можно воспользоваться готовым модулем ВЧ модулятора от старого отечественного видеомагнитофона «Электроника ВМ-18». Такие магнитофоны оснащались модулятором-коммутатором сигналов SAMSUNG RUS736 II CBL (рис.1). Этот модулятор работал в видеомагнитфоне в паре с всеволновым селектором SAMSUNG ECC-2885PLE. Такой модулятор обеспечивает на выходе качественный высокочастотный сигнал, превосходящий по параметрам сигнал с 3-транзисторного ВЧ модулятора от игровой приставки «Денди». Самодельные модуляторы ТВ сигналов, собранные по несложным схемам, также обычно выдают высокочастотный ТВ сигнал низкого качества, а изготовление достаточно сложного модулятора сопряжено как с большими затратами времени, так и требует соответствующих навыков по проектированию и изготовлению высокочастотных устройств.

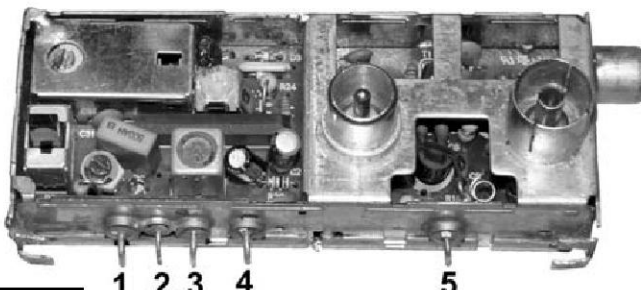


Рис.1

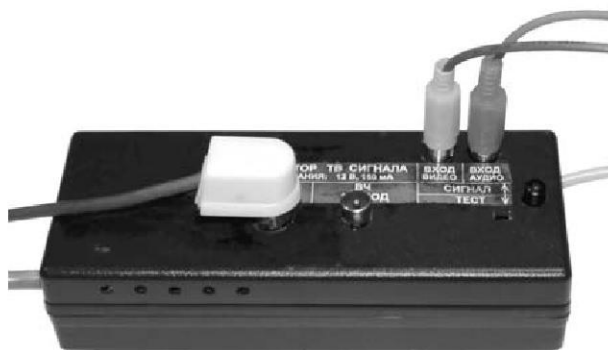


Схема включения модулятора показана на рис.2. Для работы блока модулятора требуется стабилизированное напряжение 9...12 В постоянного тока. Ток потребления при напряжении питания 12 В составляет около 60 мА. Для питания модулятора изготовлен несложный блок питания с линейным стабилизатором напряжения.

Напряжение сети 220 В / 50 Гц поступает на первичную обмотку понижающего трансформатора T1 через защитный резистор R1. С вторичной обмотки трансформатора напряжение переменного тока поступает на мостовой диодный выпрямитель VD1–VD4 через полимерный самовосстанавливающийся предохранитель FU1. Конденсатор C5 сглаживает пульсации выпрямленного напряжения.

Стабилизатор напряжения +12 В выполнен на интегральной микросхеме DA1. Выходное напряжение стабилизатора 12 В. Поскольку предполагается, что функцией ВЧ модулятора изготовленного устройства предстоит пользоваться от случая к случаю, устройство ещё может выполнять функцию источника питания для различных подключенных нагрузок с рабочим напряжением +12 В при токе до 150 мА.

Светодиод HL1 светит при наличии на выходе стабилизатора напряжения, диод VD5 защитный. Конденсаторы C6–C9 блокировочные по цепям питания, двухобмоточные дроссели L1, L2 снижают вероятность появления помех на экране телевизора. Большинство деталей стабилизатора напряжения смонтированы на плате размерами 102x18 мм (рис.3).

На рис.1 на плате модулятора внизу слева виден небольшой переключатель. Если клавишу этого переключателя перевести вверх, то действует встроенная в модулятор SAMSUNG RUS736 II CBL функция тестового сигнала. При этом изображение на экране телевизора будет иметь вид, показанный на рис.4. Если к высокочастотному входу модулятора подключить телевизионную antennу и замкнуть контакты переключателя SA1, то ВЧ сигнал с входа модулятора будет передаваться на его выход. При разомкнутых контактах этого переключателя низкочастотные видео- и аудиосигналы будут модулироваться на 41 ДМВ телевизионный канал (несущая частота 631 МГц). С помощью под-

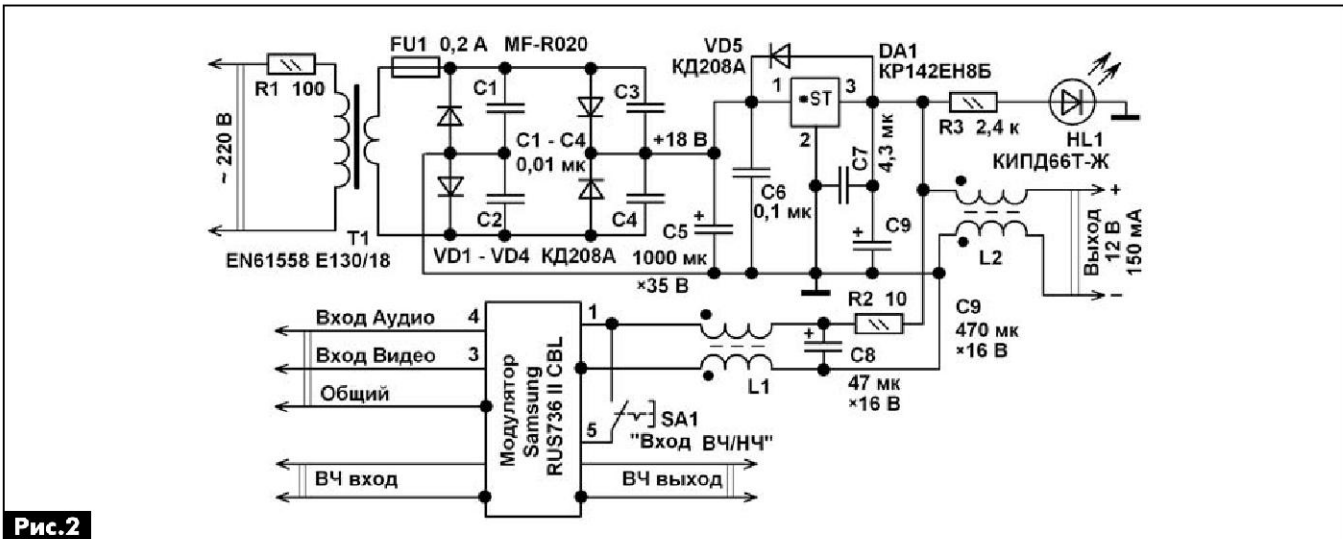


Рис.2

строичного конденсатора, который расположен чуть выше встроенного в модулятор переключателя, модулятор можно точно подстроить под отечественную частотную сетку ТВ каналов.



Рис.3

Источником видео- и звукового сигналов для этого устройства могут быть, например, не имеющие высокочастотного выхода генератор испытательных телевизионных сигналов, видеокамера, игровая приставка, персональный компьютер, мультимедийный плеер, мобильный телефонный аппарат, устройства видеонаблюдения. Если какая-либо из телестанций будет работать на том же канале, на который вы настроили модулятор, то уже упомянутым подстроенным конденсатором можно перестроить модулятор на другой ТВ канал.

Готовый модуль телевизионного модулятора, аналогичного описанному, можно найти почти в любом ненужном или неисправном видеомагнитфоне или видеоплеере [1]. Перед выпаиванием

блока модулятора других типов следует определить назначение его выводов и величину напряжения питания, на монтажных платах обычно имеются надписи-подсказки возле соответствующих выводов. При отсутствии таких надписей можно попробовать найти принципиальную схему разбираемого аппарата.

Конструкция и детали

Компоновка блоков в корпусе размерами 156x62x35 мм показана на рис.5. На месте пониждающего трансформатора T1 применён малогабаритный трансформатор с маркировкой EN61558 E130/18 от стиральной машины «Индезит». Его можно заменить унифицированным ТП112-13 или ТП115-18, при этом максимальный ток подключенной дополнительной нагрузки стабилизатора может быть увеличен до 0,3 А.

Резисторы подойдут типов МЛТ, С1-4, С1-14, С2-23 и другие малогабаритные.

Неполярные конденсаторы К10-17, К10-50, К73-9 или аналогичные. При этом конденсаторы С1-С4, С6 должны быть рассчитаны на напряжение не ниже 35 В. Остальные конденсаторы К50-68, К60-35, К53-19 или аналоги.

Диоды КД208А можно заменить любыми из серии КД209, КД243, КД247, 1N4001–1N4007, UF4001–UF4007. Светодиод подойдёт любого типа общего применения непрерывного свечения.

Дроссели содержат по 4 витка сложенного вдвое монтажного провода, намотаны на ферритовых кольцах диаметром 7 мм. Можно применить ферритовые кольца или ферритовые трубы другого диаметра.

Интегральную микросхему KP142EH8Б устанавливают на дюралюминиевый теплоотвод размерами 40x23x1 мм. Если блок питания будет рассчитан на больший ток подключаемой нагрузки, то микросхему устанавливают на теплоотвод большего размера и предохранитель FU1 – на больший рабочий ток. Вместо отечественной микросхемы можно применить импортную, например, LM7812,

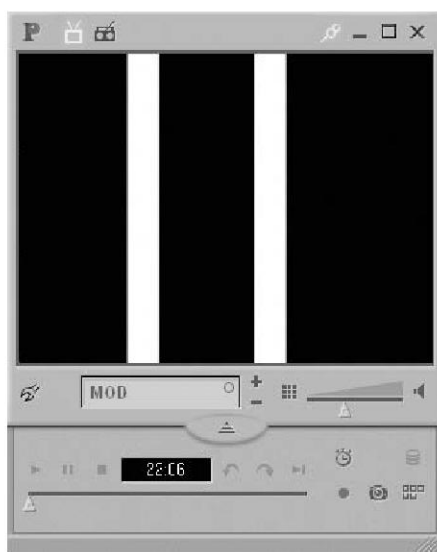


Рис.4



KIA7812, MC7812, схемы включения этих микросхем одинаковые.

Переключатель SA1 любой малогабаритный с фиксацией положения. Полимерный самовосстанавливающийся предохранитель MF-R020 можно заменить LP60-020.

Внешний вид устройства в сборе показан на **фото**.

Если устройство дополнить ещё одним переключателем, отключающим от источника питания блок модулятора, то можно будет увеличить максимальный потребляемый ток подключаемой нагрузки примерно на 50...60 мА. Если уровень видеосигнала от подключенного источника окажется избыточным – на экране телевизора высококонтрастное изображение, может быть искажена геометрия, то видеосигнал на вывод 3 блока модулятора можно подавать с движка подстроичного резистора сопротивлением 220 Ом, который включают в схему устройства как делитель входного напряжения.

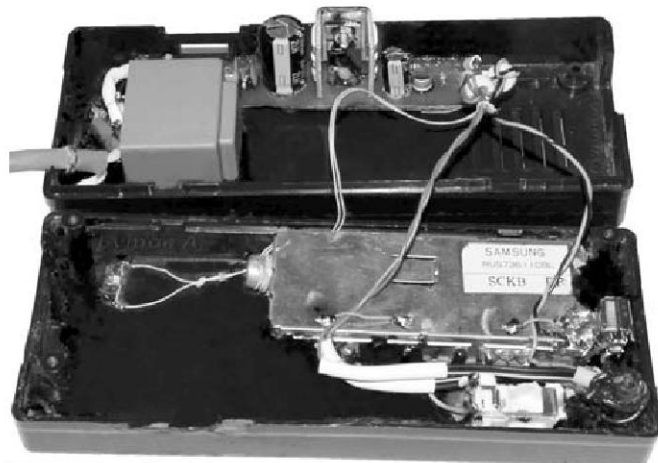


Рис.5

Литература

- Бутов А.Л. Вторая «жизнь» модулятора телевизионного сигнала «Электроники ВМ-12» // Радиоаматор. – 2008. – №6. – С.16–17.

Распродажа SIM и micro SD карт-держателей производства компании Molex

Компания СЭА проводит распродажу высококачественных и популярных SIM и micro SD карт-держателей от Molex.

Внимание! Количество акционного товара – ограничено.

Один из самых популярных разъемов SIM-карт держатель 470230001 – от Molex

Компания СЭА предлагает со склада SIM-карты держатель 470230001 с открывающейся крышкой производства компании Molex. Данный разъем предназначен для систем охранной и пожарной безопасности, GPS навигаторов, вендинговых автоматов и т.д.



Цена – 4,8 грн с НДС

Технические характеристики:

- Напряжение, макс: 5 В
- Ток: 10 мА на контакт
- Рабочая температура – от -40 до +85 °C
- Покрытие контакта: золото
- Долговечность: до 3000 циклов

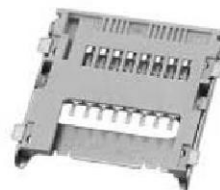
Micro SD (Trans Flash) держатель 5009010801 с открывающейся крышкой – от Molex

Разъем отлично подходит для миниатюрных приложений, для офисной и бытовой техники, систем безопасности, автомобильных приложений и т.д.

Цена 10,8 грн с НДС

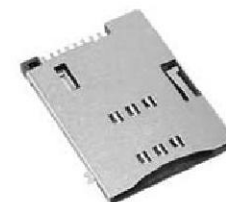
Технические характеристики:

- Напряжение, макс: 10 В
- Ток: 0.5 А – на контакт
- Рабочая температура – от -25 до +85 °C
- Покрытие контакта: золото
- Долговечность: до 1000 циклов



Самый популярный в мире SIM-карты держатель 475530001 типа Push-Push от Molex

Данный разъем используется в приложениях, к которым ограничен доступ вовнутрь, например, для GPS навигаторов, GSM сигнализаций и т.д.



Цена – 8,4 грн с НДС

Технические характеристики:

- Напряжение, макс: 50 В
- Ток: 0,5 А макс
- Рабочая температура – от -30 до +85 °C
- Материал контакта: 15 μ'', золото
- Долговечность: до 2500 циклов

За дополнительной информацией обращайтесь в офис официального дистрибутора Molex в Украине – компанию СЭА по тел.: (044) 291-00-41 e-mail: info@sea.com.ua



Применение шумомера в быту

Андрей Кашкаров, г. Санкт-Петербург

аудио-видео

Согласно статистике около 80% жителей мегаполиса живут в зоне с опасным для здоровья уровнем шума. Чтобы проверить это, мною был приобретен детектор акустического шума DVM401, с помощью которого были проведены замеры акустического фона в разных ситуациях.

Итак, начну с общезвестных фактов. Допустимый уровень шума регламентируется нормативными документами: ГОСТ 12.1.003-83. ССБТ «Шум. Общие требования безопасности», СН 2.2.4/2.1.8.562-96 «Шум на рабочих местах, в помещениях жилых, общественных зданий и на территории жилой застройки».

В этих нормативных документах указывается, что максимально допустимые уровни звука больше общепринятой нормы комфорта на 15 дБ. Например, для жилых комнат квартир допустимый постоянный уровень звука в дневное время составляет 40 дБ (в ночное время – 30), а временный максимальный уровень днем – 55.

Измеритель уровня шума DVM401

Такой измеритель (далее – шумомер) можно использовать для профессиональной деятельности: для определения шума в школах, детских садах, офисах в аэропортах, для проверки акустического фона в аудиториях, студиях, Hi-Fi аппаратуры.

Комплект поставки шумомера показан на **рис.1**.

Технические характеристики:

1. Минимальный уровень шума, определяемый прибором, 0,1 дБ.
2. Пределы измерения уровня шума:
диапазон LO=35 ~100 дБ;
диапазон HI=65 ~130 дБ (частотная характеристика А или С).
3. Точность ±3,5 дБ при постоянном уровне



Рис.1



шума 94 дБ, частота 1 кГц при синусоидальной волне.

4. Датчик звука – встроенный электретный конденсаторный микрофон с фильтрующей насадкой.

Подобные характеристики имеет прибор аналогичного назначения отечественного производства «Алгоритм-01».

Быстрое реагирование прибора (время измерения 1,5 с) в соответствии с выбранным диапазоном (A-C) идеально подходит для измерения коротких звуковых и пиковых значений. Как показала практика измерений, сильный ветер (>10 м/с) влияет на точность измерения шумового фона.

В **таблице** приведены уровни шума, измеренные прибором DVM401 в разных ситуациях.

Практическое использование шумомера

Мною произведены замеры акустического фона во время работы стиральной машины Brandt WT 128 DSE. Время работы в режиме теста: 1 ч 35 мин.

Результаты тестирования в ванной комнате: во время работы стиральной машины акустический фон (шум) составляет в режиме «стирка» 12 дБ, в режиме «отжим» (1000 об/мин) 19 дБ. В режиме отжима на максимальных оборотах (1200 об/мин) уровень шума зафиксирован на отметке 20 дБ. На этом основании можно с уверенностью утверждать, что данная стиральная машина конструктивно вполне сбалансирована и правильно (без перекосов) установлена.

Разумеется, чем тише работает тот или иной источник звука, тем лучше. Но все же от некоторых шумов можно избавиться, только переместившись из Санкт-Петербурга в тихий деревенский дом на удаленном хуторе. Закрывшись в таких условиях в комнате, я ощущал только «звенящую в ушах» тишину, а шумомер показывал значение 0,1 дБ.

Тем не менее, по существующим нормам, в обычной комнате городской квартиры установлен максимально допустимый фоновый уровень 40 дБ (без



нарушения комфорта). Однако, если в течение дня данный уровень фона в помещении фиксируется часто, то человек чувствует себя некомфортно.

Но по нормам, вредным для здоровья человека, звуковым окружением считается уровень шума в помещении более 70 дБ в течение 8 ч и более.

Примеры источников с разным уровнем звукового давления:

20...30 дБ – тихий сад, тиканье часов, дождь средней силы, порыв ветра;

40 дБ – тихая городская квартира, шелест бумаги на расстоянии в 1 м;

50 дБ – работа холодильника, разговор на расстоянии в 1 м;

55 дБ – офис, работа кондиционера;

60 дБ – звонок будильника, радио и телевизоры, включенные с обычной громкостью;

64 дБ – стиральная машина Samsung S821, клавиатура компьютера;

67 дБ – сушилка для волос, акустический «фон» в переполненном ресторане;

69 дБ – посудомоечная машина, полировщик полов;

70 дБ – громкий разговор, шумная улица, радио и телевизоры, включенные на громкость больше средней;

72 дБ – пылесос Samsung мощностью 1600 Вт на расстоянии 1 м;

78 дБ – телефонный звонок (трель);

80 дБ – проезжающие грузовые автомобили, шумный холл или мастерская, топот на расстоянии в 1 м;

90 дБ – проезжающий трамвай, пневматический молот, автомобильная сирена на расстоянии в 1 м;

95 дБ – очень громкая дискотека, циркулярная пила;

100 дБ – мотоцикл без глушителя.

При воздействии высокого уровня шума (более 140 дБ) возможен разрыв барабанных перепонок и легких, контузия, а при более высоком уровне (более 160 дБ) летальный исход.

Уровень шума (макс. значение)	Динамичность изменения звукового давления	Время московское	Место	Примечания
50	Постоянное	13.30	Застекленная лоджия, 5 этаж городская застройка	
7,2	Постоянное	22.30	Застекленная лоджия, 5 этаж городская застройка	Измерения на расстоянии 2 м от включенного ноутбука
10,9	Изменяющееся	22.30	Застекленная лоджия, 5 этаж городская застройка	То же при включении кулера (вентилятора охлаждения) в ноутбуке
16,8	Постоянное	15.00	Открытая лоджия, 5 этаж городская застройка, вид во двор 14-ти этажного жилого дома	
56/65,4	Динамично изменяющееся	15.35	Стиральная машина	При заливе воды/вращении барабана во время стирки
71,2		16.10		При отжиме 1000 об/мин
25,2	Постоянное	19.10	Жилая комната (детская)	Без плача
58,6	Постоянное	19.47		Ребенок громко плачет
Более 140	Импульс	18.30	Выстрел на охоте из ружья МЦ-20-01	На расстоянии 1 м от шумометра
67,2	Постоянное	12.40	Набережная Невы (у льда)	День
37,4	Постоянное	00.10	Набережная Невы (у льда)	Ночь
42,1	Постоянное	16.40	Тихая погода парк	
40	Постоянное	02.20 (ночь)	Оживленная городская автомагистраль	
79,8	Постоянное	13.10		
45	Динамично изменяющееся	14.20	Двор жилого дома, детская площадка	С учетом криков детворы
Шумовой фон данным прибором не определяется	Постоянное	Почти все время	Хутор в Вологодской области	На улице
14,2				В хлеве блеяние коз, возня животных
Менее 10				В жилой избе, при работе компьютера и вентилятора
130	Постоянное	Срабатывание автосигнализации и «Аллигатор»	Санкт-Петербург	В 2 м от шумометра



Особенности гарнитур с совмещенным штыревым разъемом 3,5 мм

Николай Петренко, г. Киев

Гарнитуры, о которых рассказано в этой статье, предназначены для использования с мобильными телефонами и некоторыми нетбуками, а может и с иной аппаратурой. К сожалению, какого-либо всеобъемлющего стандарта на эти изделия нет. Поэтому не все они взаимозаменяемы. В этом могли убедиться на личном опыте некоторые наши читатели. Эта статья – ответ на вопрос одного из них.

Гарнитуры, о которых пойдет речь в этой статье, стереофонические. Точнее, они имеют стереофонические головные телефоны и монофонический микрофон. Они рассчитаны для работы с некоторыми мобильными телефонами и нетбуками. Эти гарнитуры имеют один (совмещенный) штыревой разъем диаметром 3,5 мм (см. **фото**), как для наушников, так и для микрофона.

Интересно, что практически все мобильные телефоны, имеющие MP-3 проигрыватели и радиоприемники, комплектуются гарнитурой, а нетбуки нет. Более того, нетбук Samsung NP-N100S-N03RU, имея на «борту» встроенную видеокамеру, не имеет встроенного микрофона, хотя на многих сайтах фирм, продающих эти нетбуки, ошибочно указано, что микрофон есть (см., например, сайт сети магазинов «Фокстрот» [1]). Это говорит, в первую очередь, о квалификации сотрудников фирмы «Фокстрот». Кстати, ни один из продавцов-консультантов ближайшего магазина этой фирмы и магазина другой подобной сети «Эльдорадо» не смогли внятно объяснить, какую гарнитуру надо использовать с этим ноутбуком или как иначе с его помощью говорить по «Скайпу» (Skype). Ответ специалистов звучал приблизительно одинаково: «Ищите в нетбуке встроенный микрофон, камера ведь есть». Кроме того, не у продавцов-консультантов, не на сайте производителя не удалось даже узнать, какой конкретно разъем должна иметь гарнитура к этому аппарату. Вся информация сводится к очевидному: совмещенный (микрофон + телефоны) штыревой аудиоразъем диаметром 3,5 мм (1/8 дюйма) и все. Нет информации не только о его распайке, но даже о количестве контактов (колец).

Поскольку в нетбуке NP-N100S-N03RU фирмы Samsung микрофона все-таки нет, автор попробовал подключить к нетбуку стереогарнитуру от мобильного телефона NOKIA 5130c (RM-495). Она как раз имеет штыревой аудиоразъем диаметром 3,5 мм с четырьмя контактами. Головные телефоны заработали нормально, а микрофон нет.

Методом прозвонки, без разборки гарнитуры, удалось определить цоколевку разъема. Сопро-



тивление каждого из головных телефонов около 35 Ом. Микрофон практически не прозванивается. Видимо, потому что он электретный. Скорее всего, в микрофонный капсюль гарнитуры встроен полевой транзистор и используется двухпроводное подключение капсюля. Учитывая все это, была составлена принципиальная схема гарнитуры от NOKIA 5130c (**рис.1**). Кнопка S1 в режиме приема FM станций на приемник мобильника обеспечивает поочередное переключение ранее настроенных станций, при разговоре позволяет блокировать сигнал от микрофона, а при прослушивании радиостанции или аудиозаписи «поднимает трубку» при входящем звонке. Замечу, что для питания усилительного каскада на полевом транзисторе на его стоке с телефона или компьютера должно подаваться постоянное напряжение +2...+3.5 В. В устройстве, к которому подключается электретный микрофон, должен быть установлен резистор нагрузки между плюсом источника и стоком транзистора.

Все же на радиорынке была приобретена стереогарнитура RP-TCM120 фирмы Panasonic с точно таким же разъемом, которая чудесно заработала совместно с нетбуком NP-N100S-N03RU, но ее микрофон ни как не хотел работать с телефоном NOKIA.

Гарнитура схемой не комплектуется, поэтому автор начертил ее сам (**рис.2**), прозвонив разъем. Несложно заметить, что обе гарнитуры отличаются распайкой только двух выводов. Сделано это затем, чтобы ограничить возможность использования совместно с изделиями одной фирмы аксессуаров ближайших конкурентов. Думаю, что

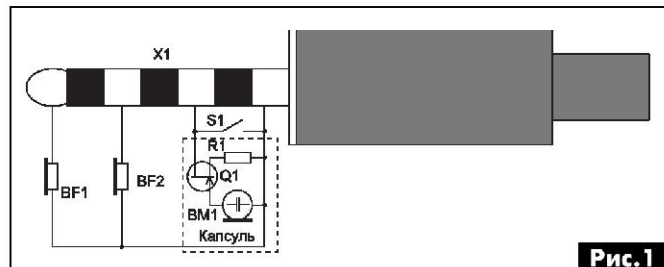


Рис.1



любой из пользователей, умеющий паять, легко «нарушит», при необходимости, это рыночное табу, используя информацию, приведенную выше.

Ссылки

1. <http://www.foxtrot.com.ua> – сайт сети магазинов «Фокстрот».

Приемник-детектор ВЧ излучений

Василий Мельничук (UR5YW), г. Черновцы

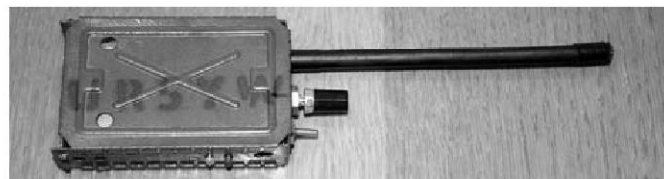
У радиолюбителей, и не только у них, иногда возникает необходимость проверки наличия в помещении передающих ВЧ устройств и обнаружения их местоположения. В этом может помочь простейший приемник-детектор ВЧ излучений, схема и описание которого приведены в этой статье. Он был изготовлен автором практически из подручных (абсолютно недефицитных) деталей. Устройство простое и может быть собрано за один вечер.

Схема устройства показана на **рис.1**. Устройство состоит из самого детектора с удвоением выходного напряжения на германиевых ВЧ диодах VD1 и VD2, компаратора на операционном усилителе DA1 типа KP140УД1208 (УД1208), стабилизаторов опорных напряжений на стабилитроне VD3 и диоде VD4, а также интегрального стабилизатора 5 В типа ST78L05. Сразу заметим, что решение стабилизировать напряжение питания пришло в процессе эксплуатации, так как по мере разряда батареи питания GB1 «уплывал» порог срабатывания компаратора DA1.

Для увеличения чувствительности устройства диоды детектора VD1 и VD2 слегка открыты небольшим прямым током через резистор R1.

Порог срабатывания (переключения) компаратора устанавливают потенциометром R2.

К выходу компаратора DA1 через эмиттерный повторитель на транзисторе VT1 подключен све-



тодиод VD6 для световой индикации и пьезоизлучатель Q1 с внутренним генератором для звуковой индикации.

Устройство (см. **фото**) собрано в корпусе от селектора каналов дециметрового диапазона СКД-24, разные модификации которого можно отыскать в старых отечественных телевизорах.

Остановимся на деталях: транзистор VT1 структуры n-p-n маломощный. Операционный усилитель DA1 любой другой, способный работать при напряжении питания от 6 В. Диоды VD1 и VD2 ВЧ германиевые, от них зависит верхняя граница чувствительности прибора. Стабилитрон VD3 на напряжение стабилизации 3...4 В, например, KC130, KC133, KC139, KC433, KC439. Светодиод индикатора включения VD5 зеленого цвета с падением напряжения 2...2,5 В. Антenna изготовлена из отрезка коаксиального кабеля длиной 100 мм. Питается устройство от батареи типа «Крона».

Настройка. После проверки правильности монтажа, подключаем питание и измеряем указанные на схеме напряжения. Резистором R2 выставляем порог, при котором гаснет светодиод VD6.

Изготовленный ВЧ детектор реагирует на работающий мобильный телефон с двух метров в режиме разговора и с четырех метров в режиме набора номера, а на переносную УКВ ЧМ радиостанцию (145 МГц, 1 Вт) с расстояния 5...7 метров. Ток потребления от батареи в режиме ожидания 14 мА, а в режиме индикации 20 мА.

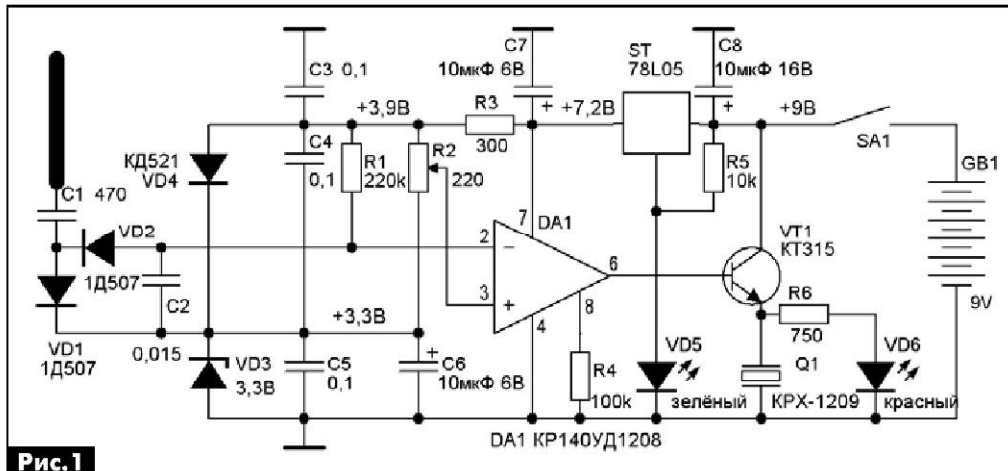


Рис.1

Конвертер команд пульта ДУ DRE для управления ресивером «Openbox-Sx»

Александр Данилин, Брянской обл.

Многим из нас знакома ситуация, когда необходимо подобрать пульт дистанционного управления (ДУ) для какого-либо устройства. Существует несколько путей решения этой проблемы. Один из них для конкретной ситуации рассмотрен в этой статье. В ней описан конвертер команд, выдаваемых пультом ДУ. С его помощью ресиверами Openbox-Sx можно управлять дешевым пультом от ресивера DRE («Триколор»).

Став счастливым обладателем ресивера Openbox-S1, я столкнулся с тем, что приобрести пульт для этих ресиверов у нас довольно проблематично. В сети Интернет было найдено несколько магазинов, предлагающие такие пульты, но стоимость пульта с доставкой превышала 25 дол. (более 750 руб.). Откровенно говоря, было жалко платить такие деньги за копеечную вещь. Поэтому я решил «научить» свой ресивер «понимать» другой тип пультов, более распространенный и дешевый.

Выбор пал на пульт ДУ для ресиверов DRE (производитель General Satellite), который довольно удобный, распространенный и при этом дешевый (примерно 5–6 дол.). Было решено сделать конвертер на микроконтроллере (МК).

Задача поставлена, теперь необходимо понять, в каком из стандартов работает пульт ДУ ресивера Openbox-Sx. Вооружившись цифровым осциллографом, я провел исследование сигналов, выдаваемых пультом этого ресивера. В полученных осциллограммах я довольно быстро узнал весьма популярный стандарт NEC. Правда, с небольшим отличием в поле «адрес».

Краткое описание формата сигналов ДУ NEC

Для передачи команд используется несущая частота 36 кГц. Посылка (рис.1) состоит из стартового импульса (9 мс) и четырех байтов данных:

- адрес;
- инвертированное значение адреса;
- команда;
- инвертированное значение команды.

Адрес и команда передаются дважды для повышения надежности передачи данных.

Все данные передаются, начиная с младшего

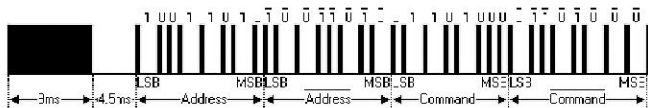


Рис.1



бита («младшим битом вперед»). Каждый бит начинается с пачки импульсов несущей частоты длительностью 560 мкс. Кодирование нулей и единиц осуществляется изменением временного интервала между пачками импульсов: при передаче логической единицы интервал от начала текущей до начала следующей пачки импульсов составляет 2250 мкс, а при передаче логического нуля – 1120 мкс.

Схема конвертера

Для реализации конвертера был выбран МК типа Attiny13A компании ATMEIL. Он очень маленький (8 выводов), дешевый и весьма распространенный.

Схема устройства проста (рис.2). Для правильного запуска необходим резистор R2 4,7...15 кОм, подающий положительное напряжение на вход сброса (вывод 1). Сигнал от ИК-приемника поступает на вывод 6 МК через токоограничивающий резистор R1 сопротивлением 220...680 Ом. Преобразованные данные снимаются на процессор управления ресивера в понятном для него формате с вывода 5 МК также через токоограничивающий резистор сопротивлением 220...680 Ом с позиционным номером R3.

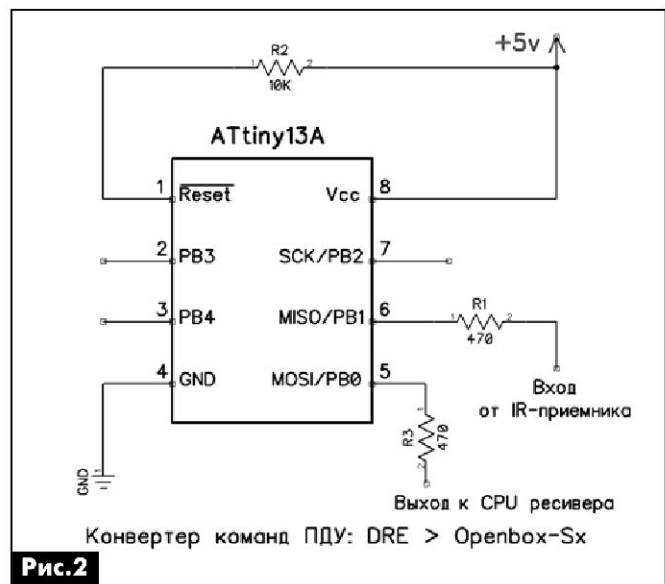


Рис.2



Заметим, что сопротивление резисторов R2 и R3 некритично, так как они выполняют защитные функции.

Принцип работы конвертера

Конвертер устанавливается в разрыв между ИК-приемником и центральным процессором спутникового ресивера. МК конвертера анализирует все принимаемые ИК-приемником данные, преобразует их в формат ресивера Openbox-Sx и выдает на центральный процессор ресивера. Так как памяти у микроконтроллера Attiny13A всего 1 КБ, то в программе пришлось отказаться от полной совместимости с фирменным пультом этого ресивера. Были реализованы только часто используемые функции пульта: изменение громкости (все четыре кнопки), переключение каналов (все четыре кнопки), все цифровые (0–9), включения и отключения питания ресивера, EPG и временного отключения звука (Mute).

Алгоритм работы конвертера таков: все получаемые данные проверяются по адресу пульта. Если данные от пульта DRE, то запускается процедура преобразования данных в формат, принятый в ресивере Openbox-Sx. В ином случае принятые данные транслируются без преобразования. Таким образом, остается возможность использовать фирменный пульт ДУ. Обращаю внимание на такой факт: в программе конвертера нет анализа длительного нажатия кнопки пульта, так как не хватило памяти МК для реализации этой возможности. Из-за этого приходится несколько раз нажимать кнопку на пульте для изменения громкости.

Установка конвертера в спутниковый ресивер

Процесс установки конвертера в ресивер весьма прост. Необходимо найти ИК-приемник, он расположен на маленькой плате, установленной на передней панели спутникового ресивера. У него три вывода: вывод питания 5 В, общий и выход данных. Вот именно этот (последний) вывод нас и интересует. Необходимо сделать разрыв между этим выводом и разъемом, соединяющим плату ИК-приемника с центральной платой ресивера. Для ресивера Openbox-S1 достаточно выпаять перемычку (резистор с нулевым сопротивлением), на плате он помечен как JN15. К верхнему контакту подключается вход данного конвертера, а к нижнему контакту – выход. Питание для работы МК можно взять непосредственно с выводов ИК-приемника или с конденсатора, расположенного немного правее и ниже ИК-приемника (над надписью JN13). Я не изготавливал печатную плату, использовал микроконтроллер в компактном корпусе SOIC-8 (SOP-8) и весь монтаж выполнил объемно, используя для этого выводы резисторов. Для фиксации корпуса МК на плате индикации ресивера удобно использовать двухсторонний скотч или



Рис.3

небольшое количество термоклея. В итоге я получил следующее (рис.3).

Загрузка программы в память МК. Установка fuses

Процесс загрузки программы в память МК описывать не буду – в доступной литературе и сети Интернет этой информации предостаточно. Хочу обратить внимание на то, что после загрузки «прошивки» необходимо изменить фузы данного МК (тактовую частоту МК на 9,6 МГц). Для этого необходимо изменить режим работы предделителя тактовой частоты МК, инвертировать бит CKDIV8. Все остальные установки изменять не надо. Настройка fuses в программе AVRDUDE GUI показана на рис.4.

Программа написана в компиляторе BASCOM-AVR. Flash-память МК занята полностью, поэтому что-либо добавить в программу уже невозможно. При анализе исходного текста программы прошу не удивляться моим программным выкрутасам: памяти не хватало, приходилось максимально экономить.

Файлы исходного текста программы и прошивки (HEX) можно скачать с сайта издательства «Радиоаматор» [1].

Ссылки

1. <http://www.ra-publish.com.ua> – сайт издательства «Радиоаматор».

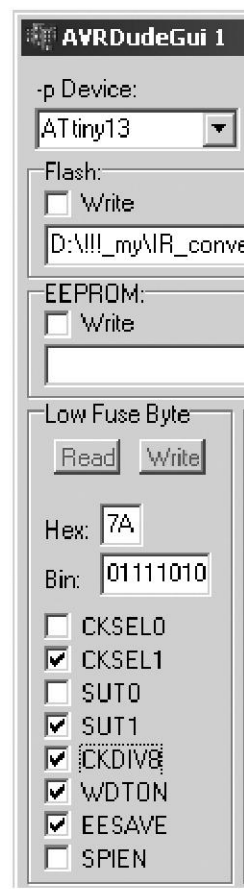


Рис.4

Компания «МАСТЕР КИТ» подвела итоги конкурса конструкций водной системы с применением электромагнитных клапанов «МАСТЕР КИТ».
Предлагаем вниманию читателей статью победителя этого конкурса.

Система автоматического полива огорода за полчаса

Александр Тузов, г. Москва

В своем проекте автор решил применить электромагнитный клапан NT8048 с рабочим напряжением 12 В. Это вызвано двумя соображениями. Во-первых, электробезопасностью, а во-вторых, желанием в дальнейшем питать систему не только от сети переменного тока 220 В, но и использовать автономное питание от аккумуляторной батареи напряжением 12 В, емкостью 15 А·ч, заряда которого должно хватить на работу в течение не менее недели.

Система подключается к отводу от водопровода на дачном участке. Для ее питания используется свободная электрическая розетка. Желательно запитать эту розетку кабелем, идущим непосредственно от распределительного щитка, и поставить в эту цепь автомат защиты на небольшой ток срабатывания.

Материалы и инструмент:

- электромагнитный клапан NT8048 на рабочее напряжение 12 В;
- электронный розеточный таймер;
- сетевой адаптер с выходным напряжением 12 В и током 0,5...3 А;
- двухжильный электрический кабель, длина которого зависит от места расположения розетки, клапана и трассировки кабеля;
- переходник с резьбы 1/2 дюйма на систему подключения садовых шлангов Gardena;
- шланг подвода воды от магистрали с гайкой 1/2 дюйма на конце;
- клеммы обжимные;
- садовая «вертушка»-распылитель воды;
- отрезки термоусадочной трубы;
- инструмент: паяльник, пассатижи, кусачки, клеммы;
- тестер.

Монтаж системы

Отмеряем от бухты кабеля отрезок кабеля нужной длины (у меня получилось 10 м) и зачищаем провода на одном его конце. У сетевого адаптера удаляем (откусываем кусачками) разъем от его низковольтного выхода. Зачищаем проводники выходного кабеля адаптера. Надеваем на них отрезки термоусадочной трубы и соединяем провода сетевого адаптера и кабеля. Пропаиваем соединения и

натягиваем на них надетые ранее термоусадочные трубы (**фото 1**), которые следует нагреть для их усадки. Затем зачищаем второй конец кабеля, обжимаем на его проводах клеммы (**фото 2**) и собираем всю электрическую цепь (**фото 3**).

Теперь необходимо с входного и выходного отверстий клапана снять защитные колпачки и подсоединить к резьбе входного отверстия подводящий шланг (**фото 4**), предварительно убедившись, что внутри гайки подводящего шланга установлена резиновая прокладка.

К выходному отверстию клапана следует привинтить переходник для подключения садового шланга (**фото 5**). Гайки на клапане должны быть завинчены как можно туже.

Система практически готова. Осталось разместить клапан со шлангами в удобном для нас месте (например, в подсобном помещении, куда

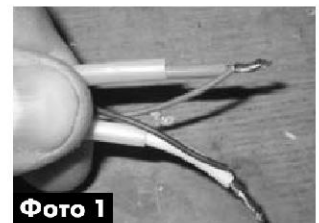


Фото 1



Фото 2



Фото 3



Фото 4



Фото 5

можно подвести воду и электрическую розетку), надеть садовый шланг на переходник клапана, проложить шланг по участку, подвести его конец к месту полива и присоединить к нему разбрызыватель, включить таймер в электрическую розетку.

По инструкции, приложенной к таймеру, устанавливаем время включения и выключения полива. Имеет смысл поливать грядки рано утром (например, в 6:00) и вечером (21:00). Продолжительность полива следует определить экспериментально, а пока установим по 30 мин.

Преимущества данной системы: простота и дешевизна.

Недостатки:

- питание от электросети 220 В;
- полив происходит всегда, не учитывая погоду (и в дождь, и в солнце);
- таймер может управлять только одним клапаном, что не позволяет поливать разные растения по-разному.

Со всеми этими и другими недостатками будем бороться в новых версиях своей системы.

В заключение заметим, что существуют готовый 4-канальный таймер MP350 для водных систем и электромагнитные клапаны NT8078 (12 В, 24 В, 220 В) для горячей воды и NT8048 (12 В, 24 В, 220 В) для холодной воды.

Более подробно ознакомиться с ассортиментом нашей продукции можно с помощью каталога «МАСТЕР КИТ» и на нашем сайте WWW.MASTERKIT.RU, где представлено много полезной информации по электронным наборам и модулям «МАСТЕР КИТ», а также приведены адреса магазинов, где их можно купить.

Описания готовых устройств «МАСТЕР КИТ» приведены на сайте GADGETS.MASTERKIT.RU, а детские электронные конструкторы – на сайте WWW.CHUDOKIT.RU.

Продажа в Украине осуществляется через посылторг «Радиоаматор»: тел.: (044) 291-00-31, (067) 796-19-53 и (050) 187-62-20.

Наборы и модули «МАСТЕР КИТ» и журналы «Радиоаматор» можно купить в магазинах радиодеталей вашего города.

АНОНС НОВИНКА «МАСТЕР КИТ»

NT8078 DC12V (горячий) – электромагнитный водопроводный клапан (130°C, 12 В постоянное напряжение)

Электромагнитный клапан предназначен для включения или выключения подачи жидкости в трубопроводе.

Номинальное напряжение питания	+12 В
Разброс напряжения питания от номинального	±10%
Мощность катушки	5 Вт
Сопротивление изоляции при DC500В	>100 МОм
Состояние клапана при отсутствии питания	НЗ
Материал корпуса	металл
Рабочее давление	0,1...0,8 МПа
Пропускная способность клапана (при 0,8 МПа)	25 л/мин
Кратковременное максимальное давление	1,2 МПа
Диаметр подводки	1/2 дюйм
Рабочая температура жидкости	0...130°C
Габариты клапана	75,4x90,3 мм

Широкое применение клапан может найти в системах «умный дом» (например, в составе BM8039D), домашней автоматике, дачных бассейнах, системах автоматического полива, аквариумах и т.п.



NT8078 DC24V (горячий) – электромагнитный водопроводный клапан (130°C, 24 В постоянное напряжение)

Номинальное напряжение питания +24 В

NT8078 AC220V – электромагнитный водопроводный клапан (130°C, 220 В переменное напряжение)

Номинальное напряжение питания ~220 В

Современная бюджетная измерительная лаборатория (на базе USB-модулей MP732, MP731 и MP730 от «МАСТЕР КИТ»)

А. Каменский, г. Зеленоград

(Окончание. Начало см. в РА 11/2012)

Усилители каналов этой приставки выполнены по неинвертирующей схеме на операционных усилителях D1 и D2, в качестве которых использованы микросхемы OPA364AIDBVТ, имеющие rail-to-rail входы и выходы. При усилении в 11 раз становится возможно наблюдение сигналов амплитудами от 2 до 700 мВ. Коэффициент усиления может быть изменен в широких пределах подбором номиналов резисторов.

Внешний вид приставки-усилителя для MP730 показан на **рис. 10**, топология двухсторонней печатной платы приставки – на **рис. 11**, а монтажный чертеж – на **рис. 12**.

При желании, можно собрать схему смещения уровня для работы с отрицательными напряжения-

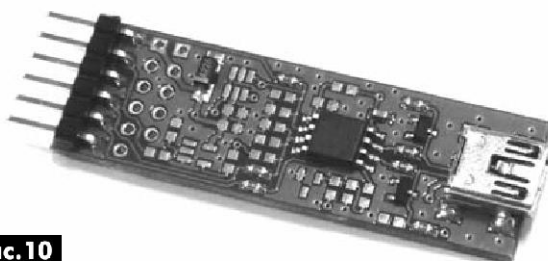


Рис.10

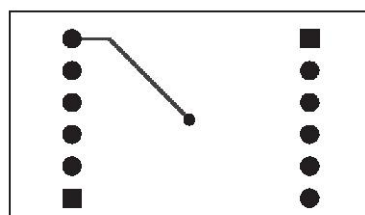
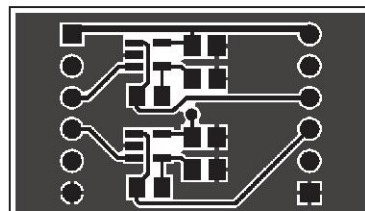


Рис.11

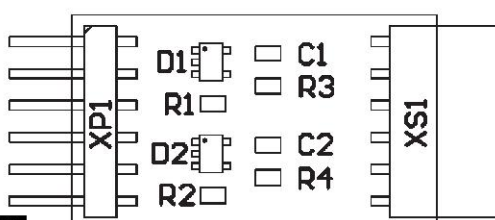


Рис.12

ми. В этом случае потребуется инвертор напряжения.

Как работает домашняя лаборатория (версия программы v.1.2.2)

«Домашняя лаборатория» – это программно-аппаратный комплекс, состоящий из недорогих USB устройств и единой интерактивной оболочки. С помощью нее можно организовать многофункциональный измерительный центр на основе персонального компьютера.

С устройствами распространяется пакет «Домашняя лаборатория.zip», который включает в себя:

- подробное описание принципов работы с USB устройствами, входящими в «Домашнюю лабораторию»;
- исполняемый файл интерактивной оболочки;
- данную инструкцию по применению интерактивной оболочки;
- исходные коды варианта реализации интерактивной оболочки.

Объем предоставляемой информации достаточен для самостоятельной разработки собственного программного обеспечения с необходимой функциональностью.

Работа в среде «Домашняя лаборатория»

«Домашняя лаборатория» является единой рабочей средой, предназначеннной для управления устройствами MP730, MP731 и MP732.

Для начала работы со средой необходимо запустить исполняемый файл «Домашняя лаборатория».exe. «Домашняя лаборатория» запускается в единственном окне (см. **рис. 13**) и выглядит следующим образом:

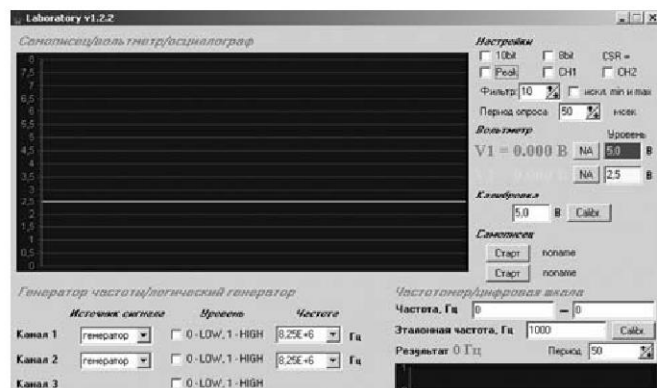


Рис.13



- Окно разделено на рабочие области устройств. В левом верхнем углу – рабочая область MP730. В левом нижнем углу – рабочая область MP731. В правом нижнем углу – рабочая область MP732.

- При подключении любого устройства его название, расположенное в верхней части рабочей области, изменит цвет с красного на зеленый; при отключении – с зеленого на красный.

Работа с самописцем (рис.14 и рис.15)

Рабочая область самописца разделена на подобласти:

- осциллограф;
- настроек;
- вольтметра;
- калибровки;
- управления записью на жесткий диск.

Подобласть осциллограф

В этой подобласти отображаются осциллографы сигналов, полученных при оцифровке в соответствии с настройками самописца.

Подобласть настроек

В подобласти настроек содержатся чекбоксы, с помощью которых возможно задать параметры работы устройства:

- 8-bit/10-bit – разрядность выходных данных АЦП;
- peak – выбор режима пикового детектора;
- ch1/ch2 – выбор канала в режиме 10bit+peak.

Режим пикового детектора позволяет отслеживать наличие всплесков напряжений. В

10-битном режиме только один канал может быть активным.

Для фильтра вольтметра, который работает по принципу арифметического усреднения N-выборок, количество используемых выборок может быть задано в пределах от 3 до 100. Кроме того, возможно исключить использование минимального и максимального значений при расчетах.

Интервал опроса каналов задается в миллисекундах. Точность отработки интервала программой зависит от операционной системы.

Подобласть вольтметра

В подобласти вольтметра отображаются текущие значения напряжений на входах прибора до второго знака после запятой в 8-битном режиме и до третьего знака в 10-битном. В 10-битном режиме при активированном пиковом детекторе значение неактивного канала отображается как «NA».

Дополнительно можно задать два опорных уровня, которые будут обозначены синей и желтой линиями в подобласти осциллографа.

Кнопками, расположеннымными между значениями напряжений и уровнями, можно активизировать звуковые оповещения. Кнопки имеют следующие состояния: «NA» – оповещения неактивны, «>» – оповещение при превышении входного напряжения значения опорного уровня, «<» – оповещение при входном напряжении ниже значения опорного уровня.

Подобласть калибровки

Для калибровки коэффициента усиления аналоговых каналов необходимо подключить к устройству источник опорного напряжения и задать величину напряжения. При вводе значений в качестве дробного делителя используется запятая.

В случае неверного формата вводимых данных они будут подсвечены красным цветом.

Для запуска процесса необходимо нажать кнопку «Calibr». Калибровка будет успешной, если измеренное и эталонное значения отличаются не более чем на 25%.

Подобласть управления записью на жесткий диск

Для начала записи информации на жесткий диск необходимо нажать кнопку «Старт» (верхняя – для MP730, нижняя – для MP732), при этом вместо «попаме» отобразится имя записываемого файла (зеленый цвет – идет запись) в формате CSV: ddmmuyyhhmmss.csv, где ddmmuyy – текущая дата (день, месяц, год) на момент старта (для MP732 в начале файла идет буква «f»), а hhmmss – текущее время (часы, минуты, секунды). Формат записываемых данных зависит от



Рис.14



Рис.15

настроек устройства и выглядит следующим образом:

- ddmmYYYY;hhmmssTTT;ch1_val1;ch1_val2;ch1_k;ch2_val1;ch2_val2, ch2_k // 8-битный режим;
- ddmmYYYY;hhmmssTTT;ch1_val;ch1_k;ch2_val;ch2_k // 10-битный режим ddmmYYYY;
- hhmmssTTT;chN_val1;chN_val2;chN_k // 10-битный режим с пиковым детектором, где N – номер активного канала, ddmmYYYY – текущая дата (день, месяц, год) на момент старта, а hhmmssTTT – текущее время (часы, минуты, секунды, миллисекунды); ch1_val1, ch1_val2, ch2_val1, ch2_val2, ch1_val, ch2_val – значения измеренных напряжений; ch1_k и ch2_k – значения калибровочных коэффициентов.

В режиме пикового детектора одной выборке соответствуют две ячейки, которые содержат минимальное (chN_val1 и chN_val) и максимальное (chN_val2) значения на интервале измерения.

Для MP732 отсутствует режим пикового детектора.

Формат записываемых данных для MP732 выглядит следующим образом:

ddmmYYYY;hhmmssTTT;freq;in, где ddmmYYYY – текущая дата (день, месяц, год) на момент старта, а hhmmssTTT – текущее время (часы, минуты, секунды, миллисекунды); freq – текущее значение частоты; in – значение логического входа.

Работа с генератором

Внешний вид виртуального окна генератора показан на **рис.16**.

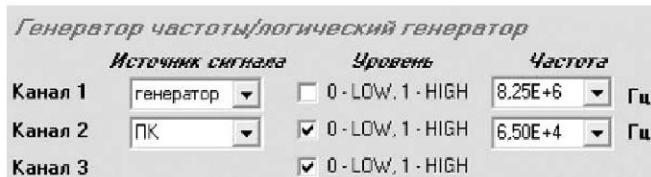


Рис.16

Рабочая область окна генератора поделена на подобласти:

- источника сигнала;
- задания уровня;
- задания частоты.

Подобласть источника сигнала

Она предназначена для выбора источника сигнала, в качестве которого может использоваться встроенный генератор или персональный компьютер (ПК).

Подобласть задания уровня

В этой подобласти возможно задать логический уровень на выходе, если он настроен на ПК в качестве источника сигнала.

Подобласть задания частоты

В подобласти задания частоты для первого и

второго каналов в режиме генератора можно выбрать частоту. Она отображается в Гц в экспоненциальном формате:

$$X,XXE+N = X,XX \cdot 10^N$$

Работа с частотомером

Внешний вид виртуального окна частотомера показан на **рис.17**.

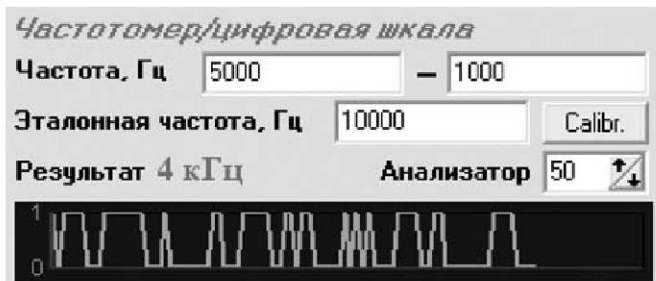


Рис.17

Рабочая область окна частотомера поделена на подобласти:

- измеренной и промежуточной частоты;
- калибровки;
- результата;
- цифрового анализатора.

Подобласть измеренной и промежуточной частоты

В подобласти измеренной частоты отображается текущее значение частоты Fизм в Гц, измеренное устройством без учета промежуточной частоты.

Поле задания промежуточной частоты располагается справа от знака «–». При вычислении результата значение промежуточной частоты будет вычитаться из измеренной.

Подобласть калибровки

В случае необходимости проведения калибровки следует подключить к устройству эталонный генератор, ввести значение его частоты (в Гц) и нажать кнопку «Calibr». В случае неверного формата вводимых данных они будут подсвечены красным цветом.

Калибровка будет успешной, если измеренное и введенное эталонное значения отличаются не более чем на 25%.

Подобласть результата

В подобласти результата отображается частота в Гц, кГц или МГц (выбирается автоматически), вычисленная по следующей формуле:

Грез=k*Fизм-Фпром, где k – калибровочный коэффициент, Fизм – измеренная частота, Фпром – промежуточная частота.

Подобласть цифрового анализатора

Интервал опроса может быть задан в миллисекундах. Точность отработки интервала програм-

мой зависит от операционной системы. Значение цифрового входа выводится в виде осциллографа.

Изменения в версии 1.2.2

- Добавлены настройки фильтра для MP730.
- Добавлена функция самописца для MP732.

Изменения в версии 1.1

1. Добавлены всплывающие подсказки на управляющие и управляемые элементы программы.

2. Добавлена возможность задания интервала опроса для MP730 и MP732.

3. Добавлены звуковые оповещения для MP730.

4. Изменено расположение подобластей MP732.

5. Изменен способ вывода информации о состоянии входа цифрового анализатора MP732.

QR-код Интернет-страницы «Домашней лаборатории» показан на **рис. 18**.

Более подробно ознакомиться с готовыми модулями MP730 USB, MP731 USB, MP732 USB частотомер, а также с полным ассортиментом нашей продукции можно на нашем сайте WWW.MASTERKIT.RU, где представлено много полезной информации по

электронным наборам и модулям «МАСТЕР КИТ», а также приведены адреса магазинов, где их можно купить.

Принимаем заказы на сайте с доставкой курьером или Почтой России.

Закажите в Москве по тел. (495) 741-65-70 или по бесплатному номеру 8-800-200-09-34 (обслуживается вся территория России, с 9:00 до 18:00 мск., кроме выходных).

Продажа в Украине: посыльторг «Радиоаматор», тел.: +38 (044) 291-00-31, (067) 796-19-53.

Готовые устройства «МАСТЕР КИТ» приведены на сайте GADGETS.MASTERKIT.RU. Детские электронные конструкторы – WWW.CHUDOKIT.RU.

Вопросы и консультации: +7 (495) 234-77-66, e-mail: infomk@masterkit.ru.

Спрашивайте электронные наборы и модули «МАСТЕР КИТ», а также журналы «Радиоаматор» в магазинах радиодеталей вашего города.



Рис.18

2013! Конкурс «МАСТЕР КИТ» «Умная теплица»

Задумаемся над такой проблемой: построив теплицу, мы используем её 3...4 мес. в году. Как продлить время её эксплуатации?

Ответ напрашивается сам собой. Конечно, с помощью обогрева. Вопрос в том, каким образом обогрев осуществить?

«Умная теплица» все должна делать сама, а в результате дачник будет иметь отличные урожаи овощей весь расширенный сезон весна-осень, с самых ранних сроков до заморозков.

Образцов создания и многообразия проектов и технологий постройки «умной теплицы» множество, но, в основном, это достаточно затратные проекты, и не каждый сможет себе позволить их осуществление.

Целью данного конкурса является создание бюджетной «Умной теплицы» и, конечно, популяризация модулей «Мастер КИТ».

Конкурсная задача

Создать доступную для повторения «Умную теплицу» с использованием модулей «Мастер КИТ». Использование наборов «Мастер КИТ» – это неизменное условие конкурса.

В проекте должны быть реализованы следующие функции: автополив, автоподогрев, автопропретивание, автоосвещение.

Статьи с описаниями конструкций победителей конкурса будут опубликованы в радиолюбительских журналах и на сайте www.masterkit.ru.

Для участия в конкурсе участник высылает фотографии и описание своей конструкции, понятное потенциальному читателям, на электронный адрес news@masterkit.ru. Приветствуется видеоролик (ссылка).

Участники конкурса, при необходимости, могут приобрести наборы и модули «Мастер КИТ» по специальной цене.

Призовой фонд:

1 место – сертификат* на 10 000 руб.

2 место – сертификат* на 5 000 руб.

3 место – сертификат* на 2 000 руб.

* Сертификаты дают право на приобретение электронных наборов и модулей, представленных на сайте www.masterkit.ru.

Начало конкурса **1 декабря 2012 г.**, окончание – **1 мая 2013 г.**. Подведение итогов и награждение победителей планируется на 15 мая 2013 г.

Устройство контроля трех аккумуляторов

Александр Корабельников, г. Севастополь

Это устройство было разработано для использования на катере, электрооборудование которого имеет три аккумуляторные батареи по 12 В. Устройство контролирует напряжение на каждом из этих аккумуляторов, а также их токи разряда и заряда во время подзарядки от ЗУ и выводит эти показания на жидкокристаллический индикатор (ЖКИ), а также выдает звуковой сигнал при разряде какого-либо аккумулятора ниже допустимого значения. Устройство можно применять с небольшими переделками или без них не только на катере, но и в автомобиле, на даче, в служебных помещениях, оборудованных аварийным электропитанием и т.д.

Катер, для которого изготавливалось устройство, имеет два дизельных двигателя. Каждый из них укомплектован стартовым аккумулятором. Кроме того, для внутреннего освещения, питания ходовых и стояночных огней, а также навигационного оборудования на катере установлен еще один аккумулятор, точнее, два, включенные параллельно.

Основными элементами устройства являются микроконтроллер (МК) типа PIC16F877A в корпусе DIP-40, двухстрочный ЖКИ AC162DGI LY75H-A и три датчика тока на эффекте Холла ACS754.

Алгоритм включения и индикации устройства

При включении устройства на экране ЖКИ появляется заставка: надпись «АККУМУЛЯТОРЫ» в верхней строке и адрес моей электронной почты в нижней строке. После заставки, в первой строке индицируются напряжения на всех аккумуляторах, а во второй в течение 15 с – токи заряда или разряда аккумуляторов (фото 1). Знак «+» означает, что происходит зарядка аккумулятора, а знак «–» означает, что он разряжается. Затем вторая строка на 5 с заменяется уровнями остаточного заряда аккумуляторов в процентах (фото 2).

При этом для кислотных аккумуляторов в устройстве использованы следующие оценочные уровни напряжения:

- 12,7 В – 100% заряд батареи;

- 12,6 В – 95%;

- 12,5 В – 90%;

- 10,7 В – 0% батарея полностью разряжена.

Программно можно откорректировать эти значения.

При снижении уровня заряда хотя бы одного аккумулятора до 20%, на 2 с, через каждую минуту включается зуммер. При этом во время звукового сигнала, в первой строке на индикаторе появля-



ется надпись «РАЗРЯД А1, А2, А3» (фото 3). Если уровень остаточного заряда снизился ниже 5%, то звуковой сигнал и данная надпись появляются уже каждые 15 с. Если хотя бы один аккумулятор разряжается полностью (т.е. до 10,7 В и ниже), то сигнал и надпись будут включаться на 2 с с интервалом (паузой) в 2 с.

Особенности схемы

Принципиальная схема устройства показана на рис. 1.

Ее мозгом является МК IC1 типа PIC16F877A-1/P. Автор остановился на этом 40-ножечном кон-



Фото 1



Фото 2



Фото 3

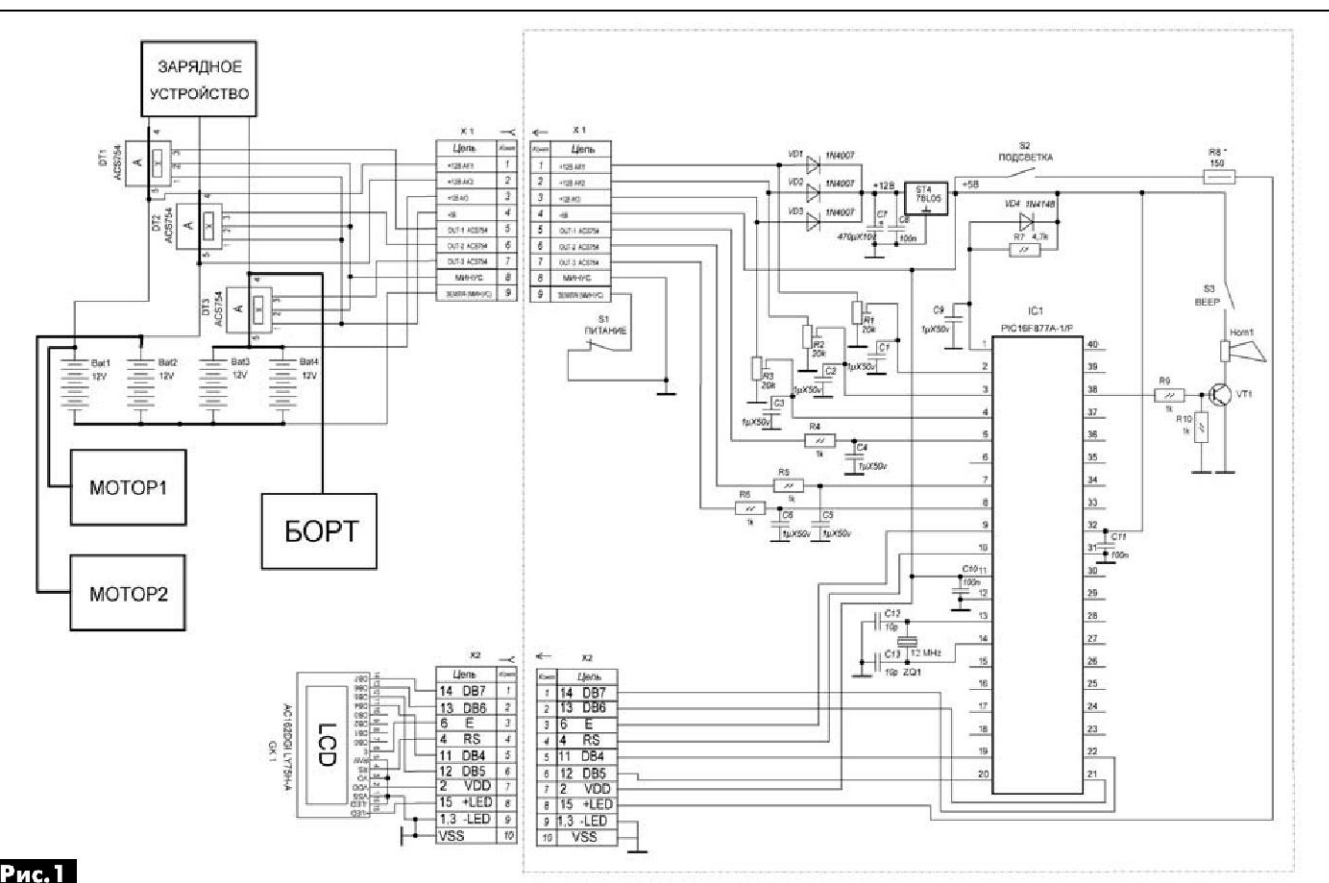


Рис. 1

троллере потому, что рассчитывает в дальнейшем модернизировать устройство, введя в него ряд дополнительных функций, хотя его можно изготовить и на МК с меньшим количеством выводов.

Разберемся в назначении выводов МК в этой схеме. Напряжение питания МК 5 В поступает на выводы 11 и 32 IC1 от интегрального стабилизатора 78L05. Вывод 1 IC1 – это вход сброса при включении. К выводам 13 и 14 подключен внешний кварцевый резонатор ZQ1 12 МГц для внутреннего тактового генератора МК. Для связи с ЖКИ используется 4-проводная шина данных (выводы 19–22 IC1). Выводы 2, 3 и 4 – это входы АЦП, которые обеспечивают измерение напряжений на 1-м, 2-м и 3-м аккумуляторах соответственно. Потенциометрами R1, R2, R3 при регулировке устройства устанавливают правильные показания вольтметров устройства. На выводы 5, 7 и 8 IC1 через RC-фильтры с датчиков тока DT1, DT2 и DT3 поступают напряжения, пропорциональные токам соответствующих аккумуляторов.

Хочу обратить внимание, что для стартовых аккумуляторов устройство не измеряет токи стартеров (токи разряда этих аккумуляторов). Это связано с тем, датчики ACS754 позволяют измерять ток до 50 А, а стартер потребляет ток заметно большей величины.

Для звуковой сигнализации используется бузер с внутренним генератором Horn1. Он включается транзисторным ключом VT1 по команде с вывода 38 IC1. Транзистор VT1 может быть любым структуры n-p-n. Можно использовать даже KT315.

Устройство может питаться от любого из трех аккумуляторов через разделительные диоды VD1–VD3. Напряжение и ток подсветки ЖКИ ограничиваются резистором R8.

Устройство собрано на макетной плате, которая размещена в случайно приобретенном корпусе (фото 4).

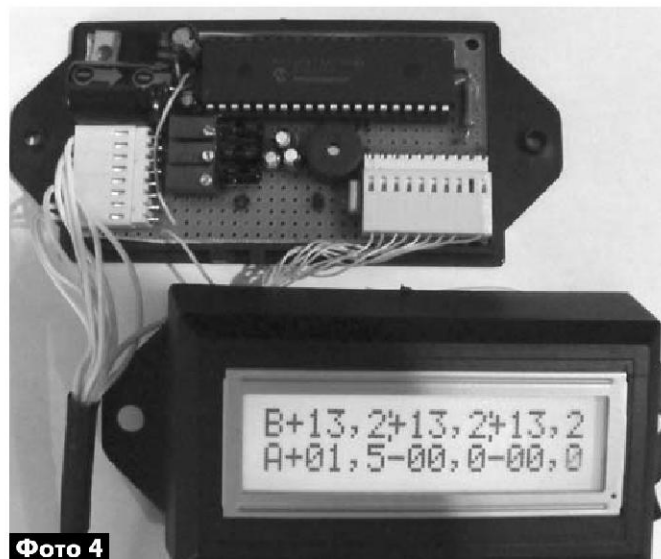


Фото 4

Исходник программы на языке Ассемблер и файл прошивки можно скачать с сайта издательства «Радиоаматор».

Ссылки

1. <http://www.ra-publish.com.ua/> – сайт издательства «Радиоаматор».

Ремонтные станции Weller

Эвелина Руденко, г. Киев



Рис.4

Ремонтная станция **WHA 900** (рис.5) – аналоговая станция пайки горячим воздухом, предназначена для впаивания/выпаивания крупных SMD-компонентов и микросхем в корпусах с двусторонним и четырехсторонним расположением выводов. Диапазон температур от 50°C до 550°C. Мощность 700 Вт. Поток горячего воздуха 5...50 л/мин. Температуру и интенсивность потока воздуха устанавливают с помощью поворотных регуляторов. Антистатическое исполнение.

Станция поставляется как одно целое с термофоном HAP 3 (700 Вт). К термофону подключаются насадки типа NR, ND, NQ. Насадки и держатель для термофона в комплект поставки не входят.



Рис.5

Ремонтная станция **WHA 3000P** (рис.6) – цифровая станция пайки горячим воздухом, предназначена для впаивания/выпаивания крупных SMD-компонентов и микросхем в корпусах с двус-



Рис.6

сторонним и четырехсторонним расположением выводов. Диапазон температур от 50°C до 550°C. Поток горячего воздуха 5...50 л/мин. Максимальный вакуум 0,6 бар. Жидкокристаллический дисплей. Ручной либо автоматический режим работы. Наличие интерфейса RS232 и программного обеспечения для управления работой станции посредством ПК. Антистатическое исполнение.

Состоит из блока управления, термофена HAP 3000 (700 Вт) с насадкой NQ 30, подставки АКТ 30 с функцией Stop+Go (при установке паяльника на подставку питание отключается сразу или через заданное время), двухступенчатого ножного выключателя и инструмента для крепления насадок.

Начиная с весны 2012 года, компания Weller выпускает новую линейку ремонтных станций на базе двухканального блока управления **WXD 2**.

У нового блока управления заметно изменился дизайн. Увеличился сенсорный экран, на котором с высокой контрастностью отображаются заданные и текущие параметры работы станции и дополнительная сервисная информация. Экран изготовлен из стекла, антистатический, защищен от химических и температурных воздействий. Текст и графические элементы, выводящиеся на жидкокристаллическом дисплее, видны под любым углом, а также осуществляется голубая подсветка экрана, облегчающая чтение. Если ранее регулировка температуры и быстрый доступ к трем заранее предустановленным температурным режимам, которые наиболее часто используются при работе, осуществлялись с помощью функциональных клавиш на лицевой панели блока, то теперь управление производится с помощью шести сенсорных клавиш непосредственно на дисплее. Одна из главных особенностей блоков серии WX – это интуитивно понятный пользовательский интерфейс. В меню предусмотрен выбор различных языков навигации: русского, немецкого, английского, французского, итальянского, испанского, китайского и других. С помощью интерфейса USB реализована возможность быстрого обновления программного обеспечения, дистанционного управления работой стан-

ции (конфигурирование, калибровка и запись параметров станции, выведение отчетов, блокировка работы и т.д.). Можно осуществлять запись, хранение и передачу данных через USB-накопитель.

Ремонтная станция WXD 2010 (рис.7) предназначена для подключения только интеллектуальных WX-термоинструментов Weller мощностью до 200 Вт. Весь WX-термоинструмент снабжен встроенной



Рис.7

сенсорной системой и памятью. Станция создана на базе двухканального блока управления и укомплектована паяльником с вакуумным отсосом. Диапазон температур от 50°C до 550°C, максимальный вакуум – 0,7 бар. Станция оснащена функцией автоматического определения инструмента и имеет антистатическое исполнение. Она состоит из блока управления WXD 2 (255 Вт), термоотсоса WXDP 120 (120 Вт, 24 В), подставки WDH 70.

Ремонтная станция WXD 2020 (рис.8) отличается от модели WXD 2010 тем, что в комплекте с блоком управления поставляется паяльник и термоотсос серии WX. Остальные функции и параметры аналогичны модели WXD 2010.

Состоит из блока управления WXD 2 (255 Вт), термоотсоса WXDP 120 (120 Вт, 24 В), паяльника WXP 120 (120 Вт, 24 В), подставок WDH 70 и WDH 10.



Рис.8

На все оборудование Weller распространяется гарантия производителя сроком на 1 год.

Официальным дистрибутором и поставщиком продукции Weller в Украине является Компания СЭА. За более подробной информацией обращайтесь в отдел паяльного оборудования по телефону в Киеве (044) 291-00-41 или по электронной почте info@sea.com.ua



ЭЛЕКТРОННЫЕ КОМПОНЕНТЫ



IXYS
INTEGRATED CIRCUITS DIVISION



CLARE



ST



VISHAY



WESTCODE



LUCKY LIGHT



CALIBER
ELECTRONICS INC.



Microsemi



molex®



ROYALOHM



HITANO
ENTERPRISE CORP.®



CDL



SAMSUNG



TDK

Пассивные компоненты

Дискретные полупроводниковые компоненты

Силовые полупроводниковые приборы, модули

Интегральные микросхемы

Оптоэлектроника

Электромеханика

IXYS
KXOB 22-12X1

KXO1-33-B0X1
KXO1-33-B0X1

Texas Instruments
INA149

Компания СЭА

электроника электротехника компоненты оборудование

Украина, 02094, г. Киев, ул. Краковская, 13-Б.
тел.: (044) 291-00-41, тел./факс: (044) 291-00-42
www.sea.com.ua | info@sea.com.ua

29

PA 12 '2012

Использование систем позиционирования, вращения используются в различных отраслях. STMicroelectronics уже работает с ключевыми клиентами с целью усовершенствования своих новых контроллеров cSpin для точного оборудования, такого как робототехнических и систем промышленной автоматизации, сценического освещения, механизмов фокусировки камер, швейных машин, и общих систем позиционирования и вращения.

В каждом случае небольшие размеры и малый вес микроконтроллера cSpin позволяет создать более дешевое и более отзывчивое оборудование по сравнению с использованием обычных драйверов. Это помогает повысить общую эффективность системы за счет устранения шунтирующих резисторов, тем самым снижая нежелательную рассеиваемую мощность.

cSpin также позволяет контролировать скорость вращения, что особенно важно для стабильности точных систем. Например, точное смешивание жидкостей при обработке ме-



дицинских образцов. Данный контроллер обеспечивает преимущества гладкой и бесшумной работы.

Микроконтроллеры семейства cSpin обеспечивают ряд технических преимуществ по сравнению с существующими альтернативами. Связь с основной системой осуществляется с помощью команд высокого уровня через стандартный последовательный периферийный интерфейс (SPI).

cSpin позволяет плавно вши-

роком диапазоне регулировать мощность – до 300 Вт.

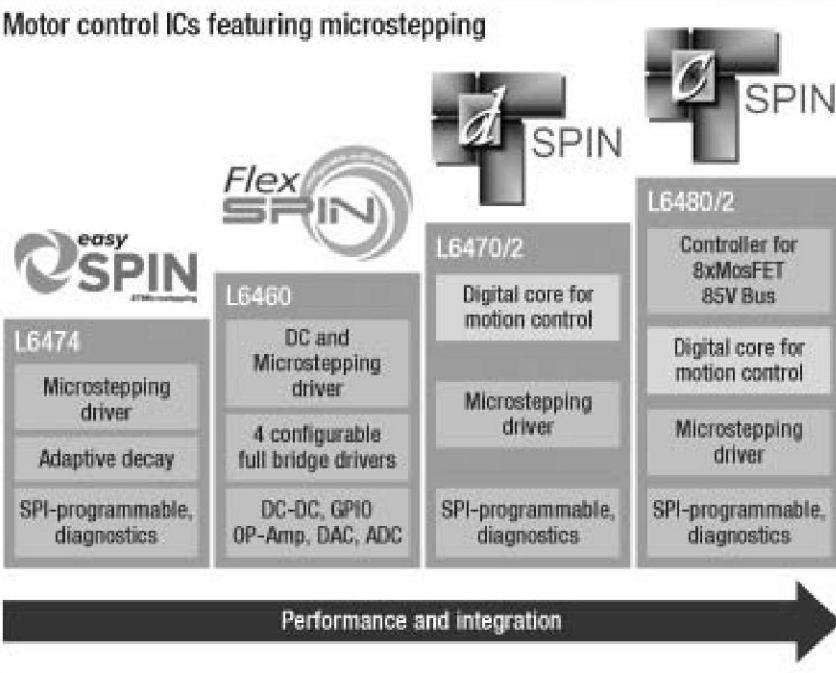
Использование такого контроллера, не требует для управления двигателем программного обеспечения и упрощает проектирование системы, все расчеты функций контроля и взаимодействия выполнены в одном чипе. Конкурирующие решения требуют программного обеспечения и нескольких дискретных чипов.

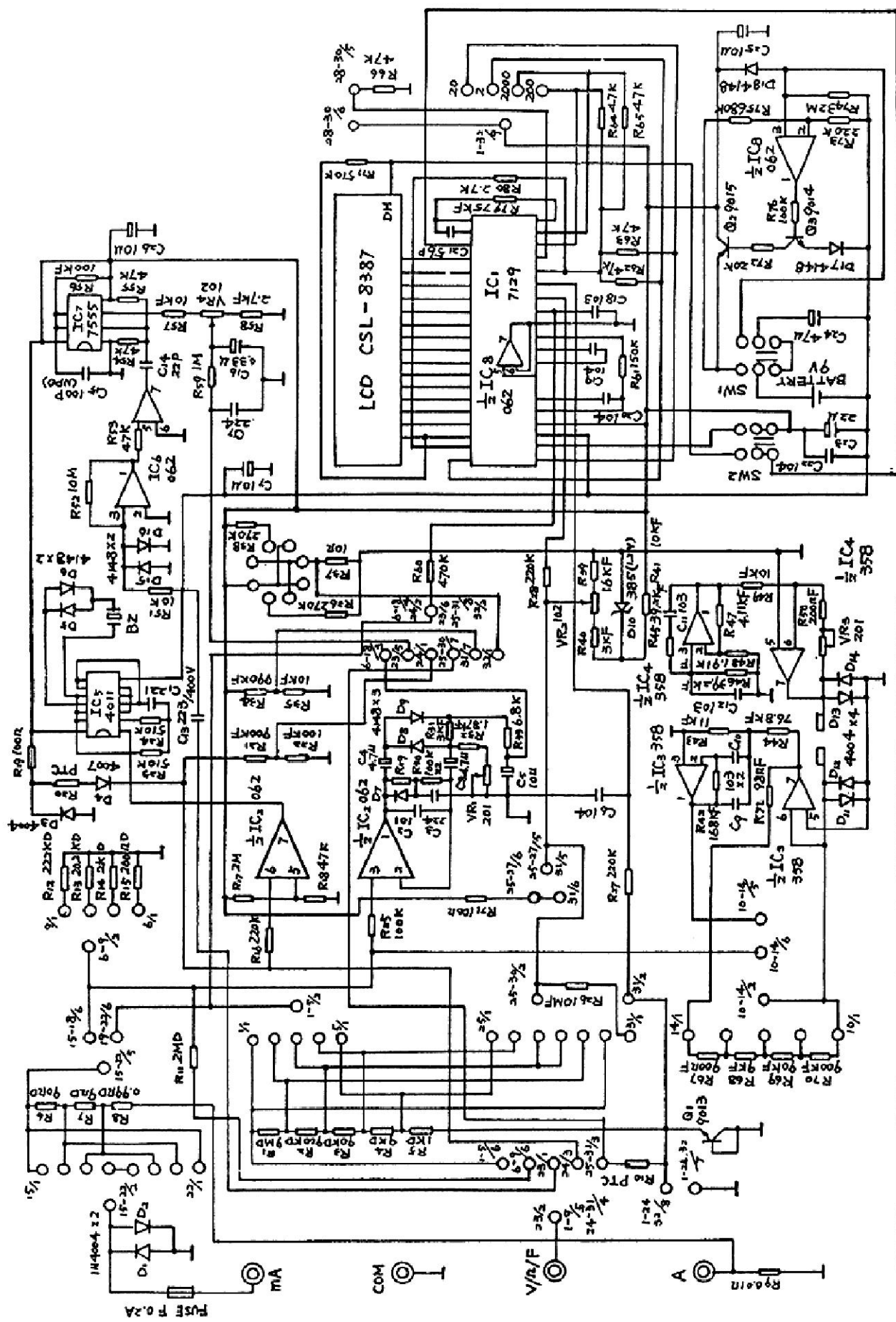
Основные характеристики cSpin контроллеров:

- Комплексные механизмы защиты: от перегрева, низкого напряжения на шине, перегрузки по току.
- 5 Мбит /с SPI.
- Инновационный режим управления напряжением с внутренней компенсацией BEMF (L6480).
- Интеллектуальное управление током (L6482).
- Низкий ток потребления в режиме ожидания.

Для получения дополнительной информации, пожалуйста, свяжитесь с компанией СЭА, официальным дистрибутором STMicroelectronics на территории Украины, по телефону: (044) 291-00-41 или e-mail: info@sea.com.ua

Motor control ICs featuring microstepping





	1	2	3	4	5	6	7	8	9	10	11	12	13	14	15	16
DC 200mV 2V	DC DC	DC DC	AC 200V	AC (100V)	AC 200V											
17	18	19	20	21	22	23	24	25	26	27	28	29	30	31	32	
AC 200mA 10A	AC DC	AC DC	DC DC	DC DC	F 2mA	F 2mA	F 2mA	F 2mA	F 2mA	Ω 200K	Ω 200K	Ω 200K	Ω 200K	Ω 200K	Ω 200K	Ω 200K

Принципиальная схема цифрового мультиметра MASTECH MY65

U1 ALi M3329C

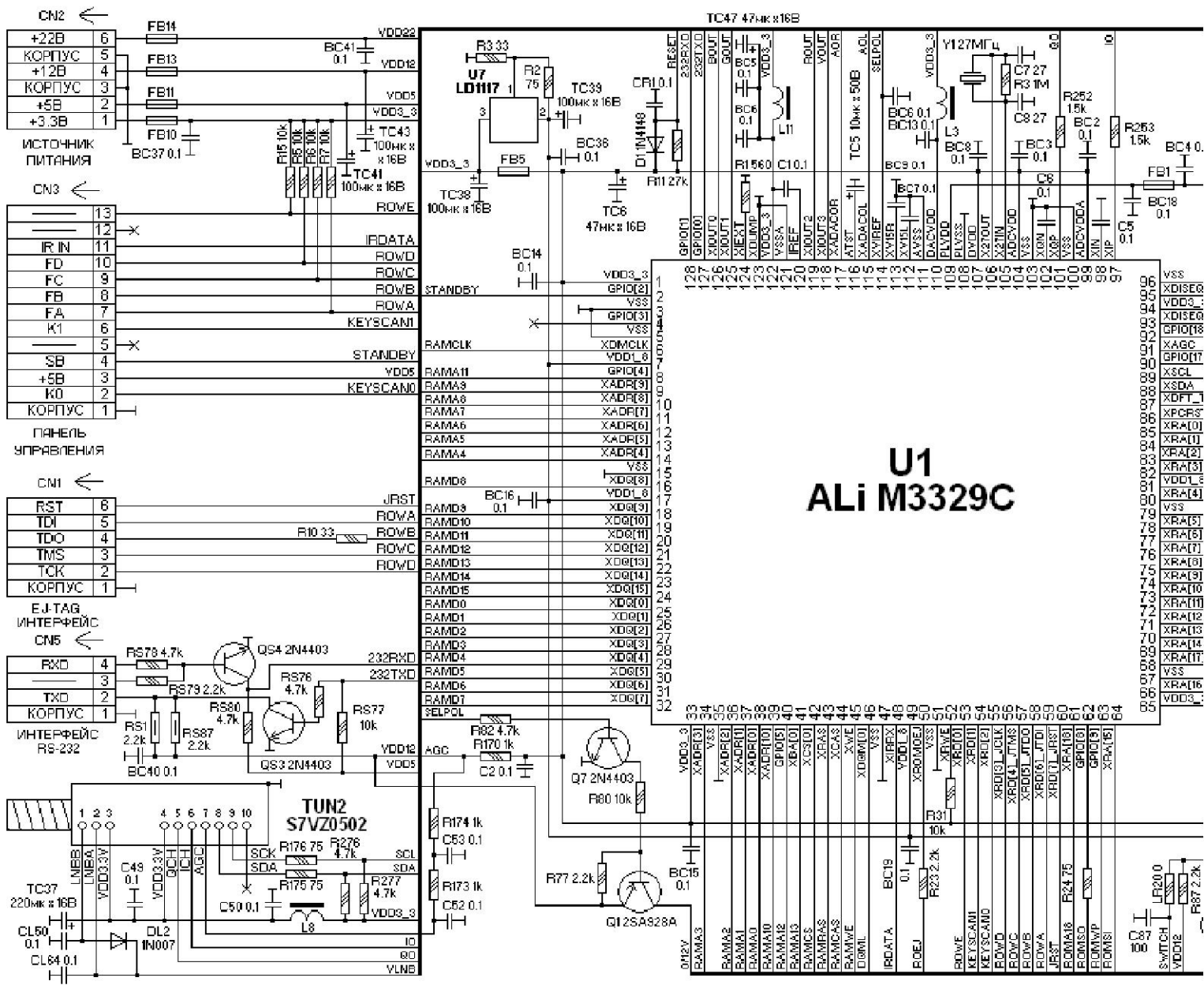
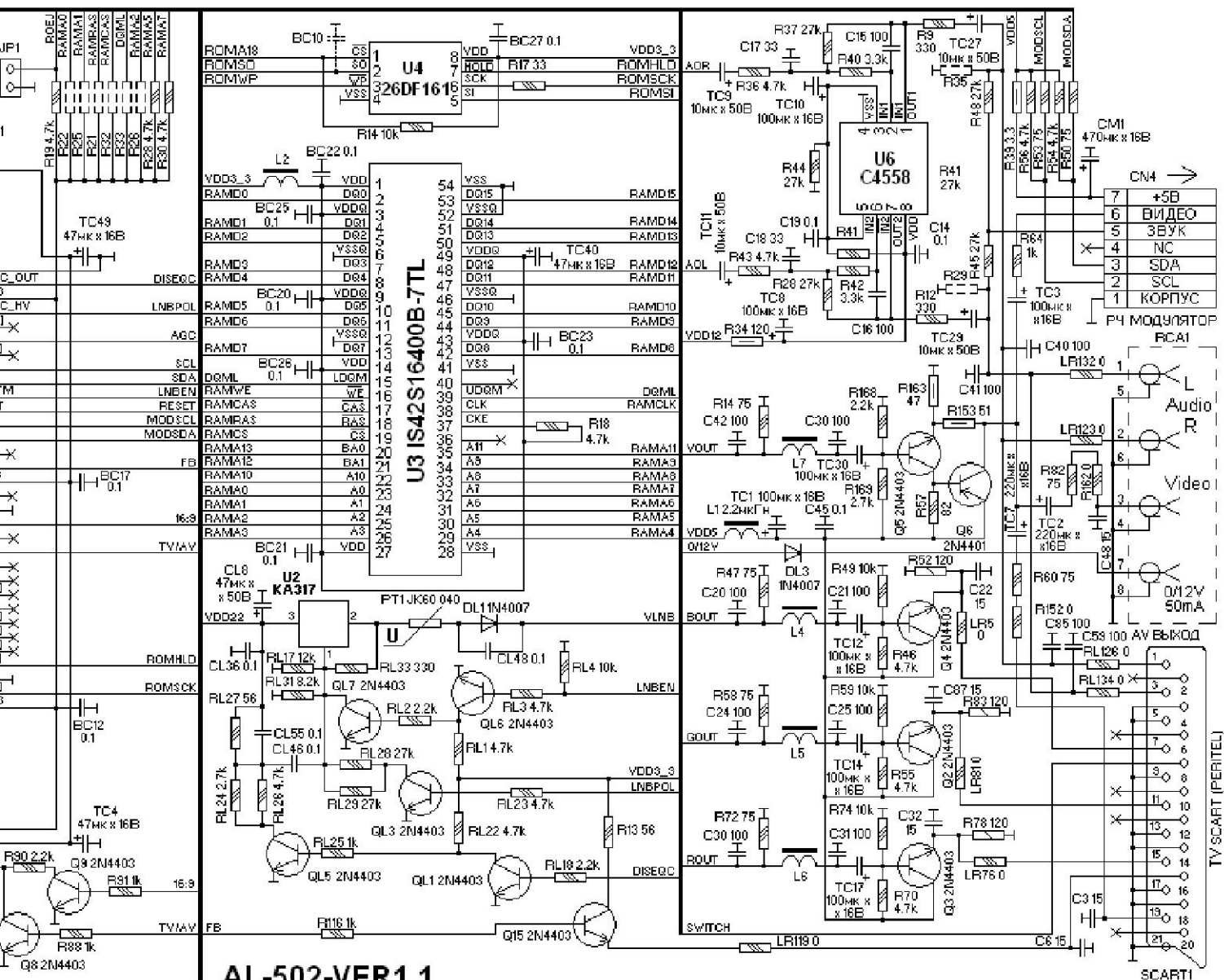


Рис.3

Принципиальная схема спутникового ресивера «BIG SAT BS-S501 Xtra» («GLOBO 4100C»).
Основная плата AL-502-VER1.1



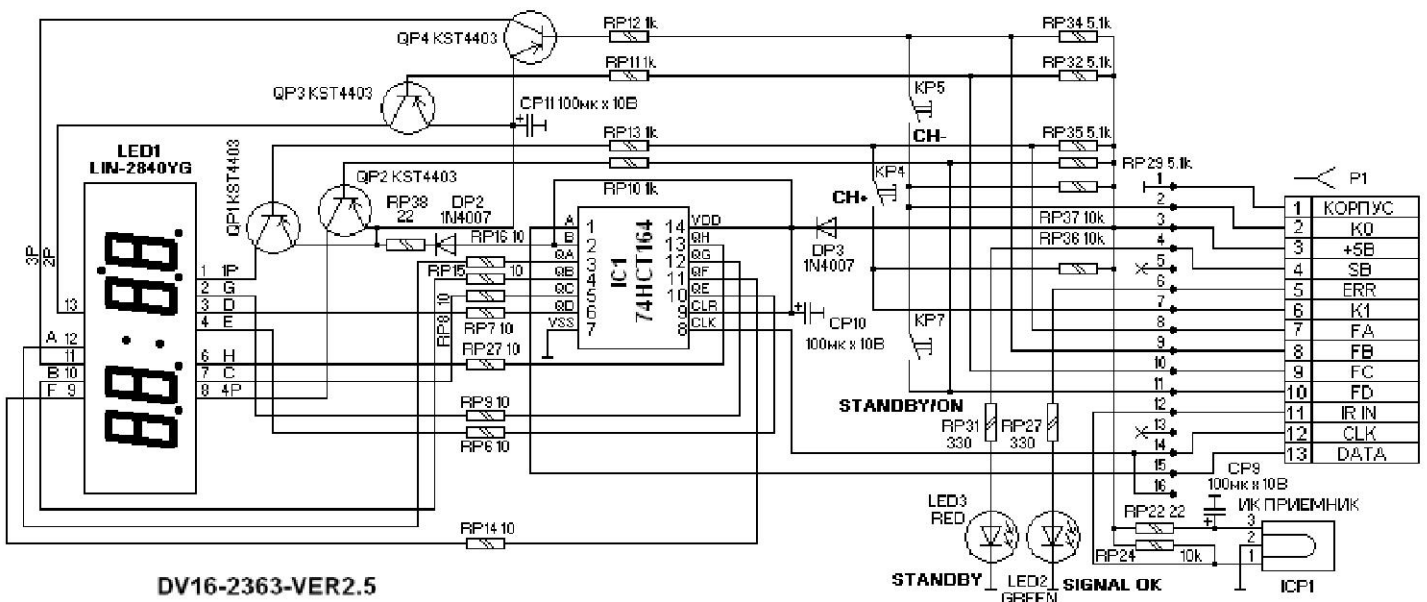


Рис.6

Принципиальная схема спутникового ресивера «GLOBO 4100C». Плата панели управления DV16-2363-VER2.5

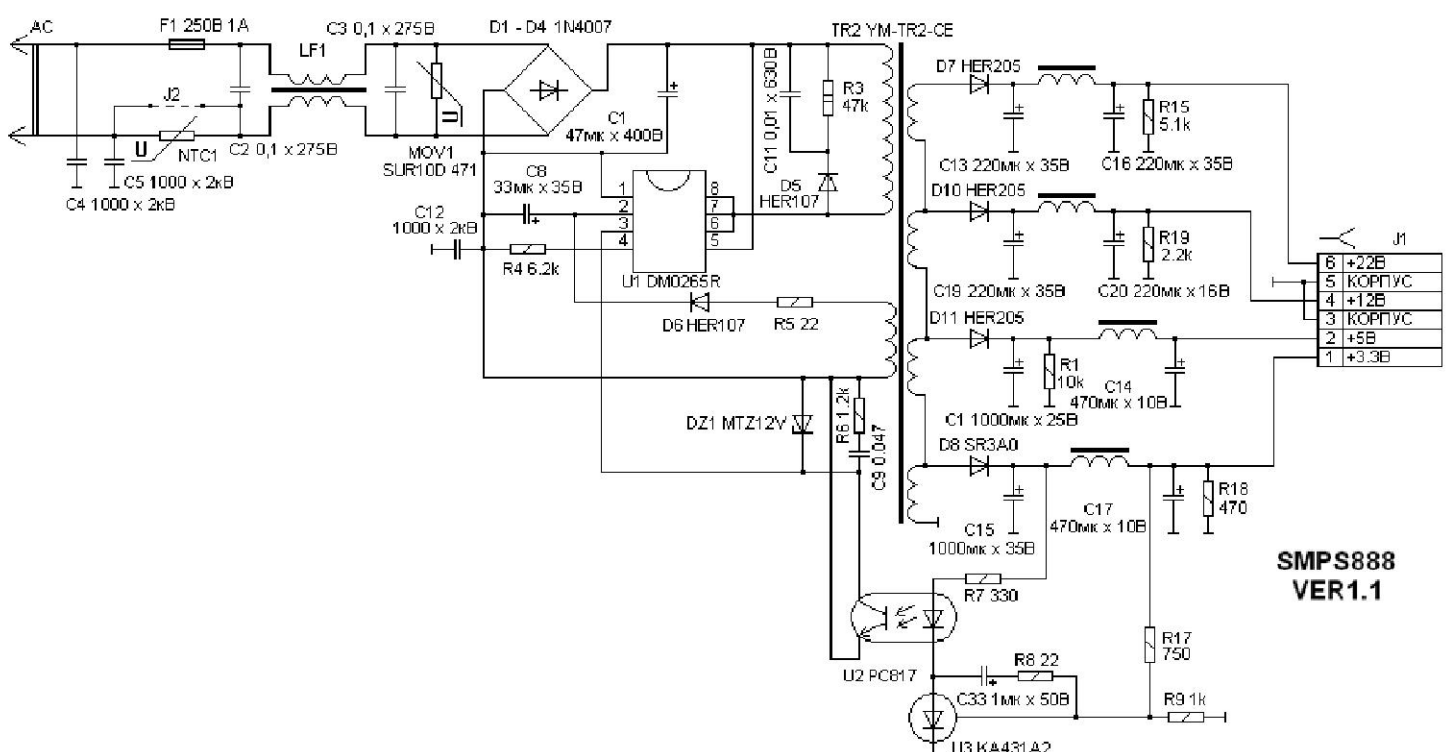


Рис.7

Принципиальная схема спутникового ресивера «BIG SAT BS-S501 Xtra» («GLOBO 4100C»). Источник питания

Стоит ли приобретать энергосберегающие устройства?

Игорь Безверхний, г. Киев

Многие из нас в последнее время стараются сэкономить на оплате коммунальных услуг. В условиях современного кризиса мы готовы выложитьенную сумму на приобретение устройств, которые что-либо экономят в быту. На этом стремлении построен маркетинг ряда фирм, торгующих «энергосберегающими» устройствами (в кавычках взял умышленно).

Брать или не брать эти устройства? Обоснованный ответ на этот почти шекспировский вопрос можно найти в этой статье.

Уже много лет на телевидении и в сети Интернет широко рекламируют, так называемые, «статические преобразователи» и другие «энергосберегающие» устройства. В настоящее время активно рекламируется устройство G-NER-G.

Одно из таких «энергосберегающих» устройств SmartBoy SP-001 было приобретено моим товарищем в конце 2009 года за 299 кровных грн. (приблизительно 75 дол.). После безуспешной попытки в течение нескольких месяцев сэкономить, как написано в паспорте, от 5 до 30% ежемесячных расходов по оплате электроэнергии, SmartBoy SP-001 был отдан мне на «растерзание» с естественным вопросом «Что это такое, и стоит ли оно этих денег?».

Знакомство с устройством я начал с паспорта. Из него следует, что производитель из КНР выпускает кроме SP-001 еще четыре модели однофазных «статических преобразователей» под маркой SmartBoy, что в переводе с английского означает умный (или остроумный) мальчик. Все эти аппараты рассчитаны на сеть переменного тока частотой 50...60 Гц и напряжением 90...240 В. Рабочая температура -50...+60°C при влажности не более 85%. Настораживает, что рабочая высота (над уровнем моря) не более 2000 м. Мы живем заметно ниже. Все из представленных в паспорте приборов различаются только максимальной допустимой нагрузкой, которая выражена почему-то в ваттах (Вт). Так, SP-001 имеет «максимальную допустимую нагрузку» 5000 Вт, SP-002 – 8000 Вт, SP-003 – 12000 Вт, SP-004 – 15000 Вт, а SD-001 – 19000 Вт.

Из всего этого у нас есть в наличии самый маломощный прибор SP-001 (рис.1). Его и будем изучать.

Главная маркетинговая ложь в том, что практически все подобные устройства называются «интеллектуальными» электронными энергосберегающими устройствами, позволяющие любому



Рис.1

потребителю электричества **экономить от 5 до 30%** ежемесячных расходов по оплате электроэнергии». **Интеллектуальными** их называют только для оправдания крайне завышенной цены. А вот что-либо сэкономить подобным устройствам не дадут всем нам известные законы физики. Разговоры о «нормализации структуры электрического потока» и прочая околонаучная терминология – это не более чем рекламная «замануха».

Единственная правда, которая есть в рекламе и паспортах на все эти устройства, – это то, что они осуществляют некоторую компенсацию реактивной мощности, но насколько эффективно? Сэкономит ли хотя бы копейку даже качественная компенсация реактивной мощности?

В паспорте SP-001 написано: «Для рационального использования данного оборудования его необходимо установить в первую (ближайшую) розетку от счетчика. Это позволяет определить все напряжение до счетчиков и соответственно регулировать коэффициенты мощности. При включении прибора светятся светодиоды».

Так и сделаем. Два зеленых светодиода диаметром 3 мм действительно светятся.

Перед испытанием SP-001 было решено прибор вскрыть (рис.2) и срисовать его принципиаль-



Рис.2

ную схему. Она оказалась довольно проста. Несколько смущал нас черный не разбирающийся параллелепипед без надписей с двумя выходящими из него проводниками черного цвета. Уж очень он напоминает конденсатор. Тем более включен он через предохранитель параллельно сетевой вилке. Мы решили измерить его емкость с помощью прибора UT603 UNI-T. Оказалось, что это и есть конденсатор емкостью 5 мкФ. Скорее всего, его рабочее напряжение 400...450 В. В этом конденсаторе и вся суть этого устройства. По монтажу была восстановлена принципиальная схема SP-001. Она показана на **рис.3**.

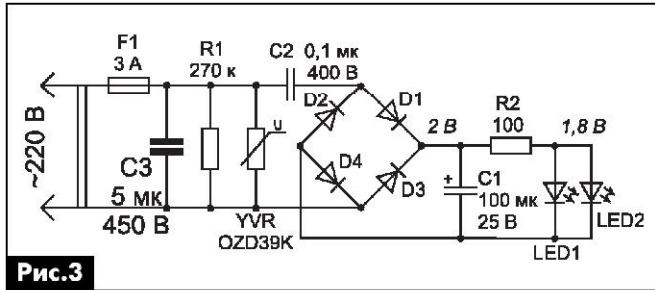


Рис.3

Конденсатор, о котором шла речь выше, имеет позиционный номер С3. Параллельно ему включен разрядный резистор R1 и защитный варистор YVR. Конденсатор С2 работает как ограничивающий для выпрямительного моста D1–D4. С1 – конденсатор фильтра питания. R2 – ограничивающий резистор в цепи питания светодиодов LED1 и LED2.

Проведем простейшее исследование работы устройства SP-001. Для этого вооружимся мультиметрами MY-64, DT-830B, токоизмерительными клещами DE-3103, а для измерения активной потребленной энергии будем использовать установленные квартирные счетчики типа СОЕ-5028МНВ (производство киевской фирмы «Росток») и старый советский СО-И449. Проведем несколько экспериментов.

Эксперимент 1. Отключаем в квартире все потребители и измеряем напряжение сети. Результат 224 В. Теперь включаем в первую розетку от счетчика исследуемое устройство SP-001. Напряжение сети увеличилось почти на 2 В. Повторное выключение и включение дало тот же результат. Объяснение этого феномена см. ниже.

Эксперимент 2. Отключив SP-001, включим конфорку кухонной электроплиты мощностью 2 кВт и дадим ей прогреться. С помощью токоизмерительных клещей измеряем ток возле счетчика. Показание амперметра 8,92 А. Младший четвертый разряд показаний прибора, «прыгающий» в пределах 0...4, не учитывали. Подключаем SP-001. Показания амперметра и скорость вращения диска счетчика СО-И449 не изменились. Экономии электроэнергии нет. Увеличим нагрузку вдвое, включив вторую 2-киловаттную конфорку. Ток и скорость вращения диска счетчика увеличились вдвое и при включении-отключении SP-001 не меняются.

Эксперимент 3. Хотелось бы проверить, как SP-001 работает с индуктивной нагрузкой. Для этого выключаем плиту, отключаем SP-001 и включаем стиральную машину ARDO-1000 в режиме отжима. Ток, измеряемый цифровыми клещами, равен 3,12 А. Подключаем SP-001, и ток снижается почти в 2 раза, до 1,65 А. Наблюдавшие за нашей возней, женщины громко радуются: «Вот она ЭКОНОМИЯ». Но диск счетчика никак не отреагировал на наши манипуляции с подключением-отключением SP-001, он вращается с одинаковой скоростью, а значит, потребление электроэнергии не уменьшилось.

Что за фокус? Ток в цепи заметно уменьшился, а потребление электроэнергии не изменилось.

Для ответа на этот и предыдущие вопросы вспомним, что основой SP-001 является конденсатор емкостью 5 мкФ.

Рассмотрим сначала, как ведет себя этот конденсатор, если включить его в розетку при отключенных потребителях в квартире (эксперимент 1). Из курса электротехники известно, что ток в цепи с емкостью (I_C) опережает напряжение ($U_{СЕТИ}$) на 90° (рис.4). На проводах внутренней проводки от счетчика к первой розетке, в которую включен SP-001, этот ток создает маленькое падение напряжения ($U_{ПРОВОД}$), которое совпадает с ним по фазе. Оно векторно складывается с напряжением сети, увеличивая показание прибора ($U_{ОБЩ}$).

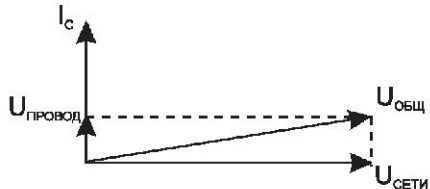


Рис.4

Перейдем теперь к третьему эксперименту. Он состоит из двух опытов. В первом из них в сеть включена только стиральная машина, двигатель которой имеет как активное, так и индуктивное сопротивление. Ток через активное сопротивление ($I_{Активн}$) совпадает по фазе с напряжением сети (рис.5), а ток через индуктивное (I_L) сопротивление отстает от него на 90° . Векторную сумму этих токов ($I_{общ}$) и показывают токоизмерительные клещи.

При подключении SP-001 в цепи дополнительно появляется емкостное сопротивление (см. векторную диаграмму рис.6).

Ток через емкость этого устройства опережает напряжение сети на 90° и находится в противофазе току через индуктивное сопротивление стиральной машины. Результирующий реактивный ток

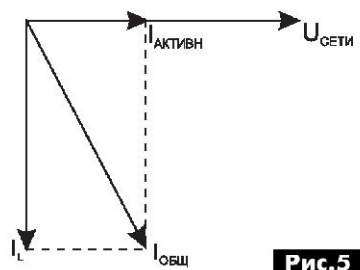


Рис.5

(I_{L-C}) заметно уменьшается. Общий ток в цепи ($I_{\text{общ}}$), который показывают клещи, – это векторная сумма активной ($I_{\text{активн}}$) и реактивной составляющих (I_{L-C}) тока в цепи. Сравните результаты двух последних опытов по **рис.5** и **рис.6**, из которых следует, что общий ток в цепи с индуктивностью при добавлении компенсирующей емкости заметно уменьшается.

Почему же счетчик не фиксирует уменьшение потребления электроэнергии?

Ответ прост. Счетчик СО-И449 фиксирует нам потребление только активной энергии, а реактивная составляющая – это просто перераспределение энергии. Суть его в том, что в какую-то часть периода идет потребление энергии от сети, а затем полный ее возврат.

Эти эксперименты были повторены в другой квартире с бездисковым электронным счетчиком электроэнергии СОЕ-5028МНВ (фирмы «Росток»). Результат тот же. Да это и понятно. Все бытовые счетчики показывают только активную (реально потребленную) энергию.

Электронная «Снежинка»

Владимир Хмара, г. Житомир

Настоящая статья с описанием очередной елочной игрушки является логическим продолжением статьи [1], которая была опубликована в нашем журнале год назад. Эта игрушка интересна для детей разного возраста и удобна для изготовления в радиокружках. Она легко может быть повторена юными радиолюбителями.

Электронная игрушка «Снежинка» может быть использована для украшения новогодней елки или украшения посоха Деда Мороза.

Схема принципиальная электрическая электронной игрушки «Снежинка» показана на **рис.1**. Она незначительно отличается от схемы рис.4 из [1]. На транзисторах VT1–VT3, резисторах R1–R6, конденсаторах C1–C3 собран трехфазный генератор прямоугольных импульсов (трехфазный мультивибратор). Во время работы трехфазного генератора на коллекторах транзисторов VT1–VT3 поочередно генерируются прямоугольные импульсы положительной полярности, частота кото-

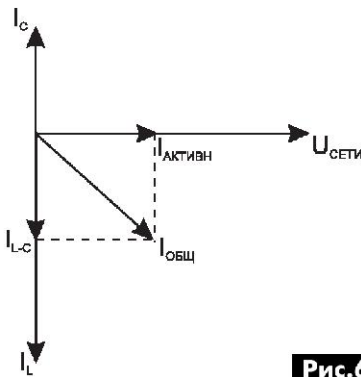


Рис.6

Зачем же проводились эксперименты во второй квартире с современным счетчиком?

Дело в том, что существует версия, что «энергосберегающие» устройства – это, среди прочего, «отматыватели» показаний счетчика. Все проведенные эксперименты показали, что SP-001 таким не является. Ни старые советские, ни современные электронные счетчики на реактивную энергию просто не реагируют.

Интереса ради, автором статьи была собрана батарея из пяти конденсаторов KNB1530 1 мКФ ±10% на 275 В переменного напряжения, которые оказались под рукой. Подключая ее вместо SP-001, провели те же эксперименты. Результат аналогичный, а цена комплектующих менее 15 грн.

Судя по проведенным экспериментам, «интеллектуальные электронные энергосберегающие устройства» представляют собой примитивные емкостные компенсаторы реактивной мощности. Красивый корпус и светодиоды – это антураж для непосвященных. Никакой выгоды от их применения в быту нет.

Ссылки

- Безверхний И. Что такое «остроумный мальчик» (SmartBoy), и как он обманывает доверчивых покупателей (записки домашнего электрика) // Электрик. – 2011 – №4. – С.49–51.



рых зависит от сопротивления резисторов R1, R3, R5 и емкости конденсаторов C1–C3. На транзисторах VT4–VT6 собраны электронные ключи, которые коммутируют группы светодиодов, расположенные на печатной плате в виде снежинки. Эти групп-

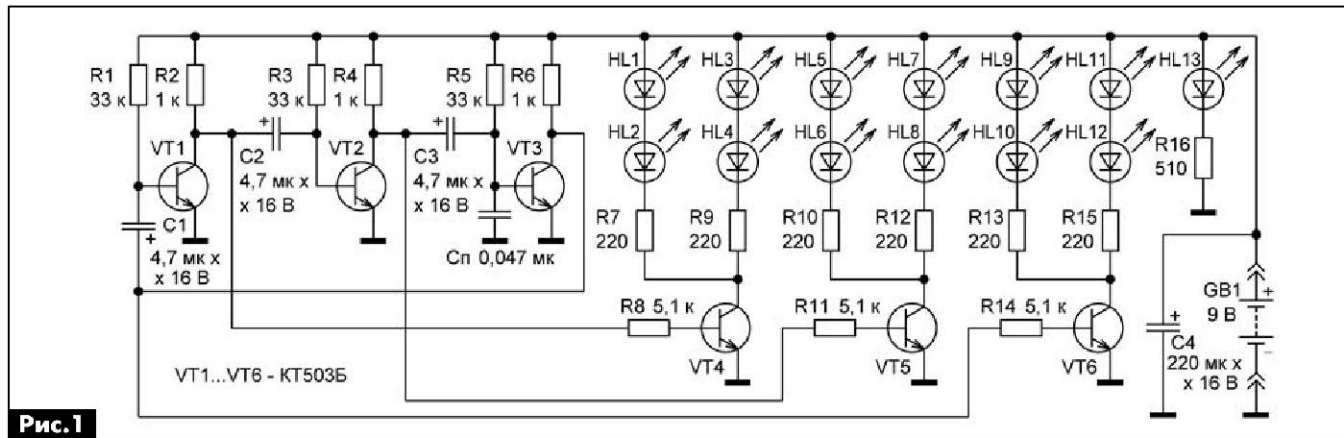


Рис.1

пы светодиодов подключены к коллекторам VT4–VT6 через токоограничивающие резисторы R7, R9, R10, R12, R13, R15. Когда открыт транзистор VT4, светятся светодиоды HL1–HL4, когда открыт транзистор VT5, светятся светодиоды HL5–HL8, а когда открыт транзистор VT6, светятся светодиоды HL9–HL12. Это создает эффект вращения снежинки. Светодиод HL13, который расположен в центре снежинки, подключен к общему проводу через резистор-ограничитель R16 и светится непрерывно.

При исправных деталях и правильном монтаже электронная игрушка начинает работать сразу при включении питания. Для надежного запуска трехфазного мультивибратора при включении в схеме предусмотрен пусковой конденсатор Сп. Этот конденсатор, включенный между базой одного из транзисторов трехфазного мультивибратора и общим проводом, задерживает открытие этого транзистора в момент подачи на устройство напряжения питания. Обычно трехфазный мультивибратор надежно запускается и без пускового конденсатора, поэтому в подавляющем числе случаев его устанавливать необязательно. При указанных номиналах силы тока, потребляемая трехфазным мультивибратором, весьма значительна и составляет 18 мА. Уменьшить потребляемый ток в несколько раз можно, увеличив во столько же раз сопротивления резисторов R1–R6.

Например, если установить $R_1=R_3=R_5=160\text{ к}\Omega$, а $R_2=R_4=R_6=5,1\text{ к}\Omega$, то ток потребления трехфазного мультивибратора снизится в 5 раз. Кроме того, во столько же раз увеличится период колебаний, вырабатываемых трехфазным мультивибратором, и для сохранения его неизменным придется уменьшить во столько же раз емкость конденсаторов C1–C3. Одновременно резко снизится надежность запуска трехфазного мультивибратора, и для его запуска все же придется использовать пусковой конденсатор.

Таким образом, налаживание электронной игрушки сводится к подбору сопротивления резисторов R1–R6, емкости пускового конденсатора Сп и емкости времязадающих конденсаторов C1–C3.

Все детали электронной игрушки, за исключением батареи питания, монтируют на печатной плате размерами 40×80 мм из одностороннего фольгированного стеклотекстолита. Ее чертеж показан на **рис.2**, а расположение деталей – на **рис.3**.

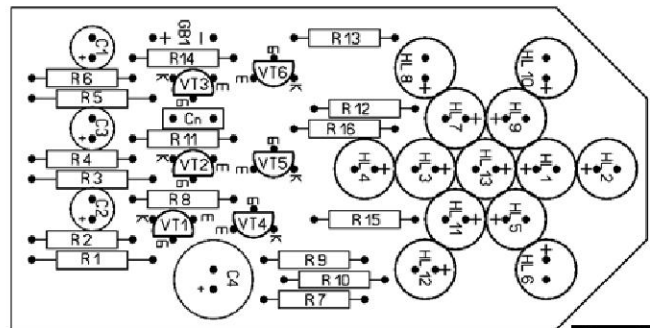


Рис.2

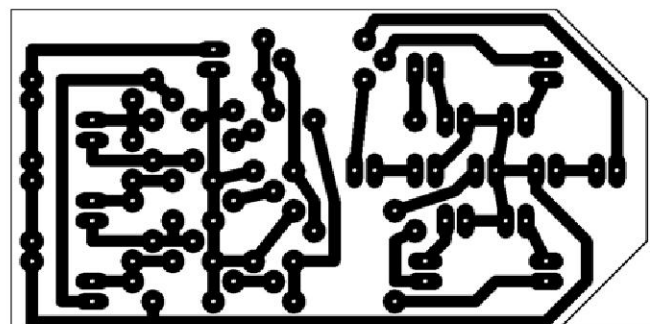


Рис.3

В изделии использованы резисторы С2-23, МЛТ, ВС мощностью 0,125 Вт, оксидные конденсаторы К50-16, К50-35 или импортные, светодиоды красного цвета свечения, но можно использовать светодиоды и других цветов. Как источник питания можно использовать батарею из шести соединенных последовательно гальванических элементов типа размера АА или ААА, или «Крон». Чертеж печатной платы в формате программы Sprint-Layout можно скачать с сайта издательства «Радиоаматор» [2].

Ссылки

- Хмара В.А. Трехфазный мультивибратор в детских игрушках // Радиоаматор. – 2011. – №12. – С.37–40.
- <http://www.ra-publish.com.ua/> – сайт издательства «Радиоаматор».

Розрахунок лінійних компенсаційних джерел живлення для вимірювальних систем

Владислав Ефіменко, м. Київ

(Закінчення. Початок див. РА 11/2012)

Стаття, друга частина якої представлена нижче, розповідає про те, як розрахувати лінійні стабілізатори напруги для вимірювальних систем. Автор розробив комп’ютерну програму за допомогою якої провадився цей розрахунок. Тому позначення та числа в статті представлені в форматі цієї програми.

В першу частину цієї статті з вини автора вкралися прикра помилка. Формула в пункті 10 повинна виглядати так:

$$P_{\text{сх.ст.}} = (\text{EU}(\text{C1})_{\min} - \text{U}_{\text{H}}) \cdot I_{\text{H max}} = \\ = (8 - 5) \cdot 10 = 0,3 \text{ Вт.}$$

Автор просить вибачення у зацікавленого читача та радить внести відповідну корекцію в п. 10 на стор. 30 РА 11/2012.

13. Розрахуємо максимальний опір резистора R1, який забезпечує зміщення по струму транзистора V1 генератора стабільного струму:

Маємо:

Мінімально припустима напруга на виході випрямляча (вході стабілізатора): $\text{EU}(\text{C1})_{\min} = 8 \text{ В.}$

Мінімальний розрахований коефіцієнт підсилення одного транзистора: $h_{213} = 10.$

Мінімальне розрахункове встановлене значення струму керування регулюючим елементом: $I_{\text{H}}(\text{упр}) = 0,01 \text{ А.}$

Тому:

$$R_1 = \text{EU}(\text{C1})_{\min} / (I_{\text{H}}(\text{упр}) / h_{213}) = \\ = 8 / (0,01 / 10) = 8000 \text{ Ом.}$$

14. Розрахуємо напругу, що падає на резисторі R1 при заданому струмі:

Маємо:

Мінімально припустимий струм керування (бази) транзистору V3 ГСС:

$$I_{\text{B}}(\text{V3}) = 9,999999E-04 \text{ А} = 0,000999999 \text{ А} = 999 \text{ мкА.}$$

Максимальний опір резистору R1 зміщення по струму транзистору генератора стабільного струму ГСС: $R_1 = 8000 \text{ ом.}$

$$U(R1) = I_{\text{B}}(\text{V3}) \cdot R_1 = 9,999999E-04 \cdot 8000 = 8 \text{ В.}$$

15. Розрахуємо мінімальну потужність резистору R1 транзистору V3 (ГСС):

$$P(R1) = I_{\text{B}}(\text{V3}) \cdot U(R1) = \\ = 9,999999E-04 \cdot 8 = 7,999999E-03 \text{ Вт} = \\ 0,00799999 \text{ Вт} = 7,999 \text{ млВт.}$$

16. Розрахуємо опір резисторів R3, R4 в базах транзисторів регулюючого елементу, що

призначенні для відводу зворотнього струму колектор-база і усуненню привідкриття транзистору цім паразитним струмом. Нагадаю, що ці резистори разом з р-п переходами є навантаженням тих транзисторів, до колекторів яких вони підключені.

Задано:

Номінальне значення вихідної напруги: $\text{U}_{\text{H}} = 5 \text{ В.}$

Для точного розрахунку можна брати паспортне значення зворотнього струму колектору транзистору, однак для усунення привідкриття транзистору паразитним зворотнім струмом витоку колектор-база I_{Kb3} зазвичай достатньо приймати $I_{\text{Kb3}} = 1 \text{ мА} = 0,001 \text{ А.}$

Розрахунок:

$$R3 = R4 = \text{U}_{\text{H}} / (I_{\text{Kb3}} \cdot 10) = \\ = 5 / (0,001 \cdot 10) = 500 \text{ Ом.}$$

17. Розрахуємо мінімальну потужність резисторів R3, R4:

$$P(R3) = (\text{U}_{\text{H}} / R3) \cdot \text{U}_{\text{H}} = \\ = (5 / 500) \cdot 5 = 0,05 \text{ Вт.}$$

18. Розрахуємо мінімально необхідний струм керування схемою від’ємного зворотнього зв’язку (В3З) стабілізації вихідної напруги на транзисторі V7 та стабілітроні V8.

Задано:

Мінімальний розрахунковий коефіцієнт підсилення одного транзистора: $h_{213} = 10.$

Мінімальне розрахункове встановлене значення струму керування регулюючим елементом (V6-V4): $I_{\text{H}}(\text{упр}) = 0,01 \text{ А.}$

Розрахунок:

$$I_{\text{B}}(\text{V7}) = I_{\text{H}}(\text{упр}) / h_{213} = \\ = 0,01 / 10 = 9,999999E-04 \text{ А} = \\ 0,0009999999 \text{ А} = 999 \text{ мкА.}$$

19. Розрахуємо максимально-припустиму напругу стабілізації стабілітрону V8.

Задано:

Напруга, що падає на одному пряму зміщено-му переході база-емітер транзистору V7: $U(V7\text{cm}) = 0,6 \text{ В.}$

Номінальне значення вихідної напруги: $\text{U}_{\text{H}} = 5 \text{ В.}$

Розрахунок:

$$U(V8)\text{max} = \text{U}_{\text{H}} - (2 \cdot U(V7\text{cm})) = \\ = 5 - (2 \cdot 0,6) = 3,8 \text{ В.}$$

20. Розрахуємо максимальний опір резистору R5 початкового струму зміщення стабілітрону.

$$R5 = (U_{\text{H}} - U(V8)\text{max}) / I_{\text{H}}(\text{упр}) = \\ = (5 - 3,8) / 0,01 = 120 \text{ Ом.}$$

21. Розрахуємо напругу, що падає на резисторі R5 при заданому струмі.

$$U(R5) = I_{\text{H}}(\text{упр}) \cdot R5 = 0,01 \cdot 120 = 1,2 \text{ В.}$$

22. Розрахуємо мінімальну потужність резистору R5 початкового струму зміщення стабілітрону.

$$P(R5) = U(R5) \cdot I_{\text{H}}(\text{упр}) = 1,2 \cdot 0,01 = 0,012 \text{ Вт.}$$

23. Розрахуємо струм I(R8), що протікає у нижньому плечі резистивного подільника вихідної напруги системи від'ємного зворотнього зв'язку (В33) стабілізації вихідної напруги.

Задано:

Мінімально необхідний струм керування схемою В33 стабілізації вихідної напруги на транзисторі V7 та стабілітроні V8:

$$I_{\text{B}}(V7) = 9,999999E-04 \text{ А} = 0,0009999999 \text{ А} = 999 \text{ мкА.}$$

Розрахунок:

$$I(R8) = I_{\text{B}}(V7) / 10 = 9,999999E-04 / 10 = \\ = 9,999999E-05 \text{ А} = 0,0000999999 \text{ А} = 99,9 \text{ мкА.}$$

24. Розрахуємо максимальний опір R8.

Задано:

Максимально припустима напруга стабілізації стабілітрону V8: U(V8)max = 3,8 В.

Напруга, що падає на одному пряму зміщеному переході база-еміттер транзистору V7: U(V7cm) = 0,6 В.

Розрахунок:

$$R8 = (U(V8)\text{max} + U(V7cm)) / I(R8) = \\ = (3,8 + 0,6) / 9,999999E-05 = 44000 \text{ Ом.}$$

25. Розрахуємо мінімально-припустиму потужність R8:

$$P(R8) = (U(V8)\text{max} + U(V7cm)) \cdot I(R8) = \\ = (3,8 + 0,6) \cdot 9,999999E-05 = 4,399999E-04 \text{ Вт} = \\ = 0,0004399999 \text{ Вт} = 439,999 \text{ мкВт.}$$

Пояснення до пунктів 26-29: спочатку резистивний подільник R6, R7, R8 датчику В33 стабілізації вихідної напруги розраховується без резистора R6. Налаштувальний резистор R6 розраховується виходячи з максимального відсоткового відхилення опору резисторів R7, R8 після розрахунку номіналів цих резисторів.

26. Розрахуємо струм, що протікає крізь R7 у верхньому плечі резистивного подільника В33 стабілізації вихідної напруги.

$$I(R7) = I_{\text{B}}(V7) + I(R8) = \\ = 9,999999E-04 + 9,999999E-05 = 0,0011 \text{ А.}$$

27. Розрахуємо максимальний опір верхнього плеча резистивного подільника датчику В33 стабілізації вихідної напруги.

$$R7 = (U_{\text{H}} - U(V8)\text{max} - U(V7cm)) / I(R7) = \\ = (5 - 3,8 - 0,6) / 0,0011 = 545,4547 \text{ Ом.}$$

28. Розрахуємо мінімально-припустиму потужність верхнього плеча резистивного подільника вихідної напруги схеми В33 стабілізації вихідної напруги.

Задано:

Напруга, що падає на одному пряму зміщеному переході база-еміттер транзистору V7: U(V7cm) = 0,6 В.

Струм, що протікає у верхньому плечі резистивного подільника датчику вихідної напруги системи В33 стабілізації вихідної напруги: I(R7) = 0,0011 А.

Розрахунок:

$$P(R7) = (U_{\text{H}} - U(V8)\text{max} - U(V7cm)) \cdot I(R7) = \\ = (5 - 3,8 - 0,6) \cdot 0,0011 = 0,00066 \text{ Вт.}$$

29. Розрахуємо мінімальний опір налаштувального резистора R6, який повинен перевищувати вдвічі максимальний паспортний розкід (у відсотках) опору резисторів подільнику R7 та R8 (dR76 = 25 %).

Розрахунок:

$$R6 = ((R7 + R8) / 100) \cdot 2 \cdot dR76 = \\ = ((545,4547 + 44000) / 100) \cdot 2 \cdot 25 = 22272,73 \text{ Ом.}$$

Номінали резисторів подільника R7 та R8 схеми стабілізації вихідної напруги зменшуються на такий же відсоток:

Розрахунок:

Зменшення розрахованого номіналу резистору R7 на величину:

$$dR7 = R7 / 100 \cdot 2 \cdot dR76 = \\ = 545,4547 / 100 \cdot 2 \cdot 25 = 272,7273 \text{ Ом.}$$

Таким чином, максимальний опір резистору R7 верхнього плеча резистивного подільника схеми В33 стабілізації вихідної напруги буде складати:

$$R7m = R7 - dR7 = 545,4547 - 272,7273 = 272,7273 \text{ Ом.}$$

Зменшення розрахованого номіналу резистору R8 на величину:

$$dR8 = R8 / 100 \cdot 2 \cdot dR76 = \\ = 44000 / 100 \cdot 2 \cdot 25 = 22000 \text{ Ом.}$$

Таким чином, максимальний опір резистору R8 нижнього плеча цього подільника буде складати:

$$R8m = R8 - dR8 = 44000 - 22000 = 22000 \text{ Ом.}$$

30. Розрахуємо мінімальну ємність вихідного фільтруючого конденсатору C2 (згідно [2], стор. 68, ф. 2.52).

Задано:

Коефіцієнт передачі струму регулюючого елементу: Eh₂₁₉ = 1000.

Вихідний опір стабілізатору: R_{вих.ст} = 0,01 Ом.

Гранична частота одиничного коефіцієту передачі струму регулюючим елементом: F(h₂₁₆) = 1E+07 Гц = 10000000 Гц = 10 МГц.

Розрахунок:

$$C2 = (23 \cdot E(h_{219})) / (R_{\text{вих.ст}} \cdot 2 \cdot \pi \cdot F(h_{216})) = \\ = (0,23 \cdot 1000) / (0,01 \cdot 2 \cdot 3,141593 \cdot 1E+07) = \\ = 3,660564E-04 \text{ мкФ} = 0,0003660564 \text{ мкФ.}$$

31. Розрахуємо прямий опір випрямляча (згідно [2], стор. 31, ф. 1.58).

Задано:

Падіння напруги на випрямляючому вентилі (ях) в прямому напрямку: $U(vd) = 0,6 \text{ В}$.

Кількість одночасно працюючих вентилів у випрямлячу: $Nvd = 2$ шт.

Максимальне значення струму навантаження: $I_{\text{н max}} = 10 \text{ А}$.

Розрахунок:

$$R_{\text{пр}} = U(vd) / I_{\text{н max}} = 0,6 / 10 = 0,06 \text{ Ом.}$$

32. Розрахуємо вольтодобавку для компенсації падіння напруги на випрямлячу.

Задано:

Кількість одночасно працюючих діодних вентилів у випрямлячу: $Nvd = 2$ шт.

Падіння напруги на випрямляючому вентилі в прямому напрямку: $U(VD1-4) = 0,6 \text{ В}$.

Розрахунок:

$$dU(VD1-4) = U(VD1-4) \cdot Nvd = 0,6 \cdot 2 = 1,2 \text{ В.}$$

33. Розрахуємо мінімальну ємність вхідного фільтруючого конденсатора C1:

(згідно формул: 1.73, стр.36; 1.76, стр.37; 1.79, стр.41; [2])

Задано:

Коефіцієнт згладжування: $Q_{\text{зг.}} = 25$.

Пряний опір випрямляча: $R_{\text{пр.}} = 0,06 \text{ ом.}$

Кількість фаз випрямляча: $Nvd = 2$ шт.

Частота напруги мережі живлення: $F_m = 50 \text{ Гц.}$

Розрахунок:

$$\begin{aligned} C_1 &= (1,5 \cdot 1000 \cdot Q_{\text{зг.}}) / (Nvd \cdot F_m \cdot R_{\text{пр.}}) = \\ &= (1,5 \cdot 1000 \cdot 25) / (2 \cdot 50 \cdot 0,06) = 6250 \text{ мкФ.} \end{aligned}$$

34. Розрахуємо мінімально припустиму діючу напругу на вторинній обмотці трансформатора при максимальному струмі навантаження:

Задано:

Мінімально припустима напруга на виході випрямляча VD1-VD4, на конденсаторі фільтру C1 та на вході схеми стабілізації: $EU(C1)_{\text{min}} = 8 \text{ В.}$

Вольтодобавка для компенсації падіння напруги на випрямлячу: $dU(VD1-4) = 1,2 \text{ В.}$

Розрахунок:

$$\begin{aligned} U(T1)_{\text{min}} &= EU(C1)_{\text{min}} + dU(VD1-4) = \\ &= 8 + 1,2 = 9,2 \text{ В.} \end{aligned}$$

35. Розрахуємо струм, що споживає схема стабілізації вихідної напруги:

Задано:

Мінімальне розрахункове встановлене значення струму керування регулюючим елементом: $I_{\text{н(упр)}} = 0,01 \text{ А.}$

Мінімальне розрахункове встановлене значення струму зміщення стабілітрону V8: $I_{\text{зм}}(V8) = 0,01 \text{ А.}$

Струм, що протікає у верхньому плечі резистивного подільника вихідної напруги схеми ВЗЗ стабілізації цієї напруги: $I(R7) = 0,0011 \text{ А.}$

Розрахунок:

$$\begin{aligned} El_{\text{сх.ст.}} &= I_{\text{н(упр)}} + I_{\text{зм}}(V8) + I(R7) = \\ &= 0,01 + 0,01 + 0,0011 = 0,0211 \text{ А.} \end{aligned}$$

36. Розрахуємо сумарний струм, що споживається від випрямляча.

Задано:

Струм, що споживає схема стабілізації вихідної напруги: $El_{\text{сх.ст.}} = 0,0211 \text{ А.}$

Максимальне значення струму навантаження: $I_{\text{н max}} = 10 \text{ А.}$

Розрахунок:

$$EI(VD1-4) = El_{\text{сх.ст.}} + I_{\text{н max}} = \\ = 0,0211 + 10 = 10,0211 \text{ А.}$$

37. Розрахуємо сумарну потужність, споживану від вторинної обмотки трансформатору.

Задано:

Сумарний струм, що споживається від випрямляча: $EI(VD1-4) = 10,0211 \text{ А.}$

Мінімально припустима середньодіюча напруга на вторинній обмотці трансформатора при максимальному струмі навантаження:

$$U(T1)_{\text{min}} = 9,2 \text{ В.}$$

Розрахунок:

$$\begin{aligned} P_{\text{втор.обм.трансф.}} &= U(T1)_{\text{min}} \cdot EI(VD1-4) = \\ &= 9,2 \cdot 10,0211 = 92,19411 \text{ Вт.} \end{aligned}$$

38. Розрахуємо потужність у первинній обмотці силового трансформатору.

Задано:

Сумарна потужність споживана від вторинної обмотки трансформатору:

$$P_{\text{втор.обм.трансф.}} = 92,19411 \text{ Вт.}$$

Коефіцієнт корисної дії трансформатору:

$$Ny(\text{трансф.}T1) = 0,9.$$

Розрахунок:

$$\begin{aligned} P_{\text{перв.обм.трансф.}} &= P_{\text{втор.обм.трансф.}} / Ny(T1) = \\ &= 92,19411 / 0,9 = 102,4379 \text{ Вт.} \end{aligned}$$

39. Розрахуємо струм первинної обмотки силового трансформатору:

Задано:

Потужність у первинній обмотці силового трансформатору:

$$P_{\text{перв.обм.трансф.}} = 102,4379 \text{ Вт.}$$

Максимальна напруга мережі живлення:

$$U_{\text{т max}} = 242 \text{ В.}$$

Розрахунок:

$$\begin{aligned} I_{\text{1(T1)}} &= P_{\text{перв.обм.трансф.}} / U_{\text{т max}} = \\ &= 102,4379 / 242 = 0,4232971 \text{ А.} \end{aligned}$$

40. Розрахуємо температурну нестабільність вихідної напруги стабілізатора з управлінням ТКН опорного джерела (стабілітрону) та кола зворотнього зв'язку:

Задано:

Номінальне значення вихідної напруги: $U_{\text{н}} = 5 \text{ В.}$

Мінімальне значення температури навколошнього середовища: $T_{\text{min}} = -10 \text{ }^{\circ}\text{C.}$

Максимальне значення температури навколо середовища: $T_{max} = 40^{\circ}\text{C}$.

Коефіцієнт нестабільності вихідної напруги в абсолютних одиницях: $b(U_h) = 0,1 \text{ В}$.

Температурний коефіцієнт стабілізації стабілітрону: $a(st) = -0,011 \text{ В/}^{\circ}\text{C}$.

Розрахунок:

$$\begin{aligned} bU_{nm+} &= ((U_h + bU_h) / U(st)_{min}) \cdot a(st) \cdot (T_{max} - 20) = \\ &= (((5 + 0,1) / 3,3) \cdot (-0,011)) \cdot (40 - 20) = -0,34 \text{ В.} \end{aligned}$$

$$\begin{aligned} bU_{nm-} &= ((U_h + bU_h) / U(st)_{min}) \cdot a(st) \cdot (20 + T_{min}) = \\ &= (((5 + 0,1) / 3,3) \cdot -0,011) \cdot (20 + (-10)) = -0,17 \text{ В.} \end{aligned}$$

Примітка: Для врахування розкиду параметрів компонентів:

Для мінімальних значень параметрів значення обраного номіналу слід збільшити на максимальне значення процента відхилення номіналу.

Для максимальних значень параметрів значення обраного номіналу слід зменшити на максимальне значення процента відхилення номіналу.

Схеми **рис.2** та **рис.3** були модифіковані перенесенням стабілітрону V8 ([2], стор.63, рис.2.5.) прямо на вихід ГСС (див. **рис.4**), де він позначений як VD7. Тому живлення стабілітрону (**рис.4**) стабільним струмом підвищує стабільність напруги на ньому на один-два порядки. Резистор R5 (**рис.2** та **рис.3**) струму початкового зміщення цього стабілітрону став виконувати функцію забезпечення початкового струму зміщення транзисторів регулюючого елементу та має маркування R3 (**рис.4**). Також додано найпростіший ланцюг захисту від перевищенння вихідного струму регулюючого елементу (VT3 та Rdc(R4)). При перевищенні струмом, що протикає крізь R4, величини при якій напруга база-еміттер VT3 стане перевищувати напругу відкривання цього транзистору. Це приведе до його відкривання і зниження напруги на керуючому вході регулюючого елементу і на вихіді

стабілізатору до безпечної рівні. Всі ці зміни відображені на електричній принциповій схемі, наведеній на **рис.4**. Відповідно до більш довершеної оптимальної схеми (**рис.4**) модифікована і розрахункова програма.

Компоненти вибираються з запасом за відповідними параметрами згідно розрахунків. Наприклад, при наявних даних розрахунків в якості VTre.1 (рис.4) можна використати транзистор KT819A, в якості VTre.2 можна використати транзистор KT815A, а в якості VTre.N (ну в даному випадку це буде VTre.3) можна використати KT503A. Інші компоненти схеми вибираються аналогічно, по їхнім паспортним параметрам з запасом відносно розрахованих даних.

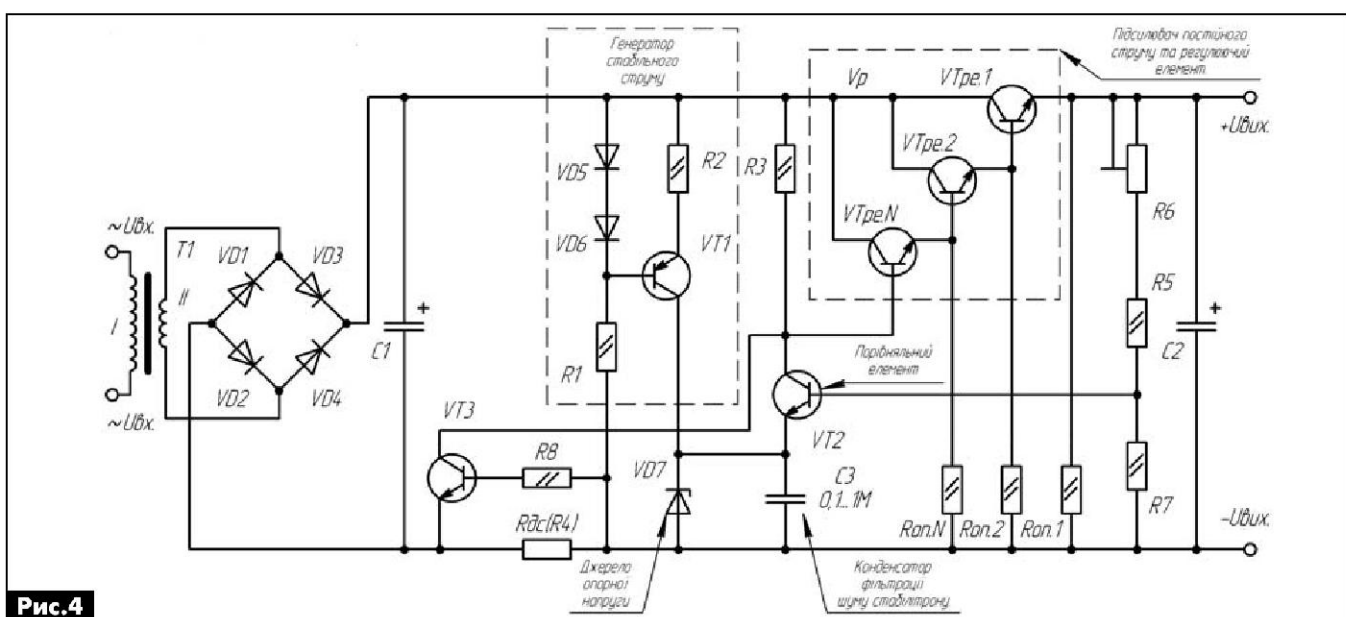
В разі необхідності схему, наведену на **рис.4** можна доповнити ланцюжками індикації резистор-світлодіод.

Програма написана мовою програмування BASIC (в середі розробки QBASIC).

На сайті видавництва «Радіоаматор» [3] розташовано архів з кодом цієї програми та англо-українсько-російським драйвером KEYRUS для корекції символів знакогенератору. Для коректного перегляду та запуску програми розрахунку лінійного компенсаційного джерела живлення слід виконати наступну послідовність дій: запустити VC (або FAR.EXE), в ньому запустити файл UKR-RUS.BAT, потім запустити QBASIC.EXE, в якому відкрити файл розрахункової програми. В разі потреби, внесіть в програму зміни та проставте власні числа і запустіть її на виконання (Shift + F5). Програма автоматично сгенерує файл звіту з розширенням .rep, який одразу можна відкрити в текстовому редакторі, наприклад у MSWORD відкрити як «текст DOS».

Література

3. <http://www.ra-publish.com.ua/> – сайті видавництва «Радіоаматор».



Маломощный бестрансформаторный регулируемый блок питания

Александр Алексенцев, Роман Проць, г. Львов

Постройка блока питания с большим диапазоном регулировки выходного напряжения без использования специально разработанных для этой цели микросхем и при наличии только дешевых радиоэлементов представляет определенные трудности. Это же касается и выбора или сборки источника входного нестабилизированного напряжения. Нами разработан и испытан такой блок питания с выходным максимальным током до 40 мА. На наш взгляд, некоторые схемные решения могут быть использованы как самостоятельно, так и в других применениях.

Схема блока показана на **рис.1**. Особенностью схемы является наличие емкостного делителя напряжения на конденсаторах C1, C2 и C3. При выбранных значениях емкостей конденсаторов к диодному мостику VD1 подводится напряжение 70 В. Выпрямленное мостиком напряжение сглаживается конденсатором C4 и подается на стабилизатор напряжения 30 В, собранный на транзисторе VT1 и стабилитронах VD2–VD4. Цепочка стабилитронов служит для получения стабилизованных напряжений 30 В и 17 В. Первое из них подается на базу транзистора VT1, второе – на регулятор выходного напряжения R2. Стабилизированное напряжение 30 В подается на коллектор регулирующего транзистора VT2 и служит напряжением питания программируенного операционного усилителя DA1.

Операционный усилитель включен по схеме повторителя напряжения и служит для подачи регулирующего напряжения на базу VT2. Использование операционного усилителя вместо повторителя напряжения на эмиттерном повторителе имеет свои преимущества: во-первых, не нагружается регулятор выходного напряжения R2, что обеспечивает линейность регулирования,

во-вторых, являясь микромощным, он потребляет ток не больше 1,3 мА. Если вместо усилителя применить транзисторный эмиттерный повторитель, то ток потребления увеличится до 5 мА. Подобрав транзистор VT2 с большим коэффициентом усиления β , ток потребления можно еще уменьшить увеличением сопротивления резистора R3, который задает режим операционного усилителя. Очевидно, что при малом значении β VT2 сопротивление резистора придется уменьшить. Необходимо отметить, что увеличение R3, т.е. управляющего тока через вывод 8, приведет к уменьшению DA1. Это необходимо учитывать для усилителя низкой частоты, для источника питания значение граничной частоты несущественно.

Остановимся на подборе конденсаторов сетевого делителя напряжения. Во многих случаях в таких делителях применяют бывшие в использовании конденсаторы, например, в платах строчной развертки старых телевизоров. Значения емкостей таких конденсаторов имеет большой разброс, и часто значение емкости на корпусе конденсатора трудно прочесть. Для определения емкости конденсатора нами предлагается схема, показанная на **рис.2**. Известно, что напряжение на конденсаторе для приведенной схемы определяется формулой:

$$U_C = \frac{1}{\sqrt{1 + (2\pi FCR)^2}} \cdot U_{сети}.$$

Если принять $R=695$ кОм, то измеренное напряжение на конденсаторе 1 мкФ равно 1 В. Если измеренное напряжение на конденсаторе в вольтах равно U_C , то емкость конденсатора в микрофардах равна $C=1/U_C$.

Значительно проще воспользоваться показанным на **рис.3** графиком зависимости между

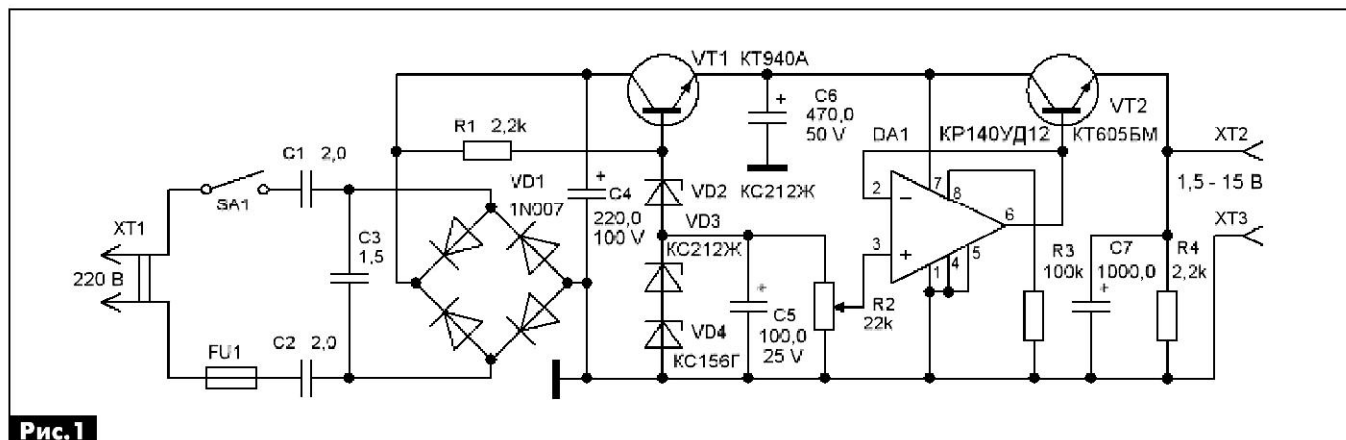


Рис.1

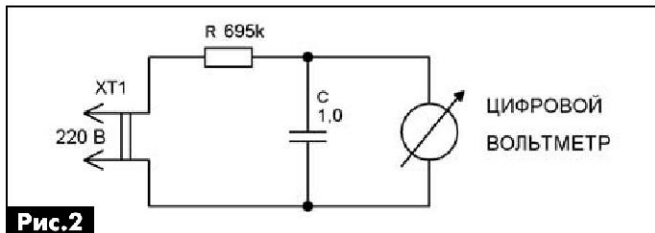


Рис.2

измеренным напряжением и емкостью конденсатора.

Здесь по горизонтали откладывается значение измеренного напряжения, а по вертикали – величина емкости в микрофарадах. Проводим вертикальную линию от значения измеренного напряжения до пересечения с графиком и на вертикальной оси отсчитываем значение емкости. Перед определением величины емкости необходимо убедиться, что напряжение в сети равно 220 В. Если оно меньше, то определенное по приведенной методике значение емкости будет больше от номинального, поэтому его необходимо уменьшить пропорционально уменьшению напряжения сети.

Следует отметить, что минимальное выходное напряжение меньше 1,5 В получить сложно. Максимальное выходное напряжение можно увеличить, подобрав стабилитроны так, чтобы на потенциометр подавалось напряжение более 15 В. Если вместо сетевых конденсаторов и мостика использовать более мощный выпрямитель или нестабилизированный источник, выходной ток блока питания можно существенно увеличить. В блоке можно применить практически любой операционный усилитель. Преимуществом про-

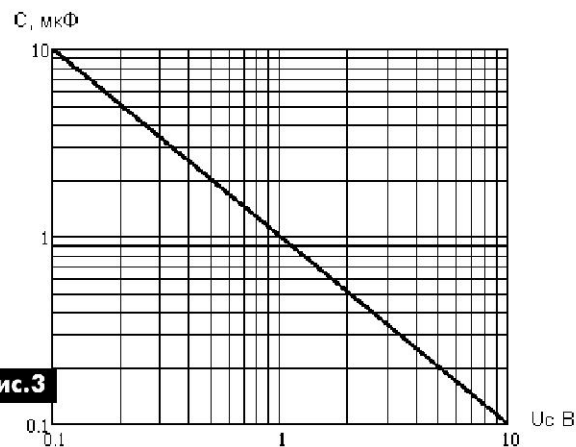


Рис.3

граммированного операционного усилителя является возможность уменьшения напряжения питания до 3 В. Если от постороннего источника питания на коллектор VT2 подать напряжение 6 В, то выходное напряжение можно изменять от 1 В до 4 В.

Внимание! Рассмотренный блок питания непосредственно соединен с сетью, поэтому его можно применять только для питания устройств без входных и выходных клемм, корпуса которых и самого БП тщательно изолированы. Для измерения режимов этого БП следует пользоваться только переносным тестером с изолированными наконечниками, исключить использование осциллографа и возможность касания руками к оголенным проводникам схемы. При этом оптимально при его регулировке и ремонте использовать сетевой разделительный трансформатор.

Памяти товарища!

13 ноября 2012 года на 66-м году жизни скоропостижно скончался высококвалифицированный радиоспециалист, радиолюбитель, постоянный автор и член редколлегии журналов «Радиоаматор» и «Электрик», отзывчивый товарищ и прекрасный человек **Яковлев Евгений Леонидович**.

Евгений Леонидович родился 6 января 1947 г. в г. Мытищи, Московской обл.

В 1970 г. с отличием окончил Киевский институт инженеров гражданской авиации (КИИГА). До 1972 года работал в КИИГА на кафедре теоретических основ радиотехники. В 1972 г. переехал в г. Ужгород, где работал начальником технического отдела Закарпатского предприятия «Бытрадиотехника», инженером-конструктором ОКБМ машиностроительного завода, начальником базы эксплуатации радиотехнического оборудования и связи, инженером I категории радиолокационной

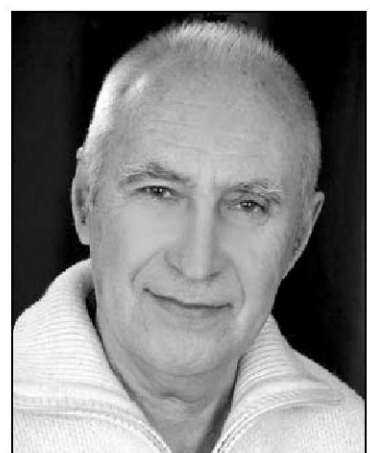
системы посадки в Ужгородском авиа-подразделении. Кроме того, он много лет преподавал на курсах радиомехаников ДОСААФ.

Радиолюбительским конструированием Евгений Леонидович занимался с детства, а первая его статья была опубликована в журнале «Радио» еще в 1963 г.

Светлая память о Евгении Леонидовиче Яковлеве навсегда сохранится в наших сердцах.

Скорбим в связи с кончиной Яковлева Е.Л., выражаем искреннее соболезнование родным и близким.

Коллектив издательства «Радиоаматор».



Свисток для владельцев собак

Евгений Яковлев, г. Ужгород

Многие владельцы собак знают как иногда проблематично «дозваться» своего четвероного друга, когда он убежит во время прогулки, например, за кошкой. А кричать на весь парк во весь голос – занятие не из приятных, как для владельца собаки, так и для окружающих. «Выручает» тот факт, что многие животные, в том числе и собаки, хорошо слышат звуки в очень высокочастотном диапазоне (ультразвуки).

Раньше в продаже редко, но можно было встретить специальные «свистки для собак». Сейчас в век бурного развития электроники для владельцев собак появилась возможность использования электронных устройств – генераторов ультразвука. Если владелец собаки к тому же еще и радиолюбитель, то он с интересом ознакомится с кратким пересказом статьи из английского журнала «Elektor» [1].

Принципиальная схема устройства показана на **рис. 1**. Собственно генератор ультразвука выполнен на микросхеме IC2. Автор [1] использовал стандартные и давно широко распространенные микросхемы таймеров типа NE555. Отечественным аналогом является МС КР1006ВИ1.

Микросхема включена по известной схеме астабильного мультивибратора. Через резисторы R3, R4 от источника питания схемы (9 В) заряжается конденсатор C2. Разряжается этот конденсатор через резистор R4 при изменении состояния микросхемы. Параметры указанных радиокомпонентов задают частоту генерации МС так, чтобы акустические сигналы излучателя Bz1 находились в диапазоне ультразвуков. Точное значение номиналов радиокомпонентов не критично, поскольку собаки слышат ультразвуки почти до 40 кГц, а слух людей к высоким звуковым частотам (более 8...10 кГц) с возрастом значительно ослабевает. Частоты выше 20 кГц люди вообще не слышат.

Для того чтобы собаки могли различать сигналы вызывных устройств своих владельцев и реагиро-

вали только на них, в схему **рис. 1** был введен еще один генератор. Он выполнен на таймере IC1 типа NE555. За счет использования в схеме диода D1 заряд конденсатора C1 производится через цепочку R1D1, а его разряд – через резистор R2 и открытый ключевой транзистор микросхемы IC1 (вывод 7 этой МС). При этом время открытого и закрытого состояния выхода МС (вывод 3) равны, а частота повторения выходных импульсов примерно равна 1,5 Гц.

Выходные импульсы микросхемы IC1, воздействуя на вывод 5 микросхемы IC2, вызывают периодическое скачкообразное изменение частоты генерации IC2. Это объясняется тем, что начальное напряжение на выводе 5 МС 555 задается параметрами внутреннего делителя напряжения питания этой МС. В зависимости от состояния выхода мультивибратора IC1 потенциал вывода 5 МС IC2 будет повышаться (на выходе IC1 присутствует единичный потенциал, который подается на IC2 через резистор R5) или понижаться (левый по схеме вывод резистора R5 через насыщенный выходной транзистор МС IC1 соединяется с общим выводом схемы).

Напряжение питания подается на схему при нажатии и удержании кнопки S1. В схеме имеется также кнопка S2. Она предназначена для проверки работоспособности устройства. При ее нажатии параллельно времязадающему конденсатору C2 подключается конденсатор C3. Это приводит к понижению частоты генерации МС IC2 примерно до 1,8 кГц. Эта частота уже хорошо различима на слух.

В дополнение к материалам публикации [1] можно высказать собственное предположение: на звуковых частотах (порядка 1,8 кГц) отдача специализированного ультразвукового излучателя Bz1 будет очень слабой, и обнаружить ее на слух будет не всегда возможно. Вероятно, было бы более целесообразным к выводу 3 МС IC2 подключить через балластное сопротивление (например, 330 Ом) дополнительный светодиод D3, а емкость конденсатора C3 увеличить раз в пять.

Такая доработка приведет к тому, что в рабочем режиме работы схемы **рис. 1** светодиод D3 будет светиться с пониженной яркостью свечения для наблюдателя постоянно. Никакой новой информации это, естественно, не дает, но при нажатии кнопки S2 «TEST» наблюдатель уже сможет заметить мигания светодиода D3. Остается проверить это предположение на практике. Это уже, вероятно, сделают заинтересованные радиолюбители.

Литература

1. Stefan Hoffmann, Dog Whistle for Ronja // Elektor. – 2011. – №7/8. – S.50–51.

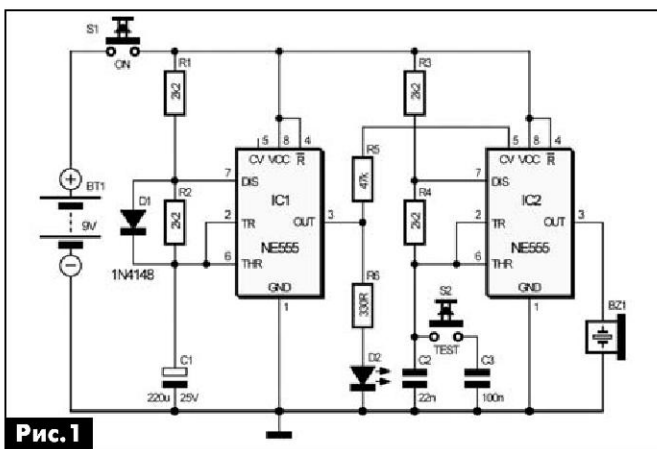


Рис. 1

Сергей Рюмик, г. Чернигов

(Окончание, начало см. в РА 3-11/2012)

Приближается Новый год – время подведения итогов. Каких именно? Итогов не окончательных, а промежуточных, ведь искусству микроконтроллерного программирования люди учатся многие годы, причем упорно и настойчиво.

Что сделано за 2012 год? Освоен новый тип МК, взят важный психологический барьер перехода от 8- к 32-разрядным моделям. Что дальше? Углубление знаний, расширение кругозора и, главное, практическая работа. Удачи!

Алфавитно-цифровые ЖК-модули

Речь пойдет о символьных ЖК-модулях, поддерживающих систему команд контроллера HD44780 фирмы Hitachi [10]. Такие индикаторы с организацией 16x2 стали стандартом «де-факто» в любительской аппаратуре. Как следствие, изучение процесса вывода информации на алфавитно-цифровые ЖК-модули (АЦЖК) является второй по важности тестовой задачей после «мигания светодиодов». Своего рода «Hello, world-2», что применительно к среде CoIDE означает картинку, изображенную на **рис.74**.

Поскольку МК семейства STM32F рассчитаны на пониженное питание от 3,3 В, то по сравнению с AVR- и PIC-контроллерами возникают нюансы, без знания которых АЦЖК сразу и не одолеешь.

Классификация АЦЖК

По организации знакомест:

- число горизонтальных строк 1...4;
- число символов в строке 8...40.

По цвету фона:

- с подсветкой – зеленые, желтые, оранжевые, красные, синие, белые;
- без подсветки – черно-белые.

По стилю надписей:

- позитивные (темные буквы на светлом фоне);
- негативные (светлые буквы на темном фоне).

По напряжению питания:

- «пятивольтовые» 4,5...5,5 В;
- «трехвольтовые» 2,7...3,6 В;
- широкодиапазонные 2,7...5,5 В.

По уровням логических сигналов:

- входы/выходы с уровнями, близкими к напряжению питания (КМОП);
- входы с уровнями ТТЛ, выходы с уровнями КМОП (ТТЛ-КМОП).

По интерфейсу сопряжения:

- параллельные с 4- или 8-проводной шиной;
- последовательные с интерфейсами SPI, I²C, UART.



Рис.74

Из всех рассмотренных (и оставшихся за кадром) параметров самыми важными для подключения STM32F являются три последних. Другие параметры больше относятся к конструктиву и определяются требованиями дизайна. На практике радиолюбители ставят те индикаторы, которые имеются у них в наличие. Следовательно, надо рассмотреть как можно больше вариантов электрических подключений «на все случаи жизни».

Схемы подключения АЦЖК

Подключение АЦЖК к модулю Discovery осуществляется комплексно [2]: узел информационных сигналов, узел контрастности и узел яркости. Если предположить, что подсветка отсутствует и применяется стандартный индикатор с параллельным интерфейсом, то остается лишь рассмотреть различные комбинации схем с питанием 3/5 В и разной технологией КМОП/ТТЛ-КМОП.

Дальнейшее упрощение касается числа информационных сигналов. Как известно, параллельные АЦЖК имеют 8-проводную шину данных DB0...DB7 и три управляющих сигнала: RS, R/W, E [10]. Если не требуется сверхвысокое быстродействие, то обычно применяют 4-проводной режим без сигналов DB0...DB3.

Итого, будут анализироваться схемы со следующими линиями связи:

- информационные DB4...DB7, RS, R/W, E;
- выводы питания Vdd, GND;
- вывод контрастности Vo;
- источник отрицательного напряжения Ve для низковольтных и широкодиапазонных АЦЖК;
- анод и катод светодиодной подсветки A, K.

Пояснения к схемам

Рис.75 – Если вывод R/W индикатора HG1 соединяется с общим проводом, то все сигналы идут в направлении от МК в АЦЖК. Производится запись информации, но без чтения внутренних регистров. Это нормальный режим для неспешных операций и упрощенного любительского программирования.

Входы ТТЛ-КМОП у индикаторов разных фирм имеют порог U_H от 0,7 до 2,4 В. В любом случае

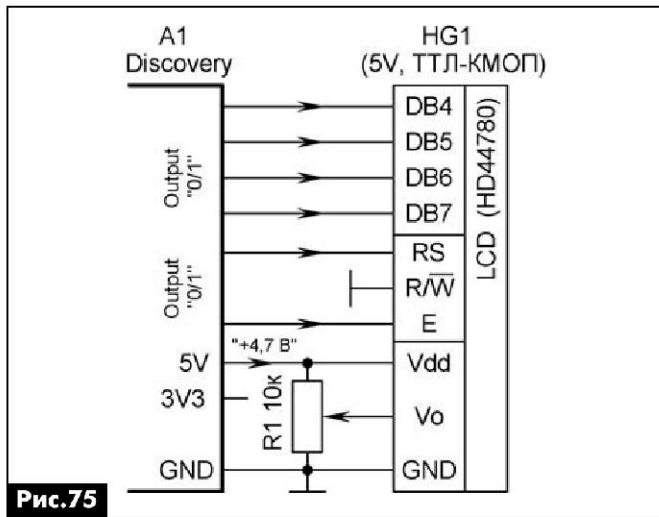


Рис.75

уровень лог.1 STM32F при нагрузке на один вход HG1 превышает U_{IH} , поскольку он совпадает с напряжением питания +3,3 В (рис.48, РА 6/2012). Следовательно, допускается прямое соединение всех линий без преобразователей уровня.

Здесь и далее регулирование контрастности осуществляется резистором R1 сопротивлением 10...22 кОм. Напряжение на его среднем выводе зависит от напряжения на контакте «5V» модуля Discovery, которое на самом деле составляет не +5 В, а +4,6...4,7 В из-за внутреннего диода Шоттки.

Рис.76 – Если вывод R/W индикатора HG1 соединяется с МК и последний периодически выставляет на нем уровень лог.1, то в этот момент сигналы по линиям DB4...DB7 изменяют свое направление и идут от АЦЖК в МК. Поскольку напряжение питания HG1 больше, чем МК, то возникает конфликт уровней. В этом случае спасает свойство отдельных линий STM32F работать в режиме толерантности (от лат. *tolerantia* – терпение) к повышенному напряжению 5 В. Какие именно линии в модуле Discovery поддерживают функцию «Input Float (5V)», можно посмотреть в программм-визарде (РА 11/2012).

Рис.77 – Аналогично рис.76, но для обычных, «не толерантных» линий МК, подключенных к цепям DB4...DB7. Такое может случиться, если

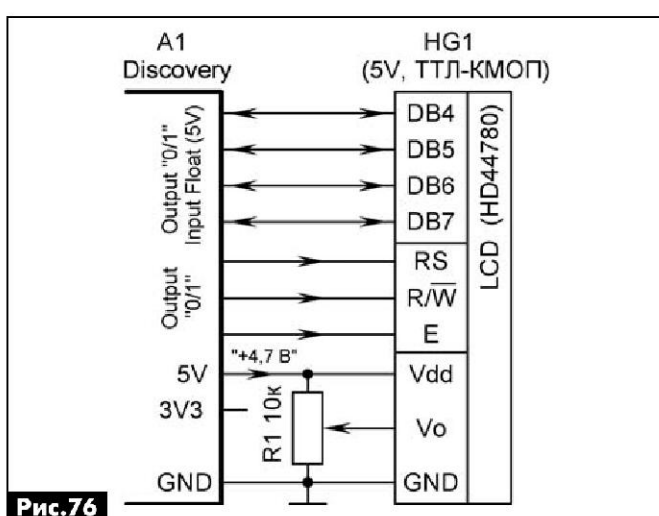


Рис.76

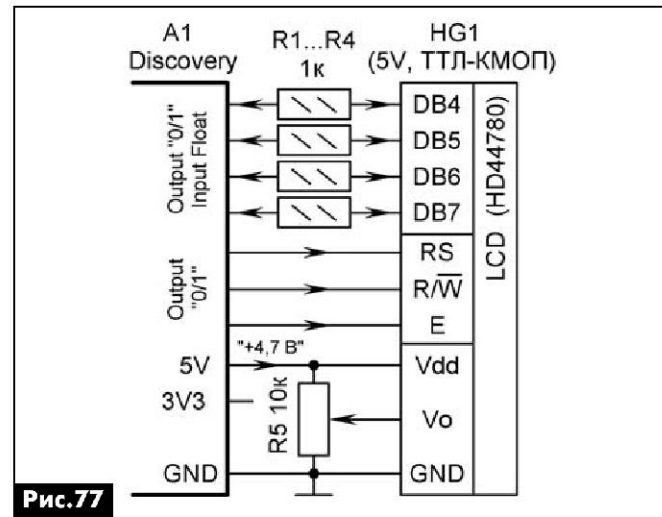


Рис.77

используется чужое программное обеспечение. Начинающие пользователи, как правило, не решаются сразу изменить что-либо в заимствованной программе, уж лучше доработать схему введением резисторов.

Сопротивления резисторов R1...R4 должны быть такими, чтобы втекающий в МК ток инжекции I_{bx} был меньше 5 мА (рис.78). На рис.79 показан экспериментально снятый график зависимости тока от сопротивления резистора Rx. Как видно, даже при нулевом сопротивлении втекающий ток 0,7 мА не опасен для жизни STM32F. Однако распространять данный график на все типы АЦЖК было бы наивностью. В даташитах об этом умалчивают, следовательно, чтобы не искушать судьбу, лучше поставить ограничительные резисторы.

Желающие могут провести простой эксперимент и увеличить один из резисторов до появления визуальных сбоев в работе индикатора. Например, в модели MTC-16204X максимально допустимое сопротивление составляет около 8 кОм, следовательно, ограничительные резисторы R1...R4 смело можно ставить 820 Ом, т.е. на порядок меньше.

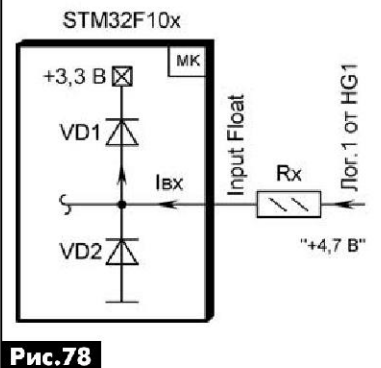


Рис.78

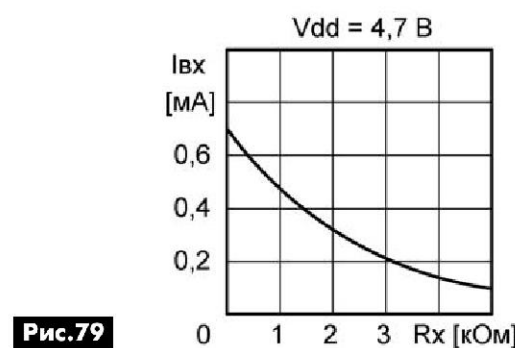
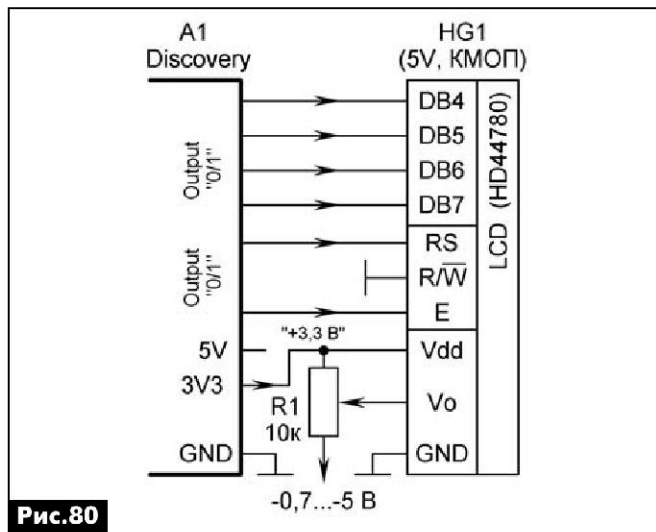


Рис.79

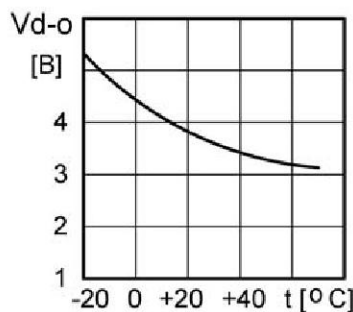
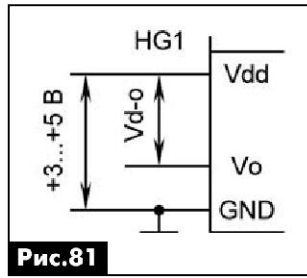
Рис.80 – Аналогично рис.75, но для индикаторов с уровнями КМОП. Отличить индикатор КМОП от ТТЛ-КМОП можно по параметру в даташите U_{IH} , который для первого равен 0,7Vdd (70% от напряжения питания), а для второго – 0,7...2,4 В.

Для согласования уровней «3/5 В» обычно применяют двунаправленные схемы на транзисторах или буферных микросхемах (<http://www.easyelectronics.ru/Shematech/soglasovanie-logicheskikh-urovney-5v-i-33v-ustroystv.html>), но в данном случае проще снизить напряжение питания HG1. Практикой доказано, что «пятивольтовые» индикаторы устойчиво работают при напряжении 3 В, однако здесь возникают проблемы с контрастностью изображения.



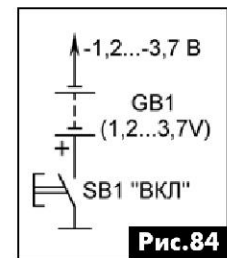
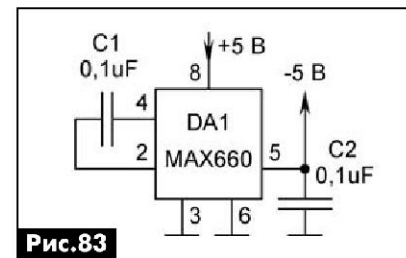
На **рис.81** приведена схема, поясняющая, что оптимальная контрастность зависит не от абсолютного напряжения на выводе Vo , а от разности напряжений относительно питания. В даташитах обычно приводятся цифры зависимости $Vd-o$ от температуры. На **рис.82** построен график, из которого становится понятно, почему при разной температуре окружающей среды надо периодически подкручивать резистор контрастности.

Пример. При питании $Vdd = +5$ В, температуре $+20^{\circ}\text{C}$ и разности $Vd-o = 3,8$ В резистором надо установить напряжение на выводе $Vo = +1,2$ В. При пониженном пита-



нии $+3,3$ В на вывод Vo нужно подавать уже отрицательное напряжение $-0,5$ В. Но где его взять?

На помощь придут схемы, изображенные на **рис.83...85**. Индикаторы спокойно выдерживают большое отрицательное напряжение, вплоть до -15 В, поэтому опасаться его превышения не надо. Ток потребления по цепи Vo составляет сотни



микроампер, что значительно продлевает время эксплуатации батареи $GB1$ даже при постоянно включенной кнопке $SB1$.

Рис.86 – Аналогично рис.80, но для двунаправленной шины данных. Переменный резистор контрастности для разнообразия заменен постоянным $R1$. Это допускается для тех АЦЖК, у которых внутри находится «pull-up» резистор (проверяется экспериментально). При этом снижается ток потребления от источника отрицательного напряжения, правда, несколько ухудшается стабильность параметров.

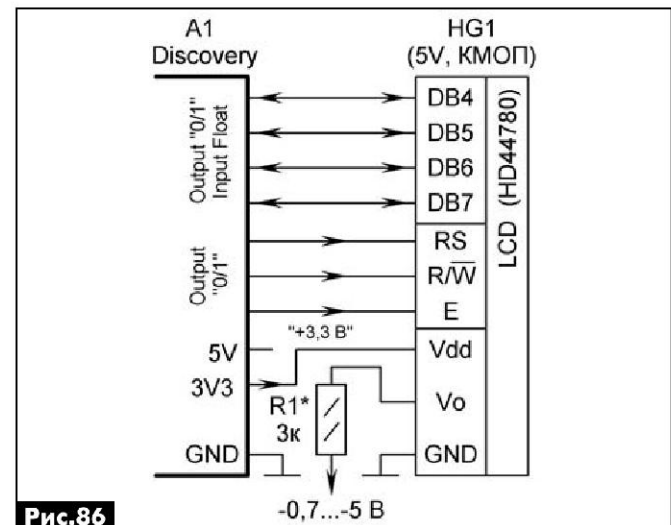
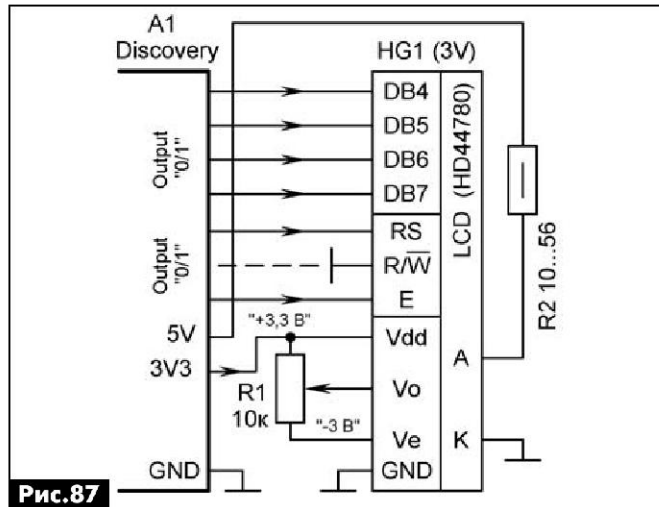


Рис.87 – Аналогично рис.80, но для «трехвольтовых» и широкодиапазонных АЦЖК. Они имеют встроенный инвертор напряжения, поэтому и стоят дороже. Отрицательное напряжение -3 В выводится на контакт 15 и регулируется резистором $R1$.

Важный момент. В «пятивольтовых» индикаторах контакт 15 предназначен для анода светодиодной подсветки. Именно поэтому в «трехвольтовых» индикаторах подсветку следует подключать не к



выводам 15, 16, а к выводам с маркировкой «A», «K». Сопротивление резистора яркости R2 зависит от типа применяемых светодиодов – 10 Ом при требуемом напряжении 4,2 В (20...120 мА) и 56 Ом при напряжении 2,8...3,2 В (20...30 мА).

Программная часть

Достоинством бесплатной среды CooCox являются встроенные примеры программ. Не обойдены вниманием и индикаторы АЦЖК с организацией 16х2. Любопытно, что электрические схемы в тестовых примерах не приводятся, их надо составлять самостоятельно, используя дедуктивный метод.

Порядок действий.

1) Скачать свежую версию среды ColDE-1.6.0 на странице http://www.coocox.org/CooCox_ColDE.htm после бесплатной регистрации (162 Мбайт). В новой версии стал несколько другим дизайн и изменилось расширение файлов проекта – было *.cob, стало *.sorgo. Компилятор остался прежним, он скачивается по ссылке: https://launchpad.net/gcc-arm-embedded/4.6/4.6-2012-q2-update/+download/gcc-arm-none-eabi-4_6-2012q2-20120614.exe (56 Мбайт) и устанавливается на диск C:\.

2) После запуска среды ColDE надо задать, как обычно, путь к Си-компилятору: «Project–Select Toolchain Patch–C:\Program Files\GNU Tools ARM Embedded\4.6 2012q2\bin–нажать OK». Настроить параметры программатора: «Project–Configuration–Debugger–**рис.88**».

3) Создать новый проект с именем «lcd16x2», для чего на первом шаге указать фирму ST, на втором – выбрать тип MK STM32F100RB, на третьем – поставить галочку возле библиотеки ввода-вывода GPIO. Задать уровень оптимизации: «Project–Configuration–Compile–Optimize More (-O2)».

Еще можно отобразить нумерацию строк, для чего подвести указатель к вертикальному бегунку листинга и правой кнопкой мыши поставить галочку напротив «Show Line Numbers».

4) После создания проекта в левом верхнем окне «Device» во вкладке «Peripheral.ST» выбрать пункт «GPIO (with 4 examples)». В появившемся

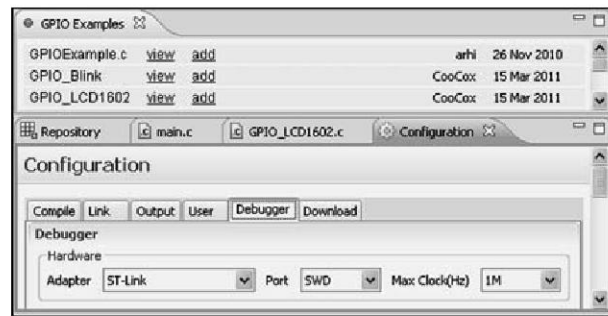


Рис.88

вверху окне будут видны указатели на 4 примера программы. Чтобы все они нормально работали, необходимо подключение к Интернету. Выбрать строку «GPIO_LCD1602» и нажать «add» (рис.88). После этого в программу «main.c» будет добавлена функция примера работы с АЦЖК (рис.89).



Рис.89

5) В левом нижнем окне «Project» открыть строку «example», выделить файл «GPIO_LCD1602.c» и двойным кликом мыши вывести его содержимое на экран. Теперь начинается самое интересное – детективный процесс восстановления электрической схемы по загадочным надписям в Си-файле. Результаты расшифровки «черного ящика» представлены в **табл.14** и на **рис.90**.

6) Выполнить компиляцию проекта и программирование МК, нажимая соответствующие пиктограммы в верхнем меню. Если все сделано правильно, то на экране HG1 должна появиться картинка как на рис.74. Если на экране пусто, то не следует сразу «прогноз погоды на Мадагаскаре», надо первоначально покрутить в разные стороны переменный резистор R5.

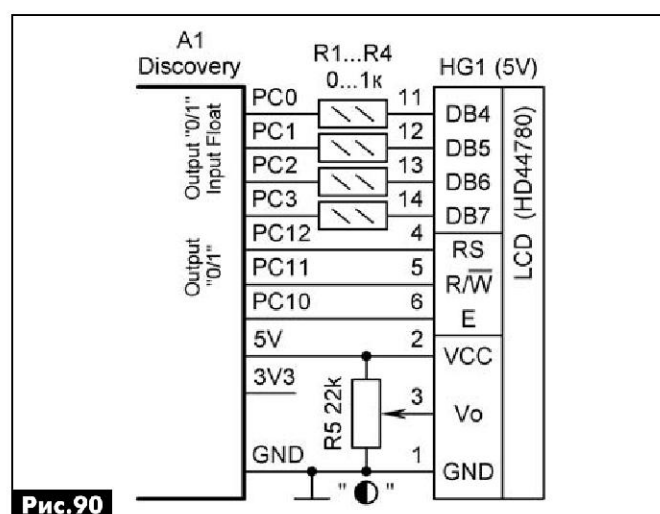


Табл.14

Строка	Операторы в программе «GPIO_LCD1602.c»	Комментарии
9	#define EN GPIO_Pin_10	Сигнал E, линия 10, порт не указан
10	#define RS GPIO_Pin_12	Сигнал RS, линия 12, порт не указан
11	#define RW GPIO_Pin_11	Сигнал R/W, линия 11, порт не указан
123, 135	GPIO_InitStructure.GPIO_Pin = GPIO_Pin_0 GPIO_Pin_1 GPIO_Pin_2 GPIO_Pin_3;	Сигналы DB4...DB7, линии 0...3, порт не указан
147 (160, 161 и т.д.)	u16Temp = GPIO_ReadInputData(GPIOC)&0x000F;	Ключевое слово «GPIOC» указывает на порт C

Результаты анализа – в АЦЖК используется четырехпроводной режим с двухсторонним обменом данными. Все линии МК подключаются к порту «C» модуля Discovery. Линии PC0..PC3 не являются толерантными к 5 В, поэтому нужны ограничительные резисторы

Экспериментальная часть

Откомпилировать чужой листинг – это полдела. А как создать на его основе свою собственную программу? Для этого предлагается использовать Си-функции файла «GPIO_LCD1602.c» в качестве библиотечных. В **табл.15** приведены правила их вызова.

Листинг 12 служит примером использования функций ЖКИ для организации «бегущей строки». Эта программа взята практически один к одному из цикла статей про AVR-контроллеры [11], там же имеются подробные пояснения. Единственное, что файл библиотечных функций в старой программе надо было создавать самостоятельно, а в новой программе он заимствован из «GPIO_LCD1602.c».

Порядок создания нового проекта «lcd_run» аналогичен рассмотренному ранее проекту «lcd16x2». После получения картинки шаблона как на рис.89, надо удалить с экрана все строки и заменить их взятыми из текста листинга 12. Тонкость в том, что удаление строк шаблона не ведет к удалению присоединенного файла «GPIO_LCD1602.c»,

Листинг 12

```

1 //Бегущая строка на ЖКИ 16x2 (HD44780), РА12/2012
2 #include "stm32f10x_gpio.h" //Библиотека GPIO
3 #include "string.h" //Библиотека работы со строками
4 void Lcd_Init(void); //Инициализация ЖКИ
5 void Lcd_Clear(void); //Очистка экрана ЖКИ
6 void set_cursor(int column, int line); //Установка курсора
7 void Lcd_Print(char *string); //Вывод текста
8 void Lcd_Write_Command(uc8 command); //Запись команды
9 void Lcd_Write_Data(uc8 data); //Запись данных
10 void Delay(vu32 nCount); //Задержка времени
11 //const char text[]=" Журнал Радиоаматор"; //По-русски
12 const char text[]=" Jurnal Radioamatör"; //Реальный текст
13 //=====
14 int main(void) //Проект "lcd_run", STM32VLDiscovery
15 { unsigned char a, b, x; //Счетчики
16   Lcd_Init(); //Инициализация ЖКИ, настройка линий порта C
17   Lcd_Clear(); //Очистка экрана ЖКИ
18   set_cursor(1,1); //Курсор на знакоместе 2 в нижней строке
19   Lcd_Print("ra@sea.com.ua"); //Надпись внизу: E-mail РА
20   Lcd_Write_Command(0x0C); //Сделать курсор невидимым
21   b=strlen(text); //Длина текста бегущей строки (string.h)
22   while(1) //Бесконечный цикл индикации бегущей строки
23   { for(a=0; a < b; a++) //Выбор очередного символа текста
24     { for(set_cursor(0,0), x=1; x<16; x++) //Верхняя строка
25       { if((x+a) < b) Lcd_Write_Data(text[x+a]); //Текст
26         else Lcd_Write_Data(text[x+a-b]); //Конец текста
27       } //Все символы массива text[] выведены на экран ЖКИ
28       delay(1000000); //Скорость бегущей строки
29     } //Окончание индикации одного прогона текста
30   }
31 } //CIDE-1.6.0, GCC-4.6-20120614, -O2, 3676 байтов (2,8%)

```

Табл.15

Описание функций в «GPIO_LCD1602.c»	Комментарии	Пример
void Lcd_Init(void);	Начальная инициализация АЦЖК	Lcd_Init();
void Lcd_Clear(void);	Полная очистка экрана	Lcd_Clear();
void set_cursor(int column, int line);	Установка курсора – <позиция>, <строка>	set_cursor(8, 1);
void Lcd_Print(char *string);	Вывод текста, заключенного в скобки	Lcd_Print(«abcdefg»);
void Lcd_Write_Command(uc8 command);	Запись команды – расшифровка в [10]	Lcd_Write_Command(0x02);
void Lcd_Write_Data(uc8 data);	Вывод одного символа	Lcd_Write_Data('k');
void Delay(vu32 nCount);	Задержка времени	Delay(1000);

который по-прежнему находится в проекте в папке «example».

После компиляции и программирования МК на экране индикатора вверху должна появиться бегущая строка «=Журнал Радиоаматор=», а внизу – адрес почтового ящика РА «ra@sea.com.ua».

Внимательный программист обязательно заметит, что нижняя надпись на экране ЖКИ почему-то начинается с первой (а не со второй) позиции слева, как было задумано в строке 18 листинга 12. Почему? Потому что в файле «GPIO_LCD1602.c» имеется малозаметная ошибка китайского программиста. В строке 238 надо исправить текст по примеру:

- имеется «address = (line * 40) + column;»,
- должно быть «address = (line * 0x40) + column;».

После этой коррекции библиотекой функций GPIO_LCD1602 можно смело пользоваться, не опасаясь за непредвиденные результаты.

И последнее. За 2012 год существенных изменений в ценовой политике фирм Atmel, Microchip и STM не произошло. Если сравнивать популярные «любительские» микросхемы AVR-, PIC и STM32-контроллеров, то младшие модели STM32F05x, STM32F10x по-прежнему дешевле со-поставимых 8-разрядных собратьев, на голову опережая их по многим параметрам. Следовательно, курс на изучение 32-разрядных МК взят правильный, и он может быть продолжен в 2013 году.

Литература

10. Рюмик, С. Микроконтроллеры AVR. Ступень 6 / Сергей Рюмик // Радиоаматор – 2005. – № 6. – С. 35-39.
11. Рюмик, С. Микроконтроллеры AVR. Ступень 7 / Сергей Рюмик // Радиоаматор – 2005. – № 7. – С. 35-39.

От редакции. Листинги программ опубликованы на сайте журнала РА.



Настройка и работа с программой EasyPal

**Леонид Вербицкий (UR5LAK),
Максим Вербицкий (US4LP), г. Балаклея, Харьковской обл.**

(Продолжение. Начало см в РА 11/2012)

Запустив программу, выберите вверху «Setup». В этой закладке выбираем «Language» и далее «User Defined». Теперь программа почти полностью на русском языке. Нужно прописать свой позывной в программе. Наш «SETUP» теперь называется «Установка», туда и заходим. Находим «Callsign», думаю, не составит вам большого труда написать свой позывной и кликнуть OK. Вновь заходим в «Установки», выбираем «Soundcard» (рис.2). В открывшемся окне выбираем вашу звуковую карту, для «TX» и «RX», выбрав, нажимаем «Assing». Программа готова к работе.

Можно попробовать принять работу какого-либо корреспондента. Основная масса работает на 14,230 (вызывная частота) 14,233; 14,236; 14,239 МГц USB. Избегайте SSTV на 14,227 МГц, потому что здесь работает телефоном DX Net. Вечером на 3,733 МГц LSB. На других диапазонах используются следующие частоты: 7,173 МГц LSB, 21,334; 21,337; 21,340 (вызывная частота), 21,343; 21,346 МГц. Избегайте SSTV около частоты 21,350 МГц, потому что на этой частоте проводится телефонный DX Net. 28,673; 28,677; 28,680 28,683; 28,686; 28,690 (репитер K3ASI); 28,700 (репитер ON4VRB) МГц USB. Услышав характерный цифровой звук, можете настраиваться по водопаду. 80% всего SSTV трафика проходит на этих частотах. Просьба не передавать SSTV-картинки между этими частотами. Это создает много QRM. Интервал 3 кГц между близко расположеными станциями действительно необходим для связи без проблем.

Окно «CALLSIGN»

Следует отметить, если у вас в окне справа не загорелись все квадратики зеленым цветом, «Sync», вы ничего не примете. Сигнал корреспондента должен быть достаточно сильным (рис.5). При уверенном приеме, в окне слева, строка «Callsign», высветится позывной передающей станции. Ниже, зеленым цветом будет указываться уровень сигнала, он должен находиться в середине дисплея RX или чуть более, желательно не дальше черной отметки – черточки. Несовпадение частоты канала в Гц. Гистограмма SNR показывает отношение сигнал / шум, рядом высвечивается его численное значение в децибелах. Также на панели отображается информация о количестве сегментов в принимаемом файле, принятых корректно, и потерянных сегментах. Переходим в окно «RX» «TX». В столбце «RX» вы будете видеть

информацию, в каком «Режим», с какой полосой и прочее, работает на передачу ваш корреспондент, определяется автоматически. В столбце «TX» вы сами устанавливаете параметры программы на передачу. Для примера, наведите курсор мышкой на строчку «Реж.» и кликните. Происходит изменение с «Реж.» А в «Реж.» В или С. Любые изменения в TX-столбце сохраняются.

Вы можете выбрать способ кодирования. Щелкаем правой кнопкой мыши «RS1» – очень легкое кодирование, «RS2» – легкое кодирование, «RS3» – среднее кодирование, «RS4» – тяжелое кодирование. Щелкните правой кнопкой мыши для переключения между четырьмя уровнями кодирования RS 1–4.

Чем сильнее кодирование, тем больше времени передачи файла. При работе на KB, достаточно установить «Реж.» В, «Полоса» – 2,4, «Ошибка» – HI, «QAM» – 16, «LeadIn» – 24. В окошечке «Sync» отображается информация о приёме. Зеленый цвет «MSC» указывает на полный захват канала. При зелёном цвете «FAC» доступ к каналу, высвечивается позывной корреспондента. «Frame» обозначено зеленым, синхронизация окна. «Time» – время синхронизации. «IO» – звуковая карта активна. Индикатор RX должен загореться ярко-зеленым цветом, и появится рядом число герц отклонения от частоты, идеально, если 0, т.е. нужно подстроиться трансивером по минимуму. Данные не будут декодированы до тех пор, пока уровень принимаемого сигнала не достигнет уровня MSC.

«TX» ПЕРЕДАЧА.

Начало передачи файлов.
Replay RX. Воспроизводит последний полученный файл. Он может быть переименован, но будет иметь точно такое же содержание.

ПРЕРВАТЬ. Позволяет останавливать WAV-, BSR- или FIX-передачу.

WAV. Выбор «Play звук File» из списка. Выбрав wav-файл и нажав кнопку «TX сейчас», будет немедленно воспроизведен звук из этого wav-файла. Создать wav-файлы можно с помощью меню «Водопад рисунок», «Водопад текст» или внешних программ, (HamPAL или DIGTRX). Эти особые звуковые файлы должны быть помещены в основную папку EasyPal.

ProgRX – прогрессивная RX. Проверьте, чтобы просматривать изображения. Использование прогрессивной RX может замедлить другие процессы, такие, как водопад дисплея.

К сожалению, этим видом работает еще мало радиолюбителей. Возможно, вам придётся дать общий вызов, дав понять, что вы на частоте. Это можно сделать, передав какую-нибудь картинку,



файл или, как в основном делают, передать информацию на «Водопаде». Для этого нужно подготовить текстовую информацию. В самой верхней строке программы находим и кликаем «Водопад текст». Выходит закладка «Водопад текст» (**рис.6**). Все очень просто и ясно. В черном окне вводите текст. Движок WAV. Уровень от 0 до 20 – регулятор громкости передачи. Шрифт – выбираем шрифт. Желательно выбирать толще, на водопаде будет виден более контрастно. TX сейчас – передается сразу, без сохранения.



Рис.6

для передачи данных макросов служит кнопка «WAV» на панели управления (**рис.7**). Нажав кнопку, увидите закладку «Проиграть wave». Выберите нужный макрос, например CQ UR5LAK, нажмите кнопку «TX Сейчас». Радиолюбители увидят, что вы приглашаете всех для проведения QSO! Пока оставим закладку «Проиграть wave» в покое, так как с четырьмя кнопками внизу все понятно. «TX сейчас» – передаем файл. «Выход» – закрываем окно. «Удалить» – удаляем выбранный файл. «Переименовать» – присвоить другое имя файлу в закладке «UserWaveFiles». О четырех кнопках выше – несколько позже. В процессе активного вызова, вас увидел корреспондент. Он может позвать вас как микрофоном, так и передачей изображения на

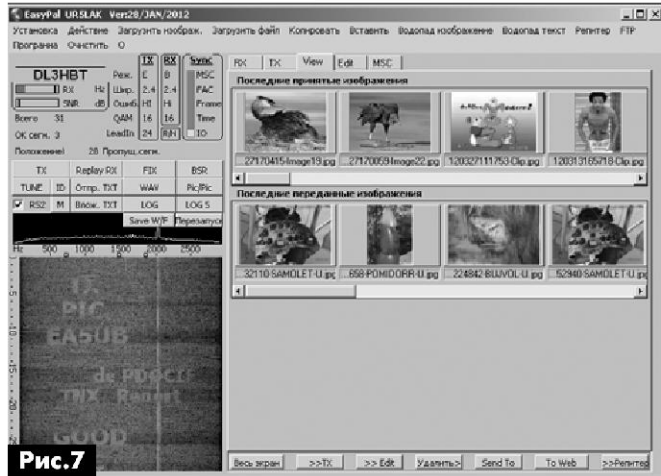


Рис.7

«Водопаде». Скажем примерно так: «UR5LAK de UR8MH Hello!». Для примера упомянут позывной Анатолия UR8MH – его довольно часто можно увидеть. Обменявшись приветствиями, вы решили передать друг другу свои фотографии, они у вас находятся, например, в каталоге E:\My Photo\.

Меню «Загрузить изображение»

При выборе этого меню появляется окно выбора изображения или файла из тех, которые есть в компьютере. Выбранное изображение при загрузке конвертируется в формат JPEG2000 (JP2). При передаче имя изображения меняется, например, на «#####-originalfilename.JP2», где: «#####» – 12-значный номер, представляющий текущий год / месяц / день / часы / минуты / секунды.

Для загрузки изображения находим в верхней строке программы, в окне настроек и установок, «Загрузить изображение» (**рис.8**). Кликнем по ней и далее все так же, как в WINDOWS: находим, выбираем, кликаем. В заключение поиска в закладке «TX» главного окна программы появится выбранная картинка, а внизу главного окна – регулятор уровня с кнопкой «уст». Данным движком можно сжимать изображение, вследствие чего уменьшается время передачи. Не забывайте после каждой переустановки движка нажимать кнопку «уст». Рядом расположена «Gamma» со стрелками, это работа с освещенностью.

Выбирайте для начала изображения как можно меньшего объема, иначе изображение будет передаваться очень долго. Установив приемлемое по качеству изображение, например 16, остаётся нажать только кнопку «Передача». Ваше первое QSO состоялось! Аналогично изображению передаются и различные файлы, за исключением того, что в верхней строке программы, в окне настроек, выбираем «Загрузить файл». Передаются файлы с различным расширением, все упирается в длительность передачи. Объёмные файлы передаются очень долго. Теперь разберёмся, что делать если изображение или файл не были полностью приняты.

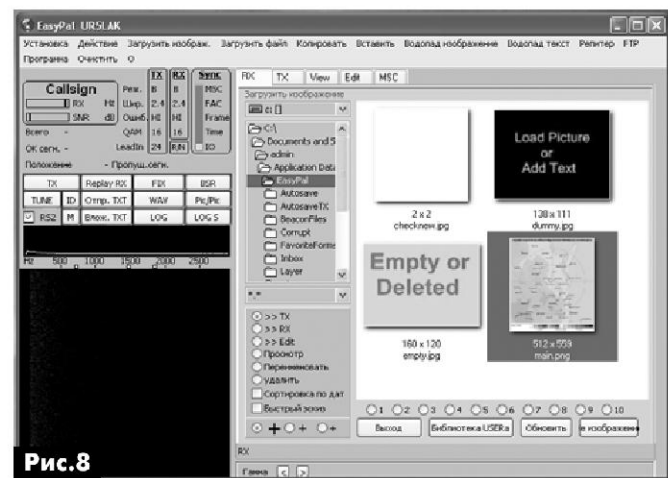


Рис.8



Кнопки управления передачей

BSR служит для управления BSR-запросами. BSR-запрос – это сообщение, формируемое программой EasyPal в случае, если информация от корреспондента была принята не полностью, пропущены сегменты вследствие QRM, QRN, QSB. Для тех передач, которые завершились неполным приемом файлов, в окне «BSR-запросы» будет сформировано соответствующее сообщение. Выберите нужное сообщение из списка для отображения частичного изображения (при наличии) и другой информации. Там могут быть более чем один файл за одно и то же изображение. Если это так, то следует выбрать тот, который имеет наименьшее число недостающих сегментов. Выбор «Файл» необходим только при использовании «Отправить Выбранный запрос».

«Отправить Выбранный запрос». Внимание! Передача данного BSR может заблокировать несовместимые системы (DIGTRX и HamPal). Данный BSR будет доступен после закрытия и перезапуска EasyPal. Вы должны выбрать файл из списка прежде, чем нажать кнопку «Send Selected Request» («Отправить Выбранный запрос»).

«Старый тип Быстрая BSR (не совместимо)». Это обычный тип BSR. Используется, когда с просьбой восстановления битых сегментов от передающего корреспондента принимаемый корреспондент также работает в EasyPal. Этот тип BSR, конечно, немного отличается от используемого формата BSR в ранних версиях программы. Он называется «Fast BSR», поскольку использует сокращенный указатель не принятых сегментов. Этот новый «Быстрый BSR» отправит быстрее, так как текстовый файл с перечнем выпавших сегментов меньше. Один недостаток использования новых «Fast BSR» заключается в том, что старые программы, такие как HamPal, не могут определить все требуемые сегменты. HamPal в состоянии направить исправления для двух или трех сегментов сразу. Эта проблема возникает, когда рисунки переданы из HamPal в EasyPal. «Старый Тип» BSR-запрос не требует, чтобы выбрать имя файла. «Старый Тип» BSR-запрос может быть недоступен. Вы получите сообщение «Нечего исправить». Это, скорее всего, если у вас есть BSR полученный от другой станции. В этом случае, имеет смысл приемной станции направить не принятую часть файла.

В зеленой части окна будет выдаваться информация о приеме ошибок и о пропущенных сегментах, также предложение отправить BSR. BSR – это информация о не принятых сегментах, которую нужно передать корреспонденту, чтобы исправить и пополнить информацию. Для этого нажимаем кнопку BSR, на вопрос об отправке BSR отвечаем утвердительно «YES». Ваши файлы об ошибках ушли корреспонденту. Приняв их, ваш корреспондент нажимает кнопку «Send segments». Будут отправлены вам недостающие сегменты. Если вы вновь не приняли информацию, повторяем все заново. И так несколько раз, до полного приема.

«Сегмент Плохой» Каждый BSR-запрос начинается с передачи короткого текстового файла, содержащего номера сегментов, которые отсутствовали в последнем принятом файле (or selected file).

Кнопка управления «BSR». Нажав её, появится закладка «BSR-запрос», на которой выбираете строку, переданную вашим корреспондентом (вверху синяя выделенная строка), и нажимаете кнопку «Отправить выбранный BSR». Программа переключится на передачу и пошлет сведения о неполученных сегментах. Приняв от вас «BSR», корреспондент отправляет вам «битые сегменты», посредством нажатия кнопки «FIX».

FIX: формирует последний FIX-запрос. Используйте ее, когда приемная станция требует повторения того же FIX-сообщения снова. После получения BSR-запроса, вы получите сообщение. Это может быть сообщение, подобное этому: «-UR8MH-Requests-63/92 Сегменты по-070707122834-cat1.jp2». Просто нажмите кнопку «FIX СЕЙЧАС» прислать FIX. Это может быть сообщение, подобное этому: «вы можете восстановить 63/92 сегментов в 070707122834-cat1.jp2 для UR8MH». Просто нажмите кнопку «FIX СЕЙЧАС» прислать FIX. Это может быть сообщение, подобное этому: «Это BSR не для вас». У вас нет этого файла. Это BSR-запрос для другого корреспондента. Если нет никаких сообщений в окне, и вы считаете что получили BSR-запрос OK, вы можете отправить FIX. FIX передает слово «FIX» в водопаде перед началом передачи данных.

Выйдет закладка «Последний FIX-запрос». На закладке нужно нажать только кнопку «FIX Сейчас». Программа отправит недостающие и исправит битые сегменты. Вся эта процедура может повторяться несколько раз, до полного получения информации. При плохом прохождении обычно используют более долгие по времени установки и способы кодирования. Скажем, к примеру, такие установки: Реж. – B, Полоса – 2.4, Ошибки – HI, QAM – 4, LoadIn 24. Кодирование выбираем RS2. Время передачи увеличивается на порядок, но при данных установках вы можете принять всё с первого раза (рис.9).

Посмотрите просмотриком программы, который находится в главном окне закладка «View».

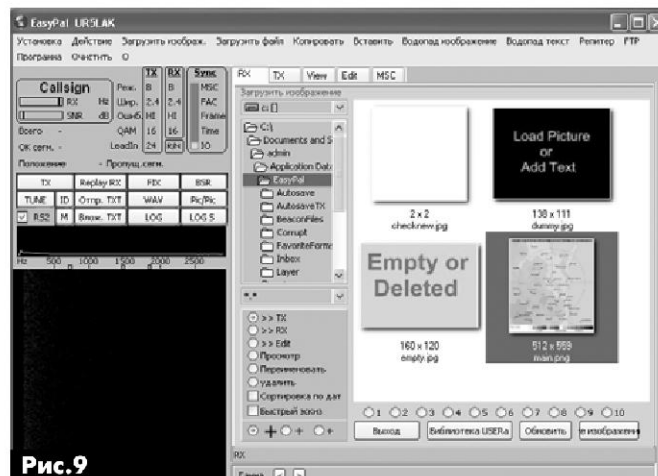


Рис.9



Теперь любую выбранную картинку, переданную или принятую ранее, можете загрузить в окно «TX».

Если мышкой щелкнуть по водопаду, то водопад остановится. Появится дополнительное окно, и после нажатия на «Save», картинка на водопаде будет сохранена. Её можно посмотреть в закладке «View».

Кнопка «Влож.TXT». В переводе Embed означает включить текстовый файл в картинку. Действительно одновременно с передачей изображения передается какая-либо информация. Она по умолчанию появляется на принятом изображении, в «RX» окне. В дополнение появляется небольшое окно, предлагающее разместить информацию на изображении или «водопаде». Если желаете сохранить информацию на картинке – сохраните вместе с текстом, желаете сохранить изображение чистым – нажмите «Показать в водопаде». Затем сохраните картинку. Для передачи текста нажимаем кнопку «Влож. TXT». Появится диалоговое окно «Введите свои данные». В окне пишется любая информация. Например: UR5LAK op. Leonid qth Balakleya. Внизу «Введите позывной получателя», можно прописать, для кого передана информация, внесем UR8MH. При приеме в окне «RX» будет прописано «for UR8MH». Нажимаем «OK» и передаем картинку как обычно. В данном окне можно подготовить и запомнить три профиля, скажем, три макроса. Поочередно нажимая кнопки «Сохранить Профиль 1» и т.д. Появляется возможность сделать быстрый выбор подходящей информации, кнопками «Восстановить 1-3».

Кнопка Pic/Pic – рисунок в рисунок. Загружаем в окно «TX» изображение, нажимаем кнопку «Pic/Pic». Появится окно управления вставки текста или изображения в передаваемый рисунок. Будет видно в окне «Водопада», а на рисунке в «RX» окне появится выделенная область «Load Picture or Add Text».

Картина – текст внутри картинки. Позволяет вставлять в загруженную в TX-окно картинку текст и / или картинку. Загрузите в TX-окно желаемую картинку и выберите эту опцию. Внизу под окном водопада появится служебное окно с кнопками и экраном, а в TX-окне на фоне загруженной картинки появится черный прямоугольник, куда и следует вставить нужный текст или картинку (**рис.10**). С помощью кнопок в служебном окне можно набирать текст, перемещать или удалять его, изменять шрифт и цвет, поворачивать и прочее. Для ввода картинки воспользуйтесь кнопкой в служебном окне «Добавить картинку», далее с помощью основного меню «Загрузить картинку» выберите нужную и установите ее в желаемое место в TX-окне на фоне основной картинки. Для фиксации внесенного в TX-картинку текста или другой картинки нажмите кнопку «Соединить с TX». Данные будут сохранены.

Желаете прописать текст, пожалуйста! Для примера введем UR5LAK. Нажимаем кнопку «Добавить текст». Если более ничего вносить не буде-

те, смело жмём кнопку «Соединить с TX». Текст в окне передачи «TX». Загрузка рисунка происходит почти также. Нажимаем кнопку «Pic/Pic», в «RX» окне появится выделенная область «Load Picture or Add Text». Заходим в верхнюю строку программы, в окне настроек «Загрузить изображение», выбираете картинку, ОК. Вместо выделенной области должна появиться выделенная картинка, её можно увеличить в размере, растянув с помощью «мыши», повернуть, нажав кнопку «Повернуть», создать тень и прочее. В конце всех проведённых действий не забудьте нажать кнопку «Соединить с TX». Самостоятельно поиграйте с окошком, создайте «Replay RX».

Передача wav-файлов. Программа EasyPal обладает возможностью автоматически передавать какой-либо wav-файл вначале передачи и в конце передачи основного файла. Обратимся к окну «Проиграть Wave». Создайте два wav-файла, например, «Передача» и «Прием». Сохраните их, они появятся в окне «Проиграть Wave». Теперь выделяем в окне строку «Передача» (строка выделяется синим цветом) и нажимаем кнопку «Выбрать как начало wav». Затем выделяем строку с названием «Прием» – нажимаем кнопку «Выбрать как конец wav». Теперь при переходе на передачу в «Водопаде» отобразится информация «Передача», пройдет основной файл (картинка или что-то еще), и в конце передачи корреспондент увидит, что вы перешли на прием. Вместо текстового wav, можно передать и рисунок, предварительно подготовить его в «Водопад изображение» (**рис.11**). Он готовится по аналогии «Водопад текст». Ничего писать не нужно, рисунок из вашего основного «TX» окна переходит в окно «Рисунок водопада». При желании можете уменьшить или увеличить контрастность.

Часто можно услышать перед передачей основного файла различные звуки, например звонок телефона, гудок паровоза и т.д. Для этого нужно подготовленный звуковой wav-файл поместить в каталог »UserWaveFiles« программы, предварительно дав имя, скажем, «Звонок.wav». Далее вы уже знаете, как выбирать и размещать так, чтобы звонок прозвучал вначале или в конце передачи. Кстати, звонок и другие wav-файлы можно позаимствовать в Windows, в папке Media. Если вы желаете, чтобы прозвучало два звонка или три, воспользуйтесь штатным магнитофоном – Программы / Стандартные / Развлечения / Звукозапись. Многие интересуются, почему при передаче wav-файлов не видно на своём «Водопаде» информации. Все будет видно, если вы зайдете в Volume Control в Windows. Уменьшите громкость Volume Control, добавьте громкость «Wave». Возможно, движок нужно будет поднять почти в верхнее положение. Это делается экспериментально, так как у каждого своя звуковая карта.

(Продолжение следует)



Любительская связь и радиоспорт

Ведущий рубрики **Анатолий Перевертайло, UX7UN**

(tnx HB9BXU, F6AJA, HA7RY, JI3DST, DL7DF, F6FQK, I1JQJ, SP7VC, JT1CS, SM0BYD, NG3K, OH6XX, G3SXW, UXOFF, ON4ATW, OH2BH, VK6VKS, UA0LCZ, YT1AD, PY7ZZ, VE3DZ, ZS6AYU, VA3RJ)

Особая благодарность за постоянную помощь радиолюбителям г. Омска RW9MC и UA9MHN

DXCC NEWS – Следующие станции засчитаны для DXCC: 5X1EME (Уганда), TT8TT (Чад), VU7M (Лаккадивские острова) и ZD9UW (острова Тристан-да-Кунья и Гоф).

AUSTRALIAN POSTAL RATES – С 22 октября вступили в силу новые тарифы на отправку «поздравительных открыток» (которые должны быть вложены в почтовые конверты, не содержащие ничего, кроме карточки) весом до 20 г: стоимость такого письма в любую страну составит AUD 1,65 (= USD 1,70). Новый тариф на письма авиапочтой весом до 50 г составит AUD 1,65 при отправке в стране Азии/Океании и AUD 2,25 – в остальные страны мира.

3A, MONACO – Max, 3A/ON5UR, и Marc, 3A/ON8AK, будут активны из Монако. Они будут работать только SSB на диапазонах 80-10 метров. QSL via M0URX.

3W, VIETNAM – UU5WW, UU0JR и UT5JCW были активны позывным 3W2J из Вьетнама. Все QSO будут автоматически подтверждены через бюро и LoTW.

4S, SRI LANKA – Peter, DC0KK, будет активен позывным 4S7KKG из Шри-Ланки (AS-003) с 9 ноября по 9 марта 2013 г. Он работает в основном CW и цифровыми видами. QSL via DC0KK.

5B, CYPRUS – Martin, 5B/DC8MH, и Mike, 5B/DL4ABO, будут активны с Кипра (AS-004). Они будут работать SSB, CW, PSK и RTTY на диапазонах 17, 20, 30 и 40 метров. QSL via home calls.

5R, MADAGASCAR – Elvio, IW1GIO, будет активен позывным 5R8IO с острова Nosy Be (AF-057), Мадагаскар ноября. Он работает CW на диапазонах 30-10 метров. QSL via IW1GIO.



5T, MAURITANIA – Sadao, JA1PBV, будет активен из Мавритании позывным 5T5BV. Он предпочитает работать CW и RTTY. QSL via JA1PBV.

5X, UGANDA – Nick, G3RWF, снова будет активен (возможно, и на диапазонах 160 и 6 метров) позывным 5X1NH из Уганды. Он предпочитает CW, но работает также SSB и цифровыми видами. QSL via G3RWF и LoTW.

8P, BARBADOS – Dave, WJ2O, будет активен позывным 8P9DF с Барбадоса (-NA-021), в том числе в CQ WW DX Contest. Вне контеста он будет работать почти исключительно CW, в основном на диапазонах 30, 17 и 12 метров. QSL via WJ2O.

8Q, MALDIVES ISL. – Jim, G3VDB, будет работать позывным 8Q7EJ с Мальдивских островов (AS-013). Он будет работать в «отпусканном стиле» в основном на диапазоне 20 метров CW, SSB, PSK31 и RTTY. QSL via G3VDB.

9H, MALTA – 9H3OG (QSL via DL4HG) и 9H3TX (QSL via DL5XAT) будут активны с острова Gozo, Мальта (EU-023). Они примут участие в CQ WW DX CW Contest, работая позывным 9H3TX в категории Multi-Two.

9M, EAST MALAYSIA – Mirek, VK6DXI, будет активен позывным 9M8DX из Kuching, Восточная Малайзия. В основном, он будет активен в Oceania DX Contest (CW), вне контеста он будет работать SSB и на диапазонах 30, 17 и 12 метров. Так же он будет активен в свое свободное время позывным 9M8DX/2 из Куала-Лумпур, Западная Малайзия. QSL via SP5UAF.

9M6, EAST MALAYSIA – Saty, JE1JKL, снова примет участие в CQ WW DX CW Contest (SOAB), работая позывным 9-

M6NA с острова Labuan (OC-133), Восточная Малайзия. QSL via JE1JKL.

9U, BURUNDI – Международная команда, в состав которой войдут операторы из Бельгии, Нидерландов и Шотландии, будет активна из Бурунди (запрошенный позывной 9U4U) во второй половине февраля 2013 г. Планируется работа четырьмя станциями силами 10 операторов.

A3, TONGA – A31JY (Mat, JA1JQY), A31KJ (Sasi, JA1KJW), A31MA (Karl, JA3MCA) и A31VE (Kuni, JA8VE) будут активны с Tonga. Они будут работать SSB, CW и RTTY на диапазонах 160-10 метров. QSL via home calls.

A5, BHUTAN – Zorro, JH1AJT, будет активен позывным A5A из Бутана. Он будет работать в эфире в свое свободное время на диапазонах 40-10 метров. QSL via JH1AJT.

C5, GAMBIA – Pedro, ON7WP, будет активен позывным C5WP из Гамбии на диапазонах 40-6 метров SSB, работая мощностью 50 Ватт на диполи или вертикальную антенну. QSL via ON7WP.

C6, BAHAMAS ISL. – Bob/N4BP (C6AKQ), Tim/N4UM (C6ARU) и Mike/K4RUM (C6AUM) будут активны из Freeport, остров Grand Bahama (NA-080). Они планируют работать в основном CW и цифровыми видами на диапазонах 160-6 метров и принять участие в CQ WW DX CW, ARRL 160m and ARRL 10m Contest'ax. QSL via home calls.

CY0, SABLE ISL. – Al, VE1AWW, снова едет на остров Sable (NA-063) и планирует работать оттуда в свое свободное время позывным CY0/VE1AWW до конца декабря. Он приносит свои извинения





за «большую задержку с ответными QSL», AI планирует «расчистить завалы», находясь на острове, и отправить заполненные там карточки, когда вернется домой. Новые QSL лучше слать ему через бюро.

DL, GERMANY – Volkert, DL6BE, будет активен позывным DL6BE/p с острова Oehe (EU-057).
QSL via DL6BE.

EA6, BALEARIC ISL. – Adrian, AA5UK, снова будет активен позывным EA6/AA5UK с Ибицы, Балеарские острова (EU-004). Он будет работать в «отпускном стиле» на диапазонах 80-10 метров SSB, RTTY и PSK31.
QSL via AA5UK.

EA8, CANARAS ISL. – Mike, EA8/DL3FCG, будет активен с острова Тенерифе, Канарские острова, (AF-004). Он будет работать CW, SSB, RTTY, PSK и JT65 на диапазонах 80-10 метров и примет участие в WAG и CQWW DX Contest'ax.
QSL via DL3FCG.

EA9, CEUTA & MELILLA – Mek, SP7VC, будет активен позывным EA9/SP7VC из Севуты. Он будет работать в «отпускном стиле» на диапазонах 160-10 метров SSB.
QSL via SP7VC.

EI, IRELAND – Olivier, ON4EI, будет активен позывным EI8GQB, используя гибридную солнечно-ветровую энергетическую установку своего трейлера. Он примет участие в CQWW Contest позывным EI1A.
QSL via ON4EI.

EL, LIBERIA – Операторы из VooDoo Contest Group примут участие в CQ WW DX Contest, работая позывным EL2A (Multi-Multi) из Либерии. Вне контеста они будут работать своими личными позывными: AA7A – EL2ES, G3SXW – EL2A, G4BWP – EL2WP, G4IRN – EL2RN, KC7V – EL2MF, KY7M – EL2LF и N7CW – EL2WS. QSL EL2WP via G5LP, остальные via home call.
QSL EL2A via G3SXW.

ET, ETHIOPIA – Ethiopian Amateur Radio Club, ET3AA, проводит дни активности в честь своего бывшего наставника Sid T. May (ET3SID), скончавшегося в конце сентября. Работа началась 29 октября и продлится до тех пор, пока операторы клуба не проведут 10 000 QSO.
QSL за связи, проведенные в рамках этого мероприятия, via N2OO.

F, FRANCE – Операторы из Радиоклуба Совета Европы (www.tp2ce.eu) будут активны позывным TP8CE.
QSL via F5LGF.

FG, GUADELOUPE – Yann, F1NGP, будет активен как FG/F1NGP из Saint Francois, Гваделупа (NA-102). Он будет работать RTTY, SSB и CW на диапазонах 40-10 метров.
QSL via F1NGP.

FM, MARTINIQUE – Дмитрий, UT5UGR, работал позывным FM/KL7WA с Мартиниками (NA-107) в течение 19-26 ноября. В CQWW CW DX Contest он использовал позывной TO7A. QSL via UT5UGR.

FO, FRENCH POLYNESIA – TXSEG – специальный позывной, выданный Didier/F6BCW, который будет находиться во Французской Полинезии. Он будет активен с нескольких островов в группе IOTA OC-067: Huahine, Raiatea, Tahaa и Maupiti. Он будет работать только CW мощностью 100 Вт на диполи.
QSL via F6BCW.

FS, ST. MARTIN ISL. – John, K9EL, и Nick, K9NB, будут активны позывными FS/K9EL и FS/K9NB с острова St. Martin (NA-105). Они будут работать CW, SSB и RTTY на диапазонах 80-10 метров.
QSL via home calls и LoTW.

FY, FRENCH GUIANA – Rich, N6KT, будет активен позывным TO2A из Французской Гвианы.
QSL via KU9C.

HI, DOMINICAN REPUBLIC – Сергей, R4WAA (ex UA4WAW), будет активен на диапазонах 40-10 метров позывным R4WAA/HI7 из Доминиканской Республики.
QSL via R4WAA.

HL, KOREA REPUBLIC – Операторы из Korean Contest Club'a будут активны позывным D9K с острова Pigum (AS-060).
QSL via DS4NYE.

I, ITALY – Специальная станция IY1EY будет активна из Loano в честь экспериментов, проведенных Гульельмо Маркони на борту его яхты Elettra в Лигурском море с 1919 по 1936 гг. Планируется работа CW, SSB, RTTY и PSK31.
QSL via IK1QBT.

J7, DOMINICA – Volker, DL8WEM, будет активен позывным J79WE с Доминики (NA-101). Он планирует работать в основном CW на диапазонах 30, 17 и 12 метров.
QSL via DL8WEM.

JA, JAPAN – JA6CNH/6 и JF6XQJ/6 будут активны с острова Genkai (AS-012). Они будут работать CW и SSB на диапазонах 80, 40, 20, 15 и 10 метров.
QSL via JN6RZM.

JT, MONGOLIA – Специальный префикс JU850 будет использоваться монгольскими станциями (JU850AA/3, JU850DA, JU850DN, JU850CS и др.) по случаю 850-летия со дня рождения Чингиз-хана. Монгольская федерация радиоспорта будет выдавать бесплатный диплом «Chinggis Khan Award» тем, кто провел три связи с различными станциями с префиксом JU850, заявки с данными QSO следует слать по адресу mrsf@mrsf.mn.

KHO, MARIANA ISL. – Akira, JR1VAY, будет активен позывным AH2J/KHO с Сайпана (OC-086), в том числе в Japan International DX SSB и Worked All Europe DX RTTY Contest'ax.
QSL via JR1VAY.

KH8, AMERICAN SAMOA – Anci, JA2ZL, будет активен позывным KH8/homecall из Pago Pago (OC-045), Американская Самоа. Он будет работать CW, SSB и RTTY на диапазонах 80-10 метров.
QSL via JA2ZL.

LU, ARGENTINA – LU3XEM, LU3XEI, LU5VAT и LU7DSY будут активны позывным LT0X с острова Pinguino (SA-087). Они планируют работать SSB, CW и PSK31 на диапазонах 80, 40, 20, 17, 15, 12 и 10 метров и возможно, на диапазоне 6 метров.
QSL via LU7DSY.

ON, BELGIUM – Специальная станция ON44CLM будет активна по случаю годовщины освобождения канадскими войсками в 1944 г. города Knokke.
QSL via ON3AIM.

OX, GREENLAND – Henning, OZ1BII, снова будет активен позывным XP2I из Гренландии (NA-018). Он будет работать только CW и примет участие в LZ DX Contest. Он также планирует работать на диапазонах 160 и 80 метров в ночное время.
QSL via OZ1BII.

OZ, DANMARK – Dirk, DF3XX, будет активен позывным OZ/KH6DXC с острова Romo (EU-125). Он примет участие в IPARC (International Police Association Radio Club) SSB Contest.
QSL via DF3XX.

PY, BRAZIL – Специальная станция ZV7O будет активна в ходе Flipoporto 2012, международного литературного фестиваля, который проводится в штате Pernambuco.
QSL via PY7JN.

SM, SWEDEN – SA3BPG, SA3BRX, SM3CER, SM3EAE, SM3UQO и SM5SIC будут активны со станции SI9AM (King Chulalongkorn Memorial Amateur Radio Society, (www.si9am.se) в Ragunda, в том числе в Scandinavian Activity Contest (SAC) SSB. Вне контеста они будут работать на диапазонах 160-10 метров CW и SSB. QSL via SM3CVM.

UA, RUSSIA – Владимир, UA0LCZ, будет активен как UA0LCZ/p с острова Попова (AS-066). Он будет работать в районе следующих частот: 3507, 7007, 10107, 14017, 18077, 21017, 24897 и 28017 kHz. Он примет участие в Oceania DX Contest (CW). QSL via home call.

V3, BELIZE – Rich, N0HJZ, будет активен позывным V31MW из Белиза. Он будет работать в основном на диапазонах 30, 17 и 12 метров и CW.
QSL via N0HJZ.



V6, MICRONESIA – Masa, JH1DVG, будет активен позывным V63JX из Pohnpei (OC-010), Микронезия. Он планирует работать на диапазонах 40, 20, 15 и 10 метров.
QSL via JH1DVG.

VE, CANADA – Noel, VE2BR, и Gregg, VE3ZZ, примут участие в CQWW DX Contest, работая позывным VC2B (Multi-Single) из Mercier, Квебек (Зона 5).
QSL via VE2BR.

VK, AUSTRALIA – Nigel (VK6NI), Steve (VK2SJK), Reinhard (DF4TD) и Wally (VK6YS) будут активны позывным VK6WDI с острова Woody (OC-170). Они планируют работать двумя станциями на диапазонах 40-10 метров мощностью 100 Вт на вертикальные и одну трехдиапазонную антенну.
QSL via VK6YS.

VK, AUSTRALIA – Специальная станция VI6ARG30 будет работать в эфире по случаю 30-летия Peel Amateur Radio Group (VK6ARG).
QSL via VK6VKS.

VP5, TURCS & CAICOS ISL. – Frank/WA2VYA, Tony/K4QE и Jack/N2VV будут активны с острова Providenciales (NA-002), архипелаг Turks & Caicos. Они примут участие в CQWW DX Contest, работая позывным VP5T (QSL via N2VV и LoTW), до и после конテスト они будут работать CW и на диапазонах 30, 17 и 12 метров.

VP8, SOUTH GEORGIA ISL. – Mike, GM0HCQ, снова будет активен с борта научно-исследовательского корабля James Clark Ross в Южной Атлантике. Когда судно находится в водах Антарктики и Фолклендских островов, он использует позывной VP8CMH/mm, в других случаях – GM0HCQ/mm. Корабль встанет на стоянку в King Edward Point, Южная Джорджия, и Mike, возможно, сумеет сойти на берег и работать оттуда позывным VP8SGK.
QSL via GM0HCQ.

VP9, BERMUDA ISL. – Paul, VP9KF, будет работать только CW с Бермудских островов (NA-005). Он планирует уделить основное внимание greyline для JA.
QSL via W4/VP9KF по адресу: Paul Evans, 6809 River Road, Tampa, FL 33615, USA.

VQ9, CHAGOS ISL. – Шестой год подряд Jim, VQ9JC (ND9M), будет использовать позывной со специальным префиксом с острова Diego Garcia (AF-006), он будет работать позывным VQ92JC в интервале 1200-1600 UTC. Он по-прежнему работает в стиле полевого дня из парка отдыха мощностью 100 W на диполь.
QSL via ND9M.

W, USA – W6VX, N6IC, N6FH, NY6Y, KJ6Y и N6KZ будут активны позывными homecall/p с острова Santa Catalina (NA-066). Они будут работать CW и SSB на диапазонах 80-10 метров.
QSL via home calls.

YB, INDONESIA – Andy, YC0MVP, присоединится к Joppy, YB8XM, в IOTA-экспедиции на остров Babar (OC-271, new one).
QSL via YB9BU.

YN, NICARAGUA – Jeff, N6GQ, будет активен позывным YN2AA из Grenada, Никарагуа. Он будет работать на диапазонах 160-6 метров всеми видами излучения и примет участие в CQWW DX Contest.
QSL via NN3W и LoTW.

IOTA-news (tnx UY5XE) ЗИМНЯЯ АКТИВНОСТЬ						
EUROPE		AF-024	S79LC	SA-006	PJ4/W1FJ	
EU-002	OH0B	AF-024	S79NU	SA-006	PJ4A	
EU-002	OH0JFP	AF-024	S79UN	SA-006	PJ4D	
EU-002	OH0X	AF-024	S79Y	SA-006	PJ4X	
EU-002	OH0YY	AF-029	ZD9JW	SA-014	PT0S	
EU-002	OH0Z	AF-057	5R8IO	SA-037	YW5B	
EU-004	EA6/AA5UK	AF-090	5R8IC	SA-087	L10X	
EU-016	9A/I23NXC			SA-099	PJ2/DB5IJ	
EU-023	9H3OG			SA-099	PJ2/DF9MV	
EU-023	9H3TX	NA-001	C6AXY	SA-099	PJ2/DJ1MGK	
EU-050	IL7/IK4JQQ	NA-001	C6AQO	SA-099	PJ2/DL5MFL	
EU-053	OJ0B	NA-002	VP5/K9PPY			
EU-053	OJ0MI	NA-002	VP5/KX4WW			
EU-053	OJ0R	NA-002	VP5/W40X	OC-004	VK9/OG1M	
EU-053	OJ0X	NA-002	VP5/W9RN	OC-004	VK9/OH1VR	
EU-057	DL6BE/p	NA-002	VP5T	OC-004	VK9/OH3JR	
EU-074	TM5BRT	NA-002	VQ5X	OC-004	VK9/OH3X	
EU-114	GB2JTA	NA-005	VP5KF	OC-009	T88KV	
EU-125	OZ/KH6DXX	NA-018	XP2I	OC-010	V63DX	
		NA-021	8P9DF	OC-010	V63EPO	
ASIA		NA-039	KL7/K8GU	OC-010	V63JX	
AS-003	4S7ULG	NA-039	KL7/KJ4OAP	OC-012	V63XG	
AS-003	4S7KKG	NA-039	KL7/W2NAF	OC-013	E51KBR	
AS-004	5B/DC8MH	NA-063	AA4VK/CY0	OC-017	T30PY	
AS-004	5B/DL4ABO	NA-063	CY0/VE1AWW	OC-017	T30SIX	
AS-008	J13DST	NA-063	WA4DAN/CY0	OC-035	YJ0AFU	
AS-012	JA6CNH/6	NA-066	KJ6Y/p	OC-038	ZL7A	
AS-012	JF6XQJ/6	NA-066	N6FH/p	OC-049	A31MA	
AS-013	8Q7EJ	NA-066	N6IC/p	OC-049	A31VE	
AS-059	UA0IDZ/p	NA-066	N6KZ/p	OC-067	TX5EG	
AS-060	D93I	NA-066	NY6Y/p	OC-083	E51ABS	
AS-060	D9K	NA-066	W6VX/p	OC-083	E51BZD	
AS-066	UA0LCZ/p	NA-067	WB8YUF	OC-083	E51C	
AS-075	XX9TFR	NA-080	C6AKQ	OC-083	E51CHX	
AS-075	XX9TBM	NA-080	C6ARU	OC-086	AHO/NOAT	
AS-075	XX9TEX	NA-080	C6AJM	OC-086	AHO/NOAT	
AS-075	XX9TPX	NA-080	C6AZZ	OC-086	AHOJ	
AS-075	XX9TTT	NA-101	J79WE	OC-086	AH2J/KH0	
AS-097	9M2/R6AF/p	NA-101	J79WTA	OC-086	NHOJ	
AS-106	VU7M	NA-102	FG/F1NGP	OC-086	WA20/KH0	
AS-138	BY1WXD/5	NA-103	VP2MAF	OC-086	WHO/KOB2C	
		NA-103	VP2MDG	OC-086	WS2M/KH0	
AFRICA		NA-103	VP2MGZ	OC-086	WS2Y/KH0	
AF-003	ZD8O	NA-103	VP2MKC	OC-100	H40T	
AF-003	ZD8W	NA-103	VP2MXU	OC-133	9M6NA	
AF-004	EA8/DL3FCG	NA-103	VP2MYL	OC-149	H44UD	
AF-006	VQ92JC	NA-105	FS/K9EL	OC-149	P40W	
AF-006	VQ9JC	NA-105	FS/K9NB	OC-160	JA1NLX/VK4	
AF-014	CR3L					
AF-014	CT9/DF4UM	SA-002	VP8DMN	AN-001	VP8DJB	
AF-014	CT9/DH4JQ	SA-006	PJ4/K1XM	AN-007	VP8SGK	
AF-014	CT9/DJ5KW	SA-006	PJ4/K4BAI	AN-016	ZS7/DL1LLL	
AF-014	CT9/DK8VC	SA-006	PJ4/KU8E	AN-016	ZS7V	
		SA-006				
КОРЕВНОВАНИЯ CONTESTS						
Календарь соревнований по радиосвязи на KB Январь						
ДАТА	ВРЕМЯ UTC	CONTEST	MODE			
1	0000 - 2400	ARRL Straight Key Night	CW			
1	0000 - 2100	Happy New 21st Century Contest	CW/SSB			
1	0000 - 0100	DRCC JT65A New Years Crawl (1)	JT65A			
1	0600 - 0700	DRCC JT65A New Years Crawl (2)	JT65A			
1	0800 - 1100	SARTG New Year Contest	RTTY			
1	0800 - 2200	SCAG Straight Key Day - SKD	CW			
1	0900 - 1200	AGCW Happy New Year Contest	CW			
1	1200 - 1500	IRTS 80 Metres Counties Contest	CW/SSB			
1	1200 - 1300	DRCC JT65A New Years Crawl (3)	JT65A			
1	1300 - 2400	DRCC New Year Olivia Contest	Olivia			
1	1800 - 2200	10 meter NAC	CW/SSB/FM/DIGI			
5	2000 - 2300	EUCW 160 m Contest (1)	CW			
5	0000 - 2400	070 Club PSKFest	PSK-31			
5-6	1800 - 2400	ARRL RTTY Roundup	Digi			
6	0400 - 0700	EUCW 160 m Contest (2)	CW			
6	0700 - 0800	Vytautas Magnus Trophy Contest	CW/AM/SSB			
12-13	0000 - 2400	Hunting LIONS in the Air	CW/SSB			
12-13	1200 - 2359	MI-QRP Club January CW Contest	CW			
12-13	1800 - 0600	North American QSO Party	CW			
12-13	1200 - 1200	UK DX RTTY Contest	RTTY			
13	0000 - 2359	SKCC Weekend Sprintathon	CW			
13	0630 - 0830	NRAU-Baltic Contest	CW			
13	0900 - 1059	DARC 10m-Contest	SSB			
13	0900 - 1100	NRAU-Baltic Contest	SSB			
17	0130 - 0330	NAQCC Straight Key/Bug Sprint	CW			
19	0600 - 1400	CQ UT Contest	CW/SSB			
19	1500 - 1700	Feld-Hell Club Sprint	Feld-Hell			
19	0700 - 1100	SARL Youth for Amateur Radio	Phone			
19	0000 - 0600	LZ Open Contest	CW			
19-20	1200 - 1159	Hungarian DX Contest	CW/SSB			
19-20	1800 - 0600	North American QSO Party	SSB			
19-20	0000 - 2359	YLISB QSO Party	SSB			
19-20	1700 - 1700	SPAR Winter Field Day	All			
20	0000 - 2359	YLISB QSO Party	CW/RTTY			
21	0200 - 0400	Run For The Bacon QRP Contest	CW			
21	1600 - 1659	OK1WC Memorial Activity	SSB			
25	0130 - 0330	NAQCC 160 m Straight Key/Bug Sprint	CW			
25-27	2200 - 2200	CQ World-Wide 160-Meter DX Contest	CW			
26-27	0600 - 1800	REF Contest	CW			
26-27	1200 - 1200	BARTG RTTY Sprint Contest	RTTY			
26-27	1300 - 1300	UBA DX Contest	SSB			



ДИПЛОМЫ AWARDS

НОВОСТИ ДЛЯ КОЛЛЕКЦИОНЕРОВ ДИПЛОМОВ

ЯКУБ КОЛАС 130 ЛЕТ

Диплом учрежден отделом образования Гомельского горисполкома Республики Беларусь в честь 130-летнего юбилея со дня рождения народного поэта Беларуси Якуба Коласа (Константина Михайловича Мицкевича) и выдается радиолюбителям за радиосвязи, проведенные с любительскими радиостанциями Беларуси. На диплом засчитываются также радиосвязи с городами и областями, с которыми связана биография классика белорусской литературы Янки Купалы: Курск и Курская область, Москва и Московская область, г. Вильнюс, г. Пермь, г. Ташкент.

Для получения диплома необходимо в течение 2012 года набрать 130 очков. Радиосвязи с любительскими радиостанциями из Беларуси дают по 5 очков. Радиосвязи с любительскими радиостанциями указанных выше городов и областей дают по 2 очка.

3 ноября 2012 года, в день рождения поэта, очки удваиваются. 1-2 сентября 2012 года, в период проведения дней Белорусской письменности, очки также удваиваются.

На диплом засчитываются радиосвязи, проведенные любым видом излучения, повторные радиосвязи засчитываются на разных диапазонах.

Наблюдателям диплом выдается на аналогичных условиях. Заявка на диплом составляется в виде выписки из аппаратного журнала с указанием полных сведений о проведенных радиосвязях (наблюдениях). В электронном виде дипломы высыпаются бесплатно. Для получения бумажного диплома необходимо оплатить стоимость его пересылки – 2 IRC. Ветеранам Великой Отечественной войны, а также детским коллективным радиостанциям бумажные дипломы рассыпаются бесплатно.

Заявки на дипломы принимаются в электронном или бумажном виде.

Заявки отправлять по адресу: Суриной Нине Анатольевне (EU8MM), а/я 42, Гомель-12, 246012, Беларусь.

W-1000-C – WORKED IN 1000 CONTESTS

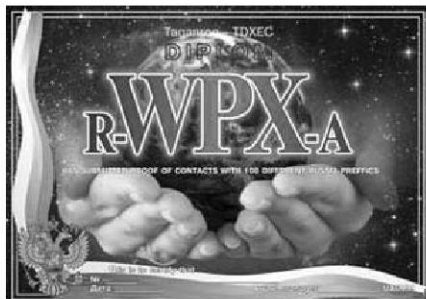
Трофи-Плакетка «W-1000-C» выдается за участие в 1000 соревнований. Серия трофеев «W-100-C» ... «W-1000-C» присуждается за общее количество соревнований, в которых Вы принимали участие (своим персональным позывным, как SWL или с клубной радиостанцией). Плакетки выдаются за участие, соответственно, в 100, 250, 500, 750 и 1000 соревнованиях.

Размеры плакеток следующие: для «W-100-C» – 10см x 15см, «W-250-C» – 15см x 20см, «W-500-C» – 20см x 25см, «W-750-C» – 25см x 30см и для «W-1000-C» – 30см x 38см.

Трофеи сделаны из специальной доски, имеющей внешний вид дорогой

древесины, и имеет тонкую металлическую шильду с золотистым металлическим оттенком. Заявку (GCR-list) с подписью 2-х радиолюбителей, или одного DIG-member, или заверенную в местном радиоклубе, нужно выслать EU1EU, Гетьман Игорь Владимирович, P.O.Box 143, Minsk-5, 220005, Rep. of Belarus.

R – WPX – A



В связи с реорганизацией Российских позывных и резким увеличением префиксов и поднятия интереса к Российским HAM's, TDXEC учредил диплом «R – WPX – A» (Российский префикс для всего МИРА) Plaque – « WPX – HR »

5.1. Диплом «R-WPX-A» (Russia – WPX – Award)

Диплом выдается за подтверждение 100-QSO с HAM's России, которые имеют в своем позывном различные префиксы.

По желанию на дипломе может быть отметка SSB, CW и Band.

5.1.1. – все QSO должны быть произведены из одной страны, повторы засчитываются за разные диапазоны и виды модуляции, должна быть соответствующая отметка в заявке. (смешанные QSO не засчитываются);

5.1.2. – допускаются QSL – ex Call, карточки посыпать не нужно, но они должны быть у заявителя и, при необходимости, их может затребовать manager;

5.1.3. – заявка выполняется по стандартной форме согласно условиям, указанным ниже, отдельно по Band & Mode.

5.1.4. – QSL засчитываются с 01.01.1989 г.

5.2. Plaque «WPX-HR» [Plaque (доска) (WPX – Honor Roll)].

Plaque выдается за подтверждение 1000 QSO с HAM's всего мира, которые имеют в своем позывном различные префиксы.

По желанию на Plaque может быть отметка SSB, CW и Band .

5.2.1. – каждое QSO дает 1 очко;

5.2.2. – Исключение : QSO с HAM's – UA6MM, UA6MM/LH, UE6LPP, UE6LHT, UE6LHP, R150APC – оператор Nick (UA6MM) – дает 100 очков;

• QSO с HAM's – UA6LIC, RV6LDU, RV6LFH, RX6LG – дает 50 очков;

• QSO с остальными членами TDXEC дает 25 очков;

• каждое из этих QSO в заявке можно показать 1 раз, но в общей сложности не более 6 QSL, они в заявке указываются отдельно;

• + 100 QSO диплома «R-WPX-A» согласно пункту 5.2.1.

5.2.3. – заявка выполняется в виде списка QSL согласно «R-150-C» и пункта 5.1.3. с выделением префикса (при-

мер: 3DA0RH – 3DA0, 9A2MN – 9A2, S59ZZ – S59, UE6LHP – UE6 и т.д.). Данные о QSO указывать не нужно, (копии QSL могут быть приложены к основной заявке по требованию).

5.2.4. – предварительно заявка присыпается по почте или E-mail, если она принята, manager дает ответ о дальнейших действиях по почте, E-mail или эфиру;

5.2.5. – QSL согласно пункту 5.1.4. диплома «R-WPX-A» повторять в заявке на Plaque не нужно (достаточно указать его № и дату);

5.2.6. – остальные требования согласно пунктам 5.1.3 , 5.1.4.

5.3. Примечания.

5.3.1. – на Plaque «WPX-HR» заявку может писать HAM, имеющий основной диплом «R-WPX-A».

5.3.2. – при желании эти заявки можно объединить в одну, выделив 100 Российских префиксов отдельно.

5.3.3. – по отдельной просьбе к выше указанным наградам может прилагаться специальная QSL.

5.3.4. – HAM's, имеющие дипломы: «LHT», «PETER-I», «CHEKHOV» и вымпелы по программе «L», «H» и «P», может в заявке сделать отметку о желании получить медаль «Таганрог – старая крепость» (бесплатно).

5.3.5. – Plaque «WPX-HR» Доска выполнена не из отходов, а экологически чистой деревянной пластины. Сама plaque – выполнена из полировано-зеркальной, цвета под золото , металлической пластины с нанесенным рисунком.

5.3.6. Любой HAM, не имеющий Интернета, но желающий получить информацию, может получить ее в полном объеме, прислав по почте конверт с маркой на адрес UA6MM с запросом.

Все QSO с разными позывными и по всем программам TDXEC будут подтверждаться красочными QSL. Кто желает оперативно получать QSL, просьба присыпать обратный конверт с маркой, остальные соискатели получат через буру.

Заявки на получение всех дипломов и медалей выполняются в бумажном виде в произвольной форме, где отражают: позывной, дата, время, диапазон, вид излучения, RS или RST, очки. В итоге очки суммируются.

Заявка заверяется в местном радиоклубе или 2-мя радиолюбителями, с копией или документом об оплате и вместе с чистой, не суррогатной, QSL (для музея) высыпается по нижеуказанному адресу.

Стоимость дипломов «LHT», «PETER-I», «CHEKHOV» 5 IRC с пересылкой.

Стоимость медалей 20 IRC вместе с пересылкой.

Диплом (вымпелы) «LHP» – 10 IRC.

По остальным призам высыпается заявка по E-mail или письмом, вместе с копиями QSL. После зачета заявки, соискатель получает дальнейшую информацию.

SWL – участвуют во всех программах TDXEC на тех же основаниях.

QSL & AWARD MANAGER: UA6MM, Ermolenko NICK M.

Почтовый адрес для членов TDXEC – QSL, заявок и т.д. (P.O.BOX – 73, Taganrog, 347902, RUSSIA)

Отвечаляем на вопросы и письма наших читателей



Декабрь. Началась предновогодняя суета. Да и «конец света» индейцы мая нам пообещали на 21 декабря. Несмотря на все это, поток писем (электронных и обычных) и звонков в редакцию не ослабевает. Мы, как обычно, выбрали несколько вопросов из множества заданных для публикации ответов на них в этом номере.

Наш читатель **Шинкарев В.С.** из г. Хмельницкий пишет: «В журнале «Радиоаматор» №6 за 2010 г. на стр. 27 опубликована статья «Устройство для определения жирности молока». В списке используемой литературы под номером 1 указан журнал «Радио» №12 стр. 17 без указания года выпуска. Убедительная просьба сообщить год выпуска указанного журнала, так как статья в РА дополняет статью в журнале «Радио». Это, возможно, снимет часть вопросов при изготовлении и использовании рассмотренного в статье устройства».

Действительно, в списке используемой литературы к статье П. Бобонича «Устройство для определения жирности молока» имеется досадная неточность. Должно быть указано, что эта статья опубликована в журнале Радио №12 за 1982 год. Мы разыскали этот журнал и высыпали автору вопроса ксерокопию этой статьи.

Александр Гречихин из г. Белгорода пишет: «Долгое время пользовался мультиметром MY65 фирмы MASTECH. Несколько месяцев назад прибор начал временами отключаться. Похоже, что срабатывала защита. При двойном нажатии красной кнопки прибор включался, но затем включаться стал не всегда, а теперь перестал включаться совсем. «Вскрытие» прибора и внешний осмотр платы результата не дали. Печатная плата прибора выглядит идеально. Схемы прибора нет. Нужны схема и совет, как искать неисправность».

Уважаемый Александр, принципиальную схему мультиметра MASTECH MY65 мы публикуем на вкладке этого номера (см. стр. 31). Дать конкретный ответ по поводу ремонта прибора пока не можем. В свою очередь, просим наших читателей, сталкивавшихся с подобной неисправностью MY65, прислать в редакцию РА описание (методику) ее поиска.

На вкладке РА 6/2012 по просьбе постоянного подписчика нашего журнала **Зазгарского А. Й.** из г. Винницы, который просил напечатать схему спутникового тюнера Opticum-3000, мы опубликовали принципиальную схему спутникового тюнера GLOBO 4100C, клоном которого является Opticum-3000-4000.

Точнее, мы опубликовали один вариант этой схемы AL501-VER1.1.

На вкладке этого номера напечатан другой вариант схемы этого аппарата: AL502-VER1.1, а в разделе «Аудио-Видео» опубликована статья В. Фёдорова «Устройство, диагностика неисправностей и ремонт цифровых СТВ ресиверов BIG SAT BSS 501 Xtra и GLOBO 4100C».

Мы подготовили также ответ на вопрос **Андрея Ивановича Теличко** из г. Шахты, Ростовской обл., о распайке совмещенного 3,5-мм штыревого разъема для гарнитуры нетбуков и мобильных телефонов (см. статью Н. Петренко «Особенности гарнитур с совмещенным штыревым разъемом 3,5 мм» на стр. 16).

Итоги конкурса статей этого года мы решили опубликовать в следующем номере РА 1/2013.

Внимание КОНКУРС 2013!

В новом году мы объявляем новый конкурс, – конкурс статей с описаниями конструкций на 555-ом таймере, посвященный 40-летию этой микросхемы, а в прошлом номере была опубликована внеконкурсная статья «О 555-ом таймере и одном нестандартном его включении». Лучшие статьи, присланные на конкурс, будут опубликованы, а победители будут награждены призами.

В заключение, хочу заметить, что, несмотря на то, что подписная кампания на 2013 год заканчивается в декабре, подписаться на наш журнал с ближайшего месяца можно в любом почтовом отделении или онлайн через сайт Государственного предприятия (ГП) «Пресса»: <http://www.presa.ua/online/>. Наш подписной индекс 74435.

Свои статьи, вопросы и пожелания присылайте, как обычно, на адрес редакции: а/я 50, 03110, Киев-110, Украина, или на электронный адрес: ra@sea.com.ua.

*От имени редакции на вопросы отвечал
главный редактор Игорь Безверхий*



«СКТВ»

ЗАО «РОКС»

Украина, 03148, г. Киев,
ул. Г. Космоса, 2Б
т/ф: (044) 407-37-77;
407-20-77, 403-30-68
e-mail: pk@roks.com.ua
<http://www.roks.com.ua>

Спутниковое, эфирное ТВ. Многоканальные цифровые системы с интегрированной системой условного доступа МИТРИС, MMDS. Телевизионные и цифровые радиорелейные линии. Модуляторы ЧМ, QPSK, QAM 70 МГц, RF, L-band. Охранная сигнализация, видеонаблюдение.

НПФ «Видикон»

Украина, 02099, Киев, ул. Зрошувальна, 6
тел.: 567-74-30, 567-83-68,
факс: 566-61-66
e-mail: vcb@vidikon.kiev.ua
<http://www.vidikon.kiev.ua>

Разработка, производство, продажа для КТВ усилителей домовых и магистральных, фильтров и изоляторов, ответвителей магистральных и разъемов, головных станций и модуляторов.

«ВИСАТ» СКБ

Украина, 03115, г. Киев,
ул. Святошинская, 34,
т/ф: (044) 403-08-03,
тел: 452-59-67, 452-32-34
e-mail: visat@i.kiev.ua
<http://www.visatUA.com>

Спутниковое, кабельное, радиорелейное 1,5...42ГГц. МИТРИС, MMDS-оборудование. МВ, DMB, FM передатчики. Кабельные станции BLANKOM. Базовые антенны DECT; PPC; 2.4 ГГц; MMDS 16-dBi; GSM, DMB 1 кВт. СВЧ модули: гетеродины, смесители, МШУ, усилители мощности, приемники, передатчики. Проектирование и лицензионный монтаж ТВ сетей. Спутниковый интернет.

«Влад+»

Украина, 03134, г. Киев,
ул. Булгакова, 18, т/ф: (044) 458-56-68,
тел.: (044) 361-22-89, (044) 383-87-13.
e-mail: vlad@vplus.kiev.ua
www.vlad.com.ua

Оф. представитель фирм ABE Elettronika-AEV-CO. EI-ELGA-Elenos, ANDREW. ТВ аналоговые и цифровые передатчики, FM транзисторные передатчики, радиорелейные линии, студийное оборудование. Антенны передающие для ТВ и FM, фидер для тракты ТВ и FM, модернизация и ремонт ТВ передатчиков. Доставка оборудования из-за границы и таможенная очистка груза. Услуги таможенно-лицензионного склада. Монтаж печатных плат.

Beta tvcom

Украина, 83004, г. Донецк,
ул. Гарая, 39,
т/ф: (062) 381-81-85, 381-98-03,
381-87-53, 386-36-33, 386-36-45
<http://www.betatvcom.dn.ua>,
e-mail: office@betatvcom.dn.ua

Производство сертифицированного оборудования: полный спектр оборудования для цифрового ТВ; ГС на цифровых

и аналоговых модулях для КТВ, цифровые и аналоговые ТВ и FM передатчики 1 – 2000 Вт, системы MMDS, МИТРИС, ЦРРС диапазона 7-40ГГц до 155 Мбит/с, оптические передатчики 1310 и 1550 нм. Измерительные приборы 5-26000 МГц.

РаТек-Киев

Украина, 03056,
г. Киев, пер. Индустріальний, 2
тел: (044) 277-67-41,
т/ф: (044) 277-66-68
e-mail: ratek@torsat.kiev.ua
Спутниковое, эфирное, кабельное ТВ. Производство радиопультов, усилителей, ответвителей, модуляторов, фильтров. Программное обеспечение цифровых приемников. Спутниковый интернет.

ЭЛЕКТРОННЫЕ КОМПОНЕНТЫ

ООО НПП «ПРОЛОГ-РК»

Украина, 04212, г. Киев,
ул. Маршала Тимошенко, 4а, к. 74
тел: (044) 451-46-45, 451-85-21,
факс: 451-85-26

e-mail: prolog@ipnet.ua
Оптовые и мелкооптовые поставки импортных и отечественных р/электронных компонентов, в том числе с приемкой «1», «5», «9». Техническая и информационная поддержка, гибкая система скидок, поставка в кратчайшие сроки.

ООО «АМел»

02098, м. Київ,
пр-т. Тичини, буд. 4, оф. 9
тел: (044) 294-26-84
факс: (044) 294-24-66
<http://www.amel.com.ua>

e-mail: info@amel.com.ua
Активные и пассивные радиоэлектронные компоненты импортного производства (NXP, Atmel), коннекторы, кабельно-проводниковая продукция, изготовление и монтаж печатных плат. Гибкие цены, доставка.

«РКС КОМПОНЕНТЫ»

Украина, 03087, г. Киев,
ул. Чоколовский бульвар, 42а, 1-й этаж.
тел./факс: (044) 220-01-72
e-mail: rcs1@rcs1.relc.com
<http://www.rcscomponents.kiev.ua>
Склад ЭЛЕКТРОННЫХ КОМПОНЕНТОВ в Киеве. Прямые поставки от производителей.

ООО «РТЭК»

Украина, 04119, г. Киев,
ул. Дегтяревская, 62, офисный центр
«Ферммаши», оф. 46.
тел: (044) 456-98-69, (044) 456-51-27,
(044) 520-04-77, 520-04-78, 520-04-79
e-mail: chip@rainbow.com.ua
<http://www.rainbow.com.ua>

<http://www.rtc.s.ru>
Официальный дистрибутор на Украине ATTEL, MAXIM/DALLAS, INTERNATIONAL RECTIFIER, NATIONAL SEMICONDUCTOR, ROHM.

ООО «Никс-Электроникс»

02002, г. Киев,
ул. Раисы Окипной, 3, офис 2

т/ф: (044) 516-85-13, 516-59-50

e-mail: chip@nics.kiev.ua

www.nics.kiev.ua

Комплексные поставки электронных компонентов. Более 20 тыс. наименований со своего склада: Analog Devices, Atmel, Maxim, Motorola, NXP, Texas Instruments, STMicroelectronics, International Rectifier, Power-One, PEAK Electronics, Meanwell, TRACO, Powertip.

Компанія СЕА

Україна, 02094, м. Київ,
вул. Krakivs'ka, 13Б.
тел.: (044) 291-00-41 (багатоканальний)
т/ф: 291-00-42
e-mail: info@sea.com.ua
<http://www.sea.com.ua>

Регіональні представництва:
Дніпропетровськ: dnipro@sea.com.ua;
Харків: kharkiv@sea.com.ua
Львів: lviv@sea.com.ua;
Севастополь: sevastopol@sea.com.ua;
Одеса: odessa@sea.com.ua;
Донецьк: den@sea.com.ua
Електронні компоненти;
електротехнічна продукція;
промислові комп'ютери;
бездротові компоненти;
світлотехнічна продукція;
AC/DC-, DC/DC-, DC/AC- перетворювачі;
вимірювальні пристрой;
лічильники електроенергії;
паяльне обладнання;
контрактне виробництво.

МАСТАК ПЛЮС

Украина, 04080, г. Киев,
ул. Межигорская, 83, оф. 610,
тел: (044) 537-63-22, ф. 537-63-26
e-mail: info@mastak-ukraine.kiev.ua
<http://www.mastak-ukraine.kiev.ua>

Поставка электронных компонентов Xilinx, Atmel, Grenoble, TI-BB, TI-RFID, IRF, AD, Micron, NEC, Maxim/Dallas, IDT, Altera, AT. Регистрация и поддержка проектов, гибкие условия оплаты, индивидуальный подход.

VD MAIS

Украина, г. Киев, 03061,
ул. М. Донца, 6
тел: (044) 492-88-52 (многокан.),
220-0101, факс: 220-0202
e-mail: info@vdmais.kiev.ua
<http://www.vdmois.kiev.ua>

Эл. компоненты, системы промавтоматики, измерительные приборы, шкафы и корпуса, оборудование SMT, изготовление печатных плат. Дистрибутор: Agilent Technologies, AIM, ANALOG DEVICES, ASTEC POWER, Cree, DDC, ELECTROLUBE, ESSEMTEC, FILTRAN, GEYER ELECTRONIC, IDT, Hameg, HARTING, KINGBRIGHT, Kroy, LAPPKABEL, LPFK, MURATA, PACE, RECOM, Rittal, Rohm, SAMSUNG, Siemens, SCHROFF.

«ТРИОД»

Украина, 03194, г. Киев-194,
ул. Зодчих, 24
т/ф: (044) 405-22-22, 405-00-99
e-mail: ur@triod.kiev.ua
<http://www.triod.kiev.ua>

Радиолампы пальчиковые 6Д..., 6Н..., 6П..., 6Ж..., 6С и др. Генераторные лампы Г, ГИ, ГМ, ГМИ, ГУ, ГК, ГС и др. Тиратроны, кенотроны. Магнетроны, лам-



пы бегущей волны, клистроны, разрядники. Электронно-лучевые трубы, видиконы, ФЭУ. Контакторы ДМР, ТКС, ТКД и др. Автоматы защиты АЗР, АЗСГК и др. СВЧ модули 1ГИ..., 1УИ..., 1УСО и др. Сельсины, двигатели. Высоковольтные конденсаторы К15-11, К15У-2 и др. Гарантия. Доставка. Скидки. Продажа и закупка.

ООО «Дискон»

Украина, 83008, г. Донецк, ул. Умова, 1
т/ф: (062) 385-49-09, (062) 385-48-68
e-mail: sales@discon.ua
<http://www.discon.ua>

Поставка эл. компонентов (СНГ, импорт) со склада. Всегда в наличии СП3-19, СП5-22, АОТ127, АОТ128, АОТ101. Пьезоизлучатели и звонки. Стеклотекстолит фольгируированный одно и двухсторонний. Трансформаторы, корпуса и аккумуляторы.

ООО «ПАРИС»

01013, г. Киев,
ул. Промышленная, 3
тел: (044) 286-25-24, 284-58-24/25,
т/ф: 285-17-33
e-mail: paris@mail.paris.kiev.ua
<http://www.parisgroup.com.ua>

Разъемы, соединители, кабельная продукция, сетевое оборудование, выключатели и переключатели. Электрооборудование: шкафы, щиты, короба, лотки, пускатели. ЖКИ, светодиодная продукция. Инструмент.

ФИРМА ТКД

Украина, г. Киев, бул. И. Лепсе, 8
тел./факс: (044) 497-72-89,
454-11-31, 408-70-45
e-mail: tkd@iptelecom.net.ua
<http://www.tkd.com.ua>

Электронные компоненты стран СНГ и импортные: конденсаторы, кварцевые резонаторы, дроссели, трансформаторы, ферриты, резисторы и другие необходимые Вам электронные компоненты со склада и под заказ.

GSM СТОРОЖ

Украина, г. Ровно,
Тел.: (097) 48-13-665
<http://www.gsm-storozh.com.ua>
e-mail: info@gsm-storozh.com,
taric@mail.ru

Охранные устройства с оповещением по каналу сотовой связи – охрана объектов с оповещением на телефон (звуковое, SMS и GPRS сообщения), дистанционное управление устройствами, определение координат автотранспорта (GSM и GPS навигация), возможность дистанционного контроля группы объектов (DTMF, CSD, GPRS диспетчер). Разработка, производство, внедрение. Гибкие цены, гарантия, доставка по СНГ.

ООО «НЬЮ-ПАРИС»

01013, г. Киев, ул. Промышленная, 3
Тел.: (044) 277-35-87, 277-35-89
факс: (044) 277-35-88
e-mail: newparis@newparis.kiev.ua
<http://www.newparis.kiev.ua>

Электронные компоненты: соединители, оптические компоненты, шкафы и распределительные элементы, кросское оборудование, источники бесперебойного питания.

«ЭлКом»

Украина, 69000, г. Запорожье,
пр. Ленина, 152, (левое крыло), оф. 309
т/ф: (061) 220-94-11,
тел: 220-94-22
e-mail: elcom@elcom.zp.ua
<http://www.elcom.zp.ua>

Эл. компоненты отечественного и импортного производства со склада и под заказ. Спец. цены для постоянных покупателей. Доставка почтой. Продукция в области проводной связи. электроники и коммуникаций. Разработка и внедрение.

ТОВ «Бриз ЛТД»

Украина, г. Киев, ул. Шутова, 16
тел: (044) 599-32-32, 599-46-01
e-mail: briz@nbi.com.ua

Радиолампы 6Д, 6Ж, 6Н, 6С, генераторные ГИ, ГС, ГУ, ГМИ, ГК, ГМ, тиратроны ТР, ТГИ, магнетроны, клистроны, разрядники, ФЭУ, лампы бегущей волны. Проверка и перепроверка. Закупка и продажа.

ОЛЬВИЯ-Электро

Украина, 03113, г. Киев,
ул. Дружковская, 10, оф. 711
тел.: (044) 503-33-23, 599-75-50,
(067) 504-76-54, (099) 738-01-28
e-mail: korpus@oe.net.ua, andrey@oe.net.ua
<http://www.olv.com.ua>
Корпуса пластиковые для РЭА, кассетницы. Пленочные клавиатуры. Кабельно-проводниковая продукция.

ООО «РЕКОН»

Украина, 03168, г. Киев,
ул. Авиаконструктора Антонова, 5, оф. 108
e-mail: rekon@rekon.kiev.ua
<http://www.rekon.kiev.ua>

Поставки электронных компонентов. Гибкие цены, консультации, доставка.

НПКП «Техекспо»

Україна, 79015, м. Львів,
вул. Героїв УПА, 71д
тел.: (032) 295-21-65, (032) 245-25-24,
т/ф: (032) 244-04-62

Електронні компоненти. Контрольно-вимірювальна техніка. Паяльнє обладнання та аксесуари. Виготовлення друкованих плат. Прямі поставки зі складів TME, MICROS, TRIM-POT (Польща).

ООО «СерПан»

Украина, г. Киев, бул. И. Лепсе, 8
тел.: (044) 594-29-25,
454-13-02, 454-11-00
e-mail: serpan@serpan.kiev.ua
<http://www.serpan.kiev.ua>

Предлагаем со склада и под заказ: разъемы 2РМ, СШР, ШР и др.; Конденсаторы, микросхемы, резисторы; Предохранители, диоды, реле и другие радиокомпоненты.

ООО «Имрад»

Украина, 04112, г. Киев, ул. Шутова, 9
т/ф: (044) 490-2195, 490-21-96,
495-21-09/10
e-mail: imrad@imrad.kiev.ua
<http://www.imrad.kiev.ua>

Высококачественные импортные электронные компоненты для разработки, производства и ремонта электронной техники со склада в Киеве.

ООО «КОМИС»

Украина, 03150, г. Киев,
пр. Краснозвездный, 130
т/ф: (044) 525-19-41, 524-03-87
e-mail: gold_s2004@ukr.net
<http://www.komis.kiev.ua>

Комплексные поставки всех видов отечественных эл. компонентов со склада в Киеве. Поставка импорта под заказ. Спец. цены для постоянных клиентов.

ДП «ЭЛФА Электроникс»

04071, г. Киев, ул. Оболонская, 47
тел: +38 (044) 221-29-66, 221-29-67
e-mail: office@elfelectronics.com.ua
<http://www.elfelectronics.com.ua>

ДП «ЭЛФА Электроникс» официальный представитель компаний ELFA, Visaton, Keystone в Украине. Осуществляет поставку импортных (от более 600 производителей) электрокомпонентов, акустических систем и электрооборудования общим объемом ассортимента 65 000 наименований. Срок поставки 10-14 дней.

«СИМ-МАКС»

Украина, г. Киев, пр. Лесной, 39 А, 2 этаж
тел: (044) 502-69-17, 568-09-91,
(063) 568-09-91, (095) 777-77-63,
(067) 909-77-73

e-mail: simmaks.5680991@gmail.com
<http://www.simmaks.com.ua>

Радиолампы, 6Н, 6П, 6Ж, 6С и др. Магнетроны, тиратроны, клистроны, разрядники, ЛВВ. Проверка, гарантия, доставка.

ООО «Радар»

Украина, 61058, г. Харьков,
(для писем а/я 8864)
ул. Данилевского, 20 (ст м. «Научная»)
тел.: (057) 754-81-50,
факс: (057) 715-71-55

e-mail: radio@radar.org.ua
Радиоэлементы в широком ассортименте в наличии на складе: микросхемы, транзисторы, диоды, резисторы, конденсаторы, элементы индикации, разъемы, установочные изделия и многое другое. Возможна доставка почтой и курьером.

ООО «РАДИОКОМ»

Украина, 21021, г. Винница,
ул. Келецкая, 60, к. 1
тел.: (0432) 53-74-58, 65 72 00, 65 72 01,
(050) 523-62-62, (050) 440-79-88,
(068) 599-62-62

e-mail: radiocom@svitonline.com
<http://www.radiocom.vinnitsa.com>

Радиокомпоненты импортного и отечественного производства. Керамические, электролитические и пленочные конденсаторы. Резисторы, диоды, мосты, стабилизаторы напряжения. Стабилитроны, супрессоры, разрядники, светодиоды, светодиодные дисплеи, микросхемы, реле, разъемы, клеммники, предохранители.

ООО «ДЛС-РАДІОДЕТАЛІ»

WWW.RADIODETALI.COM.UA
Киевский радиорынок «Караваевы дачи» павильон 9В
тел.: (044) 362-04-24, (044) 242-20-79,
(067) 445-77-72, (095) 438-82-08

Электронные компоненты и оборудование для производства и ремонта электронной техники.



Электронные наборы и приборы почтой

Уважаемые читатели, в этом номере опубликован сокращенный перечень электронных наборов и модулей «МАСТЕР КИТ», а также измерительных приборов, инструментов, журналов и книг, которые вы можете заказать с доставкой по почте наложенным платежом. Каждый набор состоит из печатной платы, компонентов, необходимых для сборки устройства, и инструкции по сборке. Все, что нужно сделать, это выбрать из каталога заинтересовавший Вас набор и с помощью паяльника собрать готовое устройство. Если все собрано правильно, устройство заработает сразу без последующих настроек. Если в названии набора стоит обозначение «модуль» (МК, МР, МТ), или «готовый блок» (ВМ) значит, набор не требует сборки и готов к применению. Вы имеете возможность заказать эти наборы, измерительные приборы, инструмент и паяльное оборудование через редакцию. Стоимость, указанная в прайс-листиах, не включает в себя почтовые расходы, что составляет при общей сумме заказа от 1 до 99 грн. – 20 грн., от 100 до 199 грн. – 25 грн., от 200 до 500 грн. – 35 грн.

Для получения заказа Вам необходимо прислать заявку на интересующий Вас набор, или книгу по адресу: Издательство «Радиоаматор» («МАСТЕР КИТ»), а/я 50, Киев-110, индекс 03110, или по факсу (044) 291-00-29. В заявке разборчиво укажите кодовый номер изделия, его название и Ваш обратный адрес. Заказ высылается наложенным платежом (оплата заказа при получении на почте). Срок получения заказа по почте 2-4 недели с момента получения заявки. Номер телефона для справок, консультаций и оформления заказов: с 12.00 до 18.00 по тел. (044) 291-00-31, (067) 796-19-53, (050) 187-62-20, e-mail: val@sea.com.ua, http://www.ra-publish.com.ua. Ждем Ваших заказов. **Более подробную информацию по комплектации набора и его техническим характеристикам Вы можете узнать из каталога «МАСТЕР КИТ-2010-2» стоимостью 35 грн.**

Код	Наименование набора	Цена в грн.	
BM1043	Устройство плавного включения ламп накаливания 220В/800Вт, 5 сек.	89	MK084 Универсальный усилитель НЧ 12 Вт (модуль)
BM1707	Цифровой USB-термометр MP707. (подкл. до 32 датч. 2 независ канала упр. нагрузками)	145	MK107 Стаци. ультразвуковой отпугиватель насекомых и грызунов (модуль без п/и)
BM2032	Усилитель НЧ 4x40 Вт (TDA7366, авто, готовый блок)	179	MK113A Таймер 2сек...23минуты (модуль)
BM2033	Усилитель (модуль) НЧ 100 Вт (TDA7294, готовый блок)	120	MK153 Индикатор микроволновых излучений (готовый модуль)
BM2034	Усилитель (модуль) НЧ 70 Вт (TDA1562, авто, (готовый блок)	135	MK171 Регулятор мощности (9-28В, 500Вт, 10А) для электродвигателей, ламп накал. и пр. (модуль)
BM2039	Усилитель НЧ 2x10 Вт (TDA8500/TDA85630)	115	MK173 Блок управления поливом огорода (с измерителем влажности грунта) (модуль)
BM2042	Усилитель (модуль) НЧ 140 Вт (TDA7293 Hi-Fi, готовый блок)	165	MK180 USB-EDGE модем + гарнитура. Для подключ. ПК к Интернету через телефонную SIM-карту
BM2043	Мощный автосумплиер мостовой 4x77 Вт (TDA7560, авто) готовый блок	215	MK303 Сотовый стационарный телефон стандарта GSM (готовое изделие)
BM2051	2-канальный микрофонный усилитель (готовый блок)	78	MK308 Программируемый устр-во управления шаговыми двигателями (модуль)
BM2061	Электронный ревербератор (эффект «хоч» «Объемный звук»)	178	MK317 Программируемый модуль 4-канального ДУ 433 МГц
BM2071	Цифровой усилитель D-класса мощностью 315 Вт	365	MK324 Программируемый модуль 4-канального ДУ 433 МГц
BM2072	Цифровой усилитель D-класса мощностью 315 Вт с цифровым процессором звука	995	MK324/перед. Дополнительный пульт для MK324
BM2073	2-х канальный звуковой усилитель (2x210Вт) D-класса с азм. расширения до 6 каналов	695	MK330 Модуль исполнительного устройства для систем ДУ MK317/MK324
BM2073N	(2/6)-канальный цифровой усилитель «D»-класса 2x210 Вт	750	MK331 Радиоуправляемое реле 433 МГц (220 В/2,5 А) (модуль)
BM2111	Стереофонический темброблок (20...20000 Гц; Вх>30 кОм, Rвых=20 Ом)	189	MK333 Программируемый 1-канал. модуль радиоуправляемого реле 433 МГц (220 В/7 А)
BM2115	Активный фильтр НЧ для сабвуфера (готовый блок)	79	MK342 Электронный сторож (на основе фотодатика)
BM2118	Предвар. стереофонич. регулир. усилитель с балансными входами 2-х канальный	80	MK343 Двухканальный дистанционный радиовыключатель 433 МГц (220В/Х300Вт)
BM2412	Преобразователь напряжения 24В-12В (вх:20-30В; вых:12-15В, 10А) (готовый блок)	225	MK344 Двухканальный главный регулятор яркости (220В/300Вт, 433МГц коммутатор+ДУ)
BM4012	Датчик уровня воды	58	MK353 Универсальный отпугиват. грызунов «Торнадо-М-7» (пл. возд. до 200 кв.м.)
BM4022	Термометр 0...150 (готовый блок)	100	MK355 Отпугиватель крыс и мышей. Ультразвук. стационарное устройство. (пл. возд. до 100м)
BM4511	Регулятор яркости ламп накаливания 12 В/50 А	80	MK356 Отпугиватель крыс и мышей (автомобильный - 12в), пл. возд. до 200 кв.м.)
BM6020	Светодиодный модуль	195	MP101 Процессор управления светом в салоне автомобиля (главн. вкл, задержка и пр.)
BM6031	Лампа светодиодная 150 люмен (потребление 3Вт)	198	MP301 Регулятор мощности 30А, +8...30В
BM6032	Лампа светодиодная 300 люмен (потребление 6Вт)	245	MP302F Регулятор мощности 50А, +8...30В
BM6120	Светильник на мночных светодиодах	295	MP303F Регулятор мощности 15А, +12/24В
BM6501	USB-осциллограф (с функциями частотометра и генератора)	3295	MP304F Модуль реле на 1 канал (500Вт)
BM8009L	GPS-GPRS трекер автомобильный	995	MP305F Таймер 15 сек...10 мин/500Вт
BM8010	Двухдиапазонный частотомер с ж/к дисплеем (1,1Гц - 12 МГц, 100-960 МГц)	555	MP306F Регулятор мощности 1,5А, 5...12В
BM8020	USB-осциллограф (2-х канальный, 100Гц - 200КГц)	665	MP309 Блок 4-х канального АЦП
BM8021	Цифровой запоминающий осциллограф (2 канальный)	2095	MP319 Беспроводной ключ iButton
BM8023	Запоминающий USB логический анализатор	995	MP324 Модуль 4-х канального ДУ 433 МГц (приемник-передатчик, 5-12В, 30м.)
BM8036	В-кан микроп таймер, термостат, часы «Умный дом» с возмож подкл до 32 датчиков.	775	MP324/перед. Пульт для модуля 4-х канального ДУ 433 МР324, MP326, MP325
BM8037	Цифровой термометр (до 16 датчиков)	265	MP325 Модуль дистанционного управления 433 МГц (кнопки/триггер, два реле)
BM8038	Охранное устройство GSM-автономное (GSM-сигнализация) (готовый блок)	345	MP326 Модуль дистанционного управления 433 МГц (кнопки/триггер, четыре реле)
BM8039	GSM интеллектуальное управляемое охранные устройство «Гардлан» (окр+тепл. датчики)	995	MP501F Цифровой счетчик с возмож. подкл. индикаторов большого разм. (ен. 0-9999, до 14см.)
BM8039S	Датчики дыма и устройства согласования	385	MP503 Двухканальный термометр с анимированным светодиодным индикатором 5x7 (блок)
BM8040	ДУ на ИК-лучах + приемн.- плаата на 10 выходов 12-24В по 2 А. Дальность 10-15 м.	200	MP507 Вольтметр -10...+15В
BM8042	Универсальный импульсный металлоискатель Кош-5И (блок). Глубина - 1,5-3 м.	435	MP508 Вольтметр ±100 В
BM8043	Селективный металлоискатель «КОШЕЙ-18М» с ж/к дисплеем (блок). Глубина - 2 м.	2195	MP601 Повышающий DC/DC преобразователь. 12В/24В
NM8043	Печатный датчик-катушка включая кабель, разъемы и гермоввод для BM8043	1195	MP701 Релейный блок коммутации (4 канала)
BM8044	Импульсный металлоиск. «Кош-5ИМ» с ж/к дисплеем (блок). Глубина 1,5-3 м.	995	MP707 Цифровой USB-термометр MP707. (подкл. до 32 датч, 2 независ канала упр. нагрузками)
NM8044	Печатный датчик-катушка включая кабель, разъемы и гермоввод для BM8044/BM8042	465	MP707R Цифровой USB-термометр/термостат. (подкл. до 32 термодатч, 2 независ кан упр. нагр.)
DK001	Глубинный зонд (металлоискатель для поиска под водой глуб. до 10м. Р обнар-1м.)	1100	MP708 USB-реле с управлением через интернет
DK015	Пинпоинтер (Целеказатель). для точного обнаружения металлов в грунте и воде 25-180мм.)	845	MP730 USB самописец, вольтметр
DK020	Селективный металлоискатель «КОШЕЙ-20М» с ж/к дисплеем, электронный блок	2550	MP731 USB генератор импульсов и логический генератор
DK021	Кольцевая катушка для «КОШЕЙ-20М», гор. устройство диаметр 19,5 см.	1595	MP732 USB частотометр, цифровая шкала и логический анализатор
DK023	Металлоиск. BM8043 «Кош-18М» в сборе блок, штанга, АКБ, печ. датч. (гар.12 мес.)	4690	MP800A Блок управления УМ34 с обычным потенциометром и цифровым дисплеем
DK026/1	Пластиковый корпус катушки для BM8041-44 с кронштейном, гарнитурой и шильдиками	195	MP800D Блок управления УМ34 с цифровым потенциометром и цифровым дисплеем
DK033	Глубинный датчик-катушка 1,2 м. x 1,2м. (пл. до 3 метров) для BM8044/DK017.	1495	MP8037R Цифровой термометр/термостат до 8 кВт
DK034	Кольцевая катушка для BM8043 «КОШЕЙ-18М» (готовое устр-во, диаметр 19,5 см.)	1580	MP910 Брелок для систем ДУ 433МГц со свидетельством о защите
DK037	Импульсный металлоиск. «Кош-5ИМ»+ штанга+АКБ+зарядн. устройство+ катушка	2590	MP911 Приемник для пульта ДУ 433 МГц (MP910). 12В, нагр. 1200Вт
KIT-штанга+АКБ	Штанга телескопическая для металлоискателя + АКБ с зарядным устройством	1095	MP913 Приемник ДУ 433 МГц (кнопка. 2 реле) для пульта MP910
BM8049	Включатель освещения с дистанционным управлением	145	MP9011 AVR програматор
BM8049M	Включатель освещения с дистанционным управлением до 1,5 кВт от любого пульта ДУ	165	MP9012 Программатор-отладчик PIC-контроллеров
BM8050	Переходник USB в COM (интерфейс: USB1.1, USB2.0)	120	MP1089 Встраиваемый цифровой FM-приемник. (готовый модуль)
BM8051	Переходник USB-UART адаптер (готовое устройство)	110	MP1115 Цифровой усилитель D-класса 15 Вт. Проект «Китайский синдром»
BM8060	Бытовая ч/б видеокамера-глазок (с ИК диагональю, матрица CCD 1/3, разъемы RCA)	345	MP1181DI Многофункциональный USB-MP3/WMA плеер
BM8079D	Источник бесперебойного питания 12В/0,4А	415	MP1181DF Многофункциональный USB-MP3/WMA плеер с FM-приемником
BM9009	Внутрисистемный программатор AVR микроконтроллеров (LPT-адаптер)	125	MP1203 Модуль усиления 2x2 Вт с питанием от USB (LN4088)
BM9010	USB внутрисистемный программатор AVR	195	MP1205 Цифровой индикатор спектра звукового сигнала (10 - полос)
BM9213	Универсальный автомобильный адаптер K-Lинии USB	259	MP1215 Цифровой усилитель D-класса мощностью 2x15 Вт. Проект «Китайский синдром»
BM9215	Универсальный программатор (базовый блок)	215	MP1225 Цифровой усилитель D-класса мощностью 2x25 Вт (TPA3123)
BM9221	Устройство для ремонта и тестирования компьютеров - POST Card PCI	315	MP1229 Предварительный усилитель-темброблок с микроконтролл. еправл. и ЖКИ (TDA7313)
BM9222	Устройство для ремонта и тестирования компьютеров - POST Card LCD	495	MP1230 Аудиорегулятор 1 канал
BM9225	Видеорегистратор (PC плата для цифрового видеонаблюд. на 4 канала -до 24 видеокамер)	715	MP1231 Аудиорегулятор 2 канала
BM9230	DMX контроллер (3-х канальный с дисплеем, 12-30В, 0,35/0,71А)	385	MP1232 Аудиорегулятор 4 канала
MA601A	Зарядное устройство для цифровых устройств miniUSB, 3 в 1 (с резервным АКБ 550mA)	155	MP1233 Высоковакуумный предварит. усиливатель-тэмброблок. 4-канала. ЖКИ, ДУ (TDA7313)
MA602	PIR детектор движения (крепление стена/потолок). Готовое устройство	115	MP1234 Пред. усиливатель-темброблок с сабвуфером каналом, МК управлением, ЖКИ и пультом ДУ
MA901	USB-FM радио с пультом ДУ	225	MP1251 Цифровой 5.1 Dolby Digital AC-3, Dolby Pro Logik, DTS аудио декодер (ресивер)
MA1238B	Электронный бейджик (8 разных цветов свечения)	415	MP1253 Докашинский кинотеатр. Аналог и цифровых 5.1, ДУ. Тэмброблок Dolby Digital DTS, PCM
MA3401	Автономная GSM сигнализация	515	MP1259 Цифровой усилитель T-класса (технология Tripath), 2 x 15 Вт
MA8050	Переходник USB - COM (RS232) Prolific	110	MP1292 Цифровой усилитель T-класса (технология Tripath), 2 x 25 Вт «Китайский синдром»
MA8052	Переходник USB - LPT	95	MP1325 Полный усилитель НЧ (100 Вт). 2 x 25 Вт + 1 x 50 Вт (сабвуфер) + темброблок
MA9213	Универсальный автомобильный OBD-II сканер (ELM 327)	385	MP1801 Цветная CMOS камера
MK035	Ультразвуковой модуль для отпуг. грызунов (готовое устройство для помещ. 30-50м.)	170	MP2103DI Встраиваемый BLUETOOTH/USB/SD-MP3/WMA плеер
MK041	Сигнализатор осязания (датчик дрожж., 125м.)	315	MP2503 Встраиваемый USB-MP3/WMA плеер (блок)
MK067	Модуль регулировки мощности переменного напряжения 1200Вт/220В	140	MP2503RL Встраиваемый USB-MP3/WMA плеер с пультом ДУ и ЖК дисплеем (блок)
MK071	Регулятор мощности 2600 Вт/220В(модуль)	158	MP2603DI Встраиваемый USB-MP3/WMA плеер с пультом ДУ и ЖК дисплеем
MK075	Универсальный ультразвуковой отпугиватель насекомых и грызунов (автон. модуль)	220	
MK080	Отпугиватель подземных грызунов «Антитроп» (радиус возд. 20м. - 10 соток)	128	

ТЕХНИЧЕСКАЯ ЛИТЕРАТУРА

Цены указаны в грн.

Оформление заказов по системе «Книга-почтой»

Организации Оплата производится по б/н расчету согласно выставленному счету. Для получения счета Вам необходимо выслать перечень книг, которые Вы хотели бы приобрести, по факсу (044) 291-60-25 или почтой по адресу: издательство «РадиоМастер», ая 50, Киев-110, 03110. В заявке укажите свой номер факса, почтовый адрес, ИНН и № свидетельства платитьща налога.

Системы пишущей Доставка книг осуществляется напрямым платежом (оплата при получении посылки на почте). Стоимость, указанная в прайс-листах, не включает в себя почтовые расходы, что составляют при общой сумме заказа от 1 до 99 грн. — 20 грн., от 100 до 199 грн. — 25 грн., от 200 до 500 грн. — 35 грн. Для оформления заказа Вам необходимо прислать заявку на интернет-страницу Ваш книги по адресу: Издательство «РадиоМир» («Книга+почта»), а/я 50, Киев-110, индекс 03110, или сделать заказ по

Цены действительны до момента выхода следующего номера. Срок получения заказа по почте 2–4 недели. Полный прайс-лист смотрите на сайте www.ra-publish.com.ua

Содержание журнала за 2012 год

Аудио-видео

Опыт реализации ЭМОС по смещению. А. Ракитский	2-1	Частотометр - приставка к мультиметру. П. Бобонич	40-5
Трехпрограммный радиоприемник в составе всеволнового. Ю. Быковский	5-1	Автономная дачная SMS-сигнализация МТ9021. Ю. Садиков	20-6
Методы компенсации встречной засветки в телевидении. А. Сергеев	7-1	Цифровой манометр. А. Кравченко	25-6
Измерение параметров Тиля-Смолла с помощью ноутбука. А. Петров	9-1	Топ 10 современных инноваций в сфере электроники и соединителей	28-6
Связной приемник УС-П (ПР-4П). В. Мельник, В. Кедров	10-1	Системы для очистки воздуха Weller со склада в Киеве	30-6
Перезапись коллекционных магнитофонных фонограм на диски. А. Журенков	12-1	Вольтметр из мультиметра DT-830B с неисправной БИС. Е. Яковлев	35-6
Протокол ДУ фирм JVC, A. Черепанов	14-1	Измеритель СО2 на базе мультиметра М830. П. Бобонич	37-6
Синтез музыкальных тембров. В. Рентюк	16-1, 6-3, 14-4	Миниатюрный шлифовальный станок из старого дисковода. А. Усов	38-6
AWG - американский стандарт (калибр) проводов. И. Безверхний	19-1	Автомобильный GPS/GPRS трекер BM8009L. А. Бронников	24-7/8
Простейшие цифровые устройства. А. Беляй	2-2, 2-3, 2-4, 2-5	Блок питания на 3 В. В. Хмара	28-7/8
Перезапись коллекционных магнитофонных фонограм на диски. А. Журенков	5-2	Эксперимент с проблесковым фонарем. Е. Яковлев	29-7/8
Усилитель для изодинамических головных телефонов «ЭХО» Н16-40С. С. Власюк	8-2	Еще раз о проблесковых фонарях для велосипеда. А. Алексенцев, Р. Проць	31-7/8
Устройство и ремонт СТВ ресиверов SAMSUNG серий DSB 300 и DSB 350. В. Федоров	10-2, 18-3, 12-4	STMicroelectronics запустила массовое производство MEMS микрофонов в пластиковых корпусах	32-7/8
Приставки-октавки к электророгаткам. С. Рюмин	13-2	Люксметр из неисправного мультиметра М830. П. Бобонич	43-7/8
Простой таймер. Е. Яковлев	17-2, 18-4	Логический пробник TTL/CMOS. J. Nyuszika-7/8	44-7/8
Двухканальный усилитель мощности звуковой частоты D-класса с возможностью расширения до шести каналов. С. Галкин	20-2	«Необогащаемые» жало для паяльника и уход за ними. А. Андреев	45-7/8
Необычный способ активации сервисного режима телевизоров JVC. А. Черепанов, И. Безверхний	25-2	Простые конструкции из неисправной «экономки». А. Воропай	48-7/8
Улучшение работы телефона «Элетрон-214». В. Кандуров	5-3	Ремонт ИБП модема ASMi-52 после повреждения во время грозы. Н. Власюк	49-7/8
О композитных структурах в УМ34. А. Петров	10-3, 8-4	Простое сторожевое устройство с сиреной от неисправной автосигнализации. А. Усов	57-7/8
Широкополосный понижающий конвертер с двойным преобразованием частоты. П. Химич, П. Ксензенко	12-3, 5-4, 12-6	Стабилизатор напряжения фары для скутера. И. Батов	59-7/8
Особенности видеосъемки с использованием трансфокатора. А. Симоненко	15-3	Терморегулятор для бытового инкубатора. О. Белоусов	22-9
Цифровые регуляторы для домашнего УМ34. С. Слепnev	20-3	Простой тестер для проверки ПДУ. Е. Яковлев	26-9
Радиоприемник для радиомикрофона с ДУ. С. Петrus	22-3	Таймер освещения подъезда. А. Данилин	27-9
Зарядное устройство для 6- и 9-вольтовых аккумуляторов. А. Зызюк	26-3	Особенности, некоторые неисправности и модернизация тестера SUNWA YX-360TRN-A. И. Безверхний	28-9
Особенности телевизионного шасси 3S10. И. Безверхний	29-3	Приставки к мультиметру для измерения емкости конденсаторов. А. Алексенцев, Р. Проць	35-9
Опыт оцифровки архивных аудиозаписей. А. Ковальский	18-4	Аппарат контактной сварки. А. Сахненко	37-9
Радиоприемник на микросхеме TDA7000 для радиомикрофона. С. Петrus	20-4	Простой генератор из ОС старого телевизора. А. Усов	41-9
Мостовой УМ34 на TDA7057AQ. А. Бутов	5-5	Реверсивный патриардный счетчик на микроконтроллере. С. Шишкун	42-9
Модернизация буферного усилителя. А. Зызюк	8-5	О применении автомобильного GPS/GPRS трекера BM8009L	20-10
Каскады для УМ34 без ООС. А. Петров	12-5	О некоторых особенностях PIC-программатора MP9012. А. Каменский	21-10
Классы режимов работы активных (усилительных) элементов. Г. Топлис	2-6	EX-25 - автомобильная телевизионная камера от DALI. Н. Тимчук	24-10
Цифровой эфирный тюнер Openbox FT-6144. А. Синицын	5-6	Терморегулятор с электронным термометром для павильона зимовки пчел. А. Лесовой	25-10
Индикатор уровня сигнала для АС. А. Бутов	8-6	Почему перестал работать поиск Windows XP и как его восстановить? И. Безверхний	29-10
УКВ конвертер с квадцевым гетеродином. С. Елкин	10-6	Прибор-приставка к мультиметру для контроля содержания углекислого газа. Е. Яковлев	35-10
Музыкальный звонок на микроконтроллере. С. Тинкован	18-6	Модернизация строительного фена для нужд радиолюбителя. А. Сахненко	38-10
Простейшие цифровые устройства. Логические элементы [дополнение]. И. Безверхний	2-7/8	Высоковольтный тестер диодов транзисторов. Я. Мамчур	43-10
Простой УКВ приемник. П. Бобонич	5-7/8	Триггеры на оптронах. О. Белоусов	44-10
Гармонайзер Русси. А. Петров	6-7/8	Синисторный таймер. В. Никитенко, О. Никитенко	46-10
Доработка субмодуля СМЦ-31. В. Кандуров	9-7/8	Современная бюджетная измерительная лаборатория (на базе USB-модулей MP732, MP731 и MP730 от «МАСТЕР КИТ»). А. Каменский	19-11
Музыкальный звонок на микроконтроллере. С. Тинкован	10-7/8	Ремонтные станции Weller. Э. Руденко	22-11
Карманный видеомонитор. А. Бутов	13-7/8	Электронный замок-блокиратор с двойным бесконтактным ключом. А. Усов	23-11
Дуплексный «интерком». Е. Яковлев	15-7/8	Электронавиватель с микроконтроллерным управлением. А. Лесовой	25-11
Простой генератор синусоидальных колебаний. Р. Проць, Т. Шербан	18-7/8	Розрахунок лінійних компенсаційних джерел живлення для вимірювальних систем. В. Ефіменко	28-11, 39-12
Проектирование схемы АРУ на дискретных компонентах. Е. Кухоль, Е. Шепель	20-7/8, 9-9	БП з вольтметром і амперметром из неработающих мультиметров М830. В. Голубничий	35-11
Светодиодный индикатор стереобаланса. А. Бутов	2-9	«Вечные «Кроны» для мультиметра. А. Алексенцев, Р. Проць	37-11
Схемотехника и ремонт усилителя «Барк-001». А. Зызюк	4-9	Устройство управления световыми эффектами для игрушек и моделей. А. Кравченко	38-11
Устройство и ремонт цифровых СТВ ресиверов TOPFIELD TF5000CI. В. Фёдоров	7-9, 10-10	О 555-ом таймере и одном нестандартном его включении. И. Безверхний	41-11
Усилитель для измерения параметров Тиля-Смолла. А. Петров	11-9	8 схем реле времени на микросхемах. В. Коваленко	43-11
Цифровое телевидение набирает ход. Е. Скорик	14-9, 14-10	Современные телекоммуникации	
«Шинопров» видео. А. Кашкаров	16-9	Аналоговая часть прямого QPSK модулятора с большим диапазоном перестройки. П. Ксензенко, П. Химич	47-1, 46-2
Встраиваемая мини-система MP2897 [FM, USB, SD, ДУ, часы-будильник, LED-дисплей]. И. Кравцов	20-9	Охранные GSM-сигнализации для гаража или небольшого дачного дома. А. Бессмертный	50-1, 48-2
Предварительный усилитель для DVD-плеера. А. Бутов	2-10	GPS/GSM-модуль Gryphon в вопросах и ответах	52-1
Простой коммутатор видеосигналов для систем видеонаблюдения. Е. Яковлев	5-10	Широкополосные синтены для цифровых систем радиосвязи и телевидения. Е. Скорик, В. Кондратюк	51-2
Резервирование опорного генератора. Р. Рентюк	6-10	Программный продукт ISMO VS - решение для транспортных предприятий. С. Дорошенко	53-3
Две схемы простых генераторов шума. И. Зайцев	13-10	Система дистанционизации мини-котлов на базе ресурсов сотовой связи GSM	52-4
Активный «DI box». J. Nyuszika	17-10	Охранная GSM-сигнализация. А. Усов	47-5
Драйвер С. Шпака. А. Петров	18-10	Антенны для беспроводного Интернета своими руками. Е. Скорик	44-6
Модернизация радиоприемника AS-717. А. Бутов	2-11	Как экономить на связи и некоторых услугах. О. Никитенко	47-6
Доработка УКВ радиоприемника МАНВО. П. Бобонич	4-11	Антенны для беспроводного Интернета своими руками. Е. Скорик	60-7/8
Схемотехника УМ34 класса А+ В с операционным усилителем на входе. А. Холтобин	6-11	Охранные системы для дачи и дома. И. Чайка	48-9
Активная АС с радиоприемником. А. Бутов	10-11	Модуль дистанционной коммутации нагрузок по GSM каналу связи. А. Слободчук	52-10
Упрощенный расчет активных фильтров. А. Петров	14-11		
Индикатор уровня сигнала для начинающих. А. Коваленко	18-11		
Электроника и компьютер			
Цифровой многоканальный USB термометр/термостат MP707R. С. Слепнев	20-1		
Анонс новинок «МАСТЕР КИТ»	21-1, 28-2		
Радиомикрофон с дистанционным управлением. С. Петrus	23-1		
USB-адаптер на микросхеме MC34063A в автомобиле. А. Кашкаров	26-1		
О ремонте лечебных бытовых приборов ультрафиолетового света. А. Зызюк	28-1		
Некоторые особенности чтения схем и ремонта радиоэлектронной аппаратуры. И. Безверхний	35-1		
Приставки-октавки к электророгаткам. С. Рюмин	38-1		
Дополнение к статье «Вопрос-ответ» из РА 11/2011. Е. Яковлев	43-1		
Обзор недорогих осциллографов-приставок к ПК. Н. Тимчук	45-1		
О ремонте лечебных бытовых приборов ультрафиолетового света. А. Зызюк	45-2		
Простой автомат включения-отключения периферии ПК. П. Бобонич	36-2		
Об одной из схем радиолюбительского измерителя индуктивности. Е. Яковлев	37-2		
GSM сигнализация-блокиратор. И. Королев	41-2		
«Параллельный динамический индикатор напряжения в сетевом зарядном устройстве АСР-7Е. С. Елкин	42-2		
LDV-185 - новые многоканальные источники питания Mean Well для светодиодных светильников. А. Мирофонов	45-2		
Встраиваемый цифровой ампервольтметр с ЖК-индикатором от DT890W. Д. Карелов	36-3		
Датчик контроля протечки воды ch-0020. Г. Чернов	38-3		
Проблесковый фонарь для велосипеда А. Алексенцев, Р. Проць	41-3		
Микроконтроллеры STM32. С. Рюмин	42-3, 48-4, 41-5, 40-6, 53-7/8, 45-9, 48-10, 46-11, 46-12		
Один подход к отладке проекта, созданного в пакете Flowcode для PIC. В. Злобин	48-3, 45-4		
Некоторые опасения и неточности в публикациях по MC34063. Е. Яковлев	49-3		
Новые источники питания для светодиодов компании Mean Well мощностью 96 и 100 Вт	52-3		
Новые программы для «МАСТЕР КИТ» для PIC- и AVR-микроконтроллеров. А. Каменский	22-4		
Барометр на основе мультиметра М830. П. Бобонич	26-4		
Модернизация универсального вольтметра В7-16А. А. Клименко	28-4		
USB K-L-line адаптер. Г. Чернов	35-4		
Светозвуковая игрушка. В. Рентюк	37-4		
Буферные конденсаторы для автомобильной аудиосистемы. И. Безверхний	39-4		
Цифровой эквал. С.И. Забегай	41-4, 27-5		
Отладочная плата для GSM-модулей WS6318	51-4		
Новый AVR-программатор MP9011 «МАСТЕР КИТ». А. Каменский	20-5		
Первые бюджетные портативные осциллографы с изолированными каналами производства компании SIGLENT Technologies Co., Ltd	24-5		
Ремонт машинки для стрижки CAMERON CL-400D. И. Безверхний	25-5		
Доработка мультиметра M-838 для контроля температуры в двух аквариумах. А. Кашкаров	35-5		
Измеритель частоты промышленной сети 50 Гц. А. Данилин	37-5		
Автомат освещения. К. Лищенко	39-5		
Новости, информация, комментарии			
AISS-AutomaticA-2011. А. Кравченко	59-1		
Отвечаем на вопросы и письма наших читателей	59-4, 59-5, 59-6, 67-7/8, 58-9, 59-10, 59-11, 59-12		
Финал Всеукраинской студенческой олимпиады по радиотехнике в БНТУ. А. Семенов, К. Коваль	56-5		
Конкурс «Скоростная пайка» на РОБОФЕСТ-2012	58-5		
Возвращение «Купавы». И. Безверхний	55-6		
Схемы на вкладке			
Схема телевизора «Электроника 407/407Д»	31-1		
Схема телевизора «Электроника 404/404Д»	32-1		
Схема основной платы ресиверов серии DSB 300 и DSB 350	31-2		
Схема микроволновой печи LG MS-196U	34-2		
Принципиальная схема телевизионного шасси 3S10	31-3		
Принципиальная схема вольтметра B7-16A	31-4, 31-5		
Принципиальная схема радиостанции «Нива-М»	32-5		
Принципиальная схема комбинированного прибора Ц4312	31-6		
Принципиальная схема спутникового тюнера «GLOBO 4100С»	32-6		
Принципиальная схема телевизора AV-2908TEE (шасси CH) фирмы JVC	33-7/8		
Принципиальная схема блока питания LCD телевизора-монитора AOC L32W451	38-7/8		
Принципиальная схема ресивера TOPFIELD TF5000CI. Основная плата	32-9		
Принципиальная схема тестера SUNWE YX-360B	31-9		
Принципиальная схема прибора Ц437	34-9		
Принципиальная схема телевизора SATURN-1402	31-10		
Принципиальная схема телевизора SATURN ST-2104 (шасси PX20043)	32-10		
Принципиальная схема телевизора TEC 5581	31-11		
Принципиальная схема цифрового мультиметра MASTECH MY65	31-12		
Принципиальная схема спутникового ресивера «BIG SAT BS-S501 Xtra»	32-12		